

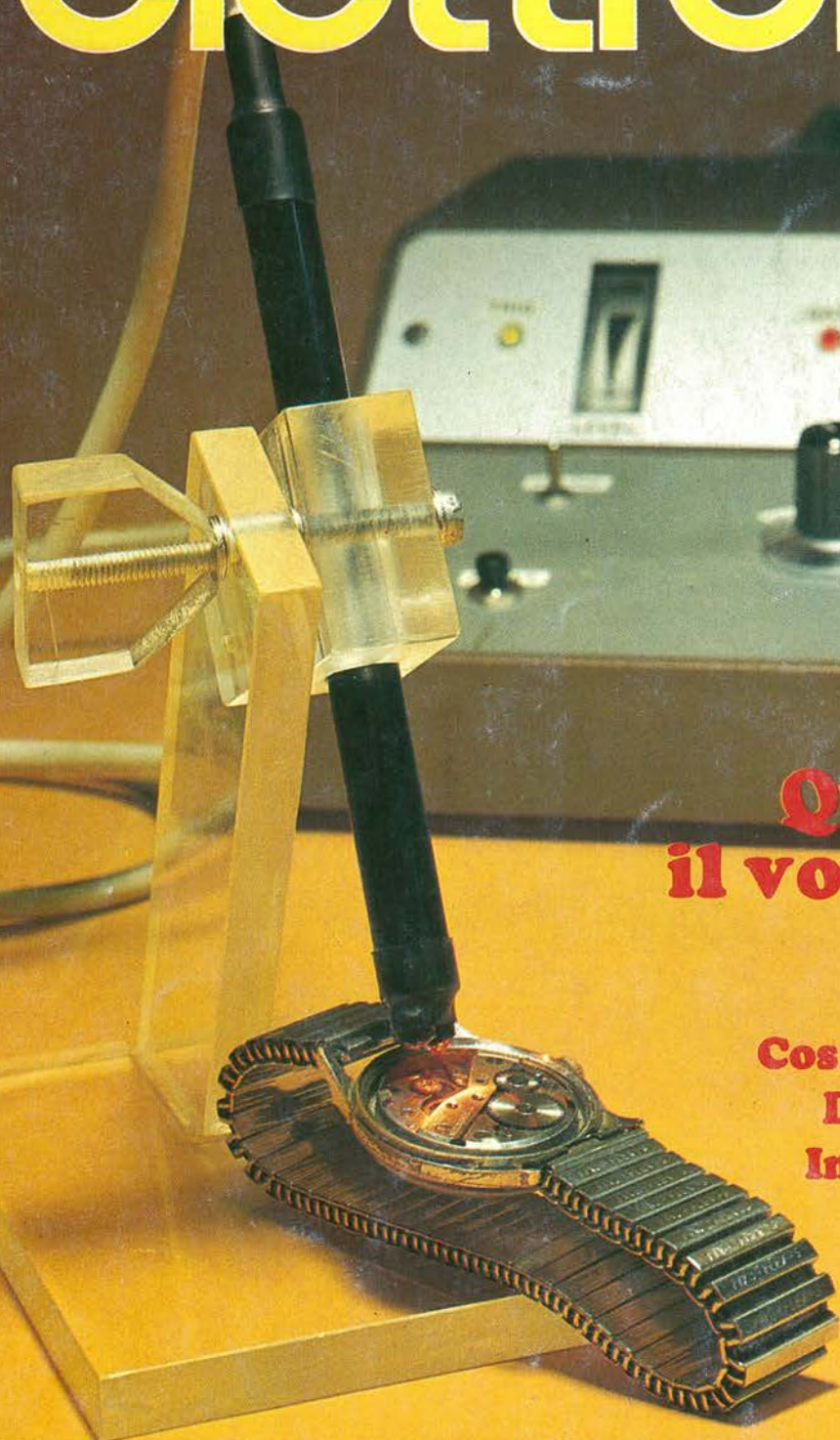
elettronica  
scienza  
tecnica  
e diletto

# elektor

n° 60  
maggio 1984

L. 3.000

# elettronica



**Quant'è preciso  
il vostro orologio?**

**Girofono**

**Cosmetico per segnali audio**

**Decodifica degli indirizzi**

**Indicatore della direzione  
del vento**

**Filtro attivo universale**

**Audio-segugio all'opera**

**Programmare le EPROM  
con lo Z80**

**Da termometro a termostato**

**Registratore a cassette digitale**

# PERSONAL COMPUTER:

## il meglio, in edicola!

PERSONAL SOFTWARE  
L'unica che presenta software  
per tutti i personal:  
Commodore, Apple,  
Sinclair, T.I., HP,  
Sharp, ecc.



ISSN 0392-8837

UNA PUBBLICAZIONE DEL GRUPPO EDITORIALE JACKSON

ANNO 7 N. 49 APRILE 1984

LA PRIMA E PIU' DIFFUSA RIVISTA DI PERSONAL COMPUTER

L. 4.000

IN PROVA: OLIVETTI M10

con inserto **SUPERBIT**  
64 pagine di programmi per i vostri Personal Computer

EDP-USA '84 - SIOA LAS VEGAS COMPUTER SHOW

VISICALCOLIAMO L'IRPEF '84

QUICK-COM: GENERATORI DI PROGRAMMI PER DISK

DIGIDATTICA

BIT: la più letta,  
la prima e più diffusa.  
IN PROVA: Olivetti M10  
SUPERBIT: 64 pagine di programmi  
per i vostri personal computer.



Bit e Personal Software sono riviste firmate  
**GRUPPO EDITORIALE JACKSON**



**NUOVA NEWEL** s. a. s.

di Ciampitti A. & C.

MATERIALE ELETTRONICO

Milano - Via Duprè, 5 - tel. (02) 32.70.226

Software & Computer Division  
Rivenditore Sinclair®  
Importazione diretta

## LISTINO IN VIGORE DAL GENNAIO 1984

### SOFTWARE PER VIC 20

01n - R'bert 8/16K Lit. 15.000  
02n - Crazy Kong anche con joystick Lit. 15.000  
03n - Kaktus esp. 8K anche con joystick Lit. 15.000  
04n - Scramble anche con joystick Lit. 15.000  
05n - Country garden esp. 8K anche con joystick Lit. 15.000  
06n - Alien attack anche con joystick Lit. 15.000  
07n - Pixel Power esp. 8K Lit. 15.000  
08n - Super Screen esp. K Lit. 15.000  
09n - Amok esp. 8K anche con joystick Lit. 15.000  
10n - Panic anche con joystick Lit. 15.000  
11n - Pit anche con joystick Lit. 15.000  
12n - Fantazia anche con joystick Lit. 15.000  
13n - Cosmiads anche con joystick Lit. 15.000  
14n - Gest. spesa 8K Lit. 15.000  
15n - Another Vic in the Wall anche con joystick Lit. 15.000  
16n - Swarm solo con joystick Lit. 15.000  
17n - Pharaon 8/16K Lit. 15.000  
18n - Race-fun anche con joystick Lit. 15.000  
19n - Paratroopers anche con joystick Lit. 15.000  
20n - Quackers solo con joystick Lit. 15.000  
21n - Myriad esp. 8K anche con joystick Lit. 15.000  
22n - Cyclons esp. 8K solo con joystick Lit. 15.000  
23n - Critters esp. 8K solo con joystick Lit. 15.000  
24n - Pakauda solo con joystick Lit. 15.000  
25n - The catch anche con joystick Lit. 15.000  
26n - Antimatter splatt. anche con joystick Lit. 15.000  
27n - Harvester solo con joystick Lit. 15.000  
28n - Traxx esp. 8K solo con joystick Lit. 15.000  
29n - AAbductor solo con joystick Lit. 15.000  
30n - Subchase esp. 8K Lit. 15.000  
31n - Batty 3/8K Lit. 15.000  
32n - Hardcopy con grafica Lit. 15.000  
33n - Hesedit 3/8K Lit. 15.000  
34n - Hesball 3/8K Lit. 15.000  
35n - Creo lista stampa Lit. 15.000  
36n - Frog esp. 8K anche con Joystick Lit. 15.000  
37n - Vic cat Lit. 15.000  
38n - Elabora testi Lit. 15.000  
39n - Vicalcolo (Unley) Lit. 15.000  
40n - Tornado Lit. 15.000  
41n - Mother man Lit. 15.000  
42n - Scacchi Lit. 15.000

### HARDWARE - CBM 64 - VIC 20 - SEMPRE NOVITÀ .....

01C - Interfaccia registratore Lit. 40.000  
01C1 - Penna ottica Lit. 60.000  
02B1 - Programmatore e prom. Lit. 130.000  
03D2 - Espansione 16K X VIC 20 Lit. 130.000  
04NP - Mother Board 3 uscite X VIC 20 Lit. 40.000

### SOFTWARE PER CBM 64

01c - Retroball Lit. 84.000  
01d - Siege Lit. 20.000  
01n - Escape MCP Lit. 15.000  
02c - Kickman Lit. 42.000  
02d - Musica Lit. 20.000  
02n - Graphic editor Lit. 20.000  
03c - Sea wolf Lit. 42.000  
03d - Jumpman Lit. 40.000  
03n - Motor mania Lit. 15.000  
04c - Speed/Bingo math Lit. 42.000  
04d - Soccer Lit. 30.000  
04n - Crazy Kong Lit. 15.000  
05c - Clowns Lit. 42.000  
05d - Attack of camel Lit. 30.000  
05n - Siege Lit. 15.000  
06c - Radar rat race Lit. 42.000  
06d - Frogger Lit. 30.000  
06n - Monopoli Lit. 20.000  
07c - Jupiter lander Lit. 42.000  
07d - Skirace Lit. 30.000  
07n - Snake Pit Lit. 15.000  
08d - Robbers Lit. 30.000  
08n - Centropoids Lit. 15.000

09d - Evolution Lit. 30.000  
09n - Cyclons Lit. 15.000  
10d - Tank attack Lit. 30.000  
10n - Frogger Lit. 15.000  
11d - Gestione indirizzi Lit. 30.000  
11n - Organo Lit. 10.000  
12d - Word Processor/Mail. List Lit. 30.000  
12n - Word feud Lit. 15.000  
13d - Sirius (+Squish'em) Lit. 30.000  
13n - Road toad Lit. 15.000  
14d - Data base  
14n - Token of gall Lit. 15.000  
15d - Infomaster Lit. 30.000  
15n - Hover bover Lit. 15.000  
16d - Magazzino Lit. 30.000  
16n - Vortex rider Lit. 15.000  
17d - Sirencity (+ Codesiren) Lit. 30.000  
17n - Matrix Lit. 15.000  
18d - Panic 64 (+ Panic 1) Lit. 30.000  
18n - Centipede Lit. 15.000  
19d - Simon Basic (+ Demo Basic) Lit. 30.000  
19n - Rullix Lit. 15.000  
20d - Pac-Man Lit. 30.000  
20n - Scramble Lit. 15.000  
21d - Petspeed Lit. 30.000  
21n - Scacchi Lit. 15.000  
22d - Screen Graphic Lit. 30.000  
22n - Carambola Lit. 15.000  
23d - Data Manager Lit. 30.000  
23n - Munch man Lit. 15.000  
24d - Grafica alta risoluzione Lit. 30.000  
24n - Duello aereo Lit. 15.000  
25n - Pakakuda Lit. 15.000  
26n - Il guado Lit. 15.000  
27n - Labirinto Lit. 15.000  
28n - Attack of camel Lit. 15.000  
30n - City bomber Lit. 16.500  
31n - Base luna Lit. 16.500  
32n - Invasori Lit. 16.500  
33n - Attacco laser Lit. 16.500  
34n - Falcon Patrol Lit. 16.500  
35n - Sottomarini Lit. 16.500  
36n - Moon Buggy Lit. 15.000  
37n - Expert-K-Bert Lit. 15.000  
38n - Hungry Horace Lit. 15.000  
39n - Kong Lit. 15.000  
40n - Shadowfax Lit. 15.000  
41n - Assembler 64 Lit. 15.000  
42n - Modello 740 quadro "O." Lit. 15.000  
43n - 3D Man Lit. 15.000  
44n - Qix Lit. 15.000  
45n - Mazeman Lit. 15.000  
46n - Fifteen Lit. 15.000  
47n - Galaga Lit. 15.000  
48n - Datalog Lit. 15.000  
49n - Mailing list Lit. 15.000  
50n - Grid runner Lit. 15.000  
51n - Conto corrente Lit. 15.000  
52n - Super Ball Lit. 15.000  
53n - Ammortamento Lit. 15.000  
54n - Totocalcio Lit. 15.000  
55n - Seawolf Lit. 15.000  
56n - Hes Writer Lit. 15.000

**E TANTISSIMI NUOVI LIBRI IN ARRIVO .....**  
**SEMPRE NOVITÀ!**  
**ANCHE IMPORTAZIONI DIRETTE**

N = NASTRO D = DISCO C = CARTRIDGE

**\* FANTASTICO \***

**PROSSIMA APERTURA NUOVO NEGOZIO**

**NUOVA NEWEL**

**VIALE MAC MAHON, 75 - 200 m<sup>2</sup> DI IDEE**

VENDITE DI MICRO COMPUTER DELLE MIGLIORI MARCHE,  
ACCESSORI, PERIFERICHE, ETC.  
COMPRAVENDITA DI MICRO USATI!!!

# alla APL trovi

Sono sempre disponibili a richiesta, secondo disponibilità, tutti gli EPS, i componenti ed i kits delle riviste più vecchie, anche se esclusi dall'elenco listino-prezzi. Prima di passare l'ordine, vi consigliamo di telefonarci chiedendo del Sig. Paolo ai n. 045/58.26.33.



**elektor-kit**  
elettronica - scienza tecnica e diletto

I kit garantiti per un anno con componenti e spiegazioni. Usufruiscono del talloncino di sconto i Soci Elektor Kit (5%).

CLUB



**elektor-kit**

Testera nominativa non cedibile N.

Firma \_\_\_\_\_ Anno 82-83  
Data \_\_\_\_\_  
FAC-SMILE Concessionario

## I GIOIELLI DI ELEKTOR

- |   |            |
|---|------------|
| 1) JUNIOR COMPUTER (80089/1/2/3 compresi volumi 1 e 2)                    | L. 280.000 |
| 2) ELEKTERMINAL (9966)  | L. 220.000 |
| TASTIERA ASCII PER ELEKTERMINAL (9965)                                    | L. 130.000 |
| TASTIERINO PAD NUMERICO MOBILE PER TASTIERA ASCII                         | L. 44.000  |
| MOBILE PER TASTIERA + TASTIERINO (completo di cavo di connessione)        | L. 55.000  |
| 3) TV GAMES + MANUALE + JOYSTICK (79073/1/2)                              | L. 395.000 |
| 4) SCHEDA PARLANTE (82034 + 82068)  | L. 350.000 |
| 5) CHOROSYNT (80060)  | L. 130.000 |
| 6) VOCODER COMPLETO DI RACK (80068/1/2/3x10/4/5)                          | L. 480.000 |
| MOBILE COPRI-RACK   | L. 45.000  |
| 7) ANALIZZATORE LOGICO (81094/1/2/3/4/5)                                  | L. 250.000 |
| SONDA E MOBILE CON MANOPOLE   | L. 60.000  |
| 8) OSCILLOSCOPIO A MEMORIA (81141)  | L. 105.000 |
| 9) TV SCOPIO VERSIONE BASE (9968/1/2/3)                                   | L. 115.000 |
| 10) GENERATORE FUNZIONI SEMPLICE (9453)                                   | L. 70.000  |
| MOBILE CON MANOPOLA DEMOLTIPLICATA, MINUTERIA E TRASFORMATORE             | L. 16.000  |
| 11) GENERATORE SINUSOIDALE DI FREQUENZA (9948)                            | L. 50.000  |
| 12) CAPACIMETRO (79088/1/2/3)   | L. 65.000  |
| 13) RIVERBERO ANALOGICO (9979)  | L. 140.000 |
| 14) ESWAR (EFFETTI SONORI CON RIVERBERO ANALOGICO) (80009)                | L. 70.000  |
| 15) DISTORSORE DI VOCE (80054)  | L. 35.000  |
| 16) LUCI DA SOFFITTO (81012)  | L. 145.000 |
| 17) POSTER CHE DANZA (81074 + 81073P)                                     | L. 40.000  |
| 18) MINIMIXER STEREO (81068)  | L. 90.000  |
| MOBILE A LEGGIO   | L. 35.000  |
| 19) CONTROLLO DISCO LIGHTS (81155)  | L. 39.000  |
| 20) PREAMPLIFICATORE ARTIST (82014)                                       | L. 115.000 |
| MOBILE A RACK CON FRONTALE IN ALLUMINIO SERIGRAFATO E MANIGLIE            | L. 60.000  |
| MOLLA DI RIVERBERO 40 CM  | L. 25.000  |
| 21) PIANOFORTE ELETTRONICO 5/8 (9915-5x9914-9979-9981)                    | L. 548.000 |
| TASTIERA 5/8  | L. 91.000  |
| 22) PIANOFORTE ELETTRONICO 7/8 (9915-7x9914-9979-9981)                    | L. 651.000 |
| TASTIERA 7/8  | L. 127.000 |
| 23) MINI-ORGANO (con tastiera e alimentatore) (82020/9968-5)              | L. 170.000 |
| 24) FREQUENZIMETRO 150 MHz + CAPACIMETRO (con mobile e sonda 82028/82040) | L. 185.000 |
| MODULO FM 77 T  | L. 75.000  |

Richiedi la tessera sconto e parteciperai alla vita di club. La suddetta tessera ti verrà inviata gratuitamente facendo un'ordinazione diretta dei kit che desideri.

## PRELUDIO PREAMPLIFICATORE PROFESSIONALE CON TELECOMANDO

- rack con maschera, maniglie e copri-rack L. 78.000
- ANALIZZATORE LOGICO L. 30.000
- mobile completo di manopole maschera serigrafata L. 22.000

## SPECIALE JUNIOR COMPUTER!

- ESTENSIONE PER JUNIOR COMPUTER (81033/1/2/3) completa di eeprom PPM/TM L. 249.000
- SCHEDA 16/64K RAM DINAMICA (82017) L. 110.000
- SCHEDA 18K RAM 32 EPROM (con eeprom 2732) 80120 L. 220.000
- PROGRAMMATORE DI EPROM (82010) L. 75.000
- INTERFACCIA FLOPPY (82159) L. 90.000
- MODEM ACUSTICO TELEFONICO (83011) L. 92.000
- SCHEDA MEMORIA UNIVERSALE CON 8 EPROM 2732 (83014/C) L. 195.000
- SCHEDA MEMORIA UNIVERSALE CON 8 HM 6264 e batteria tampone (83014/D) L. 760.000
- BASIC speciale per Junior Computer - 9 cifre significative - virgola flottante - funzione matematica - su cassetta FLOPPY DISK basso profilo L. 94.000
- L. 450.000

## OFFERTA SPECIALE MONITORI

- 12 pollici - 3 mesi garanzia - b/n L. 99.000
- 12 pollici - fosfori verdi - 18 Mega banda passante L. 260.000
- 9-pollici - fosfori verdi L. 250.000

## COMPONENTISTICA

### RESISTORI E POTENZIOMETRI

Trimmer, potenziometri lineari e logaritmici, trimmer multigrigi cermet e professionali. Tutti i valori.

### CONDENSATORI

Ceramici a disco, poliestere SMK a carta, tantalio, elettronici, a mica, variabili. Tutti i valori alle varie tensioni.

- INDUTTANZE — da 1 µH a 1000 mH
- DIODI VARICAP — BB 102/104/105/115/142/205
- DIODI RETTIFICATORI SERIE 1/N 4001-07
- PONTI DI GREATZ 05/2/3/4A - 80/100/200/400 VL
- DIODI ZENER tutti i valori 400 mW - 5W
- DIODI DI COMMUTAZIONE — AA 116/119 OA95 — 1N 4148. Tutti i tipi
- FOTORESISTENZE NTC 1,5K/3K/10K
- DIODI LED rosso/verde/giallo/arancio, di tutte le forme
- LM 10C - U401 BR - SAB 0600
- WD 55 - ZN 414 - µA 710/723/739/
- LH 0075 - ZN 426/27 - 741/747/748
- TL 084 - SL 440 - OM 931/961
- TBA 120T - LX503 A - UAA 1300-1

- UAA 170/180 - NE 555/557 - AY 5/1013
- AY 1/0212 - LM 567 - AY 5/1015
- LF 351/353/355 - NE 566/565 - TDA 1022
- 356/357/359 - AY 1/1320 - SAD 1024
- 386/387 - ULN 2003 - AY 3/1350
- AY 3/1270 - 2112 - 2101
- MC 1488 (1489) - 2708 - 2114
- 2102 - 2764 - 2716
- 4116 - 262616 - XR 2203/06/07/40
- 2732 - 2650 - 2621
- RO-3-2513 - RC 4116 - CA 3130/40/3080
- 2636 - MM5204Q - 3161/62
- CEM 3310/20/30- ICL 7126 - RC 4136
- 40/50/60 - INS 8295 - HM 6116 LP
- XR 4151 - MK5398 - 7555
- 6502/6522/6532- SFF 9664 - Z861
- 8038 - MM 57160
- 95H90
- SN 76477

BAAR GRAF Strisce di led 4/6/8  
DISPLAY NUMERICI 7756/7750/7760/4640/7414/T 312 ...  
DISPLAY ALFANUMERICI LCD 3 1/2 LCD 4 1/2 FM 77T moduli alfanumerici LCD  
DIODI INFRAROSSO - FOTOTRANSISTORI - DIODI SCHOTTKY - OPTOACCOPPIATORI TL 111/MCD 13/4N 26/MCS 2400/FPT 100  
TRANSISTORI  
— serie AC/AD/AF/BD/BDX/BDF/FET/DUAL FET/TIP/SARLINGTON  
— serie 2N (NS/TXAS/SGS/RCA/MOTOROLA) DIAC/TRIAC/SCR  
CIRCUITI INTEGRATI LINEARI serie CA/LM/µA  
CIRCUITI INTEGRATI TTL (serie normale) LS/S e la nuova serie Fast Fairchild)  
CIRCUITI INTEGRATI CMOS SERIE TTL COMPATIBILE 74C... (NS/MOTOROLA) - (NS/F/TX/RCA/MOTOROLA) (serie 40-45)  
ZOCOLI PER CIRCUITI INTEGRATI BASSO PROFILO ED A WRAPPARE  
CXONNETTORI  
— AMPHENOL per RF  
— AMPHENOL per Cavo piatto  
— AMPHENOL per Cavo piatto/Stampanti/Microprocessori/Connessione di schede.  
ZOCOLI AD INSERZIONE ZERO E TEXTTOOL.  
MINUTERIA METALLICA  
DISSIPATORI per transistors, integrati, contenitori  
CONTENITORI in metallo, plastica per kits  
MASCHERINE SERIGRAFATE  
TASTIERE ALFANUMERICHE  
TASTI per tastiere ASCII  
KITS DI MONITORI MONITORI TELECAMERE

## I MOBILI PER I KIT DI ELEKTOR:

- VOCODER
- rack completo di pannelli frontali, manopole minuteria, maniglie, separatori e schermi (anodizzazione argento) L. 45.000
- contenitore per rack L. 45.000
- PREAMPLIFICATORE ARTIST PER CHITARRA
- pannello frontale e rack con maniglie, manopole (anodizzato satinato bianco) L. 28.000
- contenitore per rack Artist che può alloggiare molla di riverbero e doppio amplificatore 82089 con alimentatore e trasformatore toroidale (anodizzato bianco) L. 33.000
- CRESCENDO
- contenitore rack completo di maniglie ed accessori (anodizzazione bianca con scritte policromate) L. 50.000

## OFFERTA SPECIALE

Floppy disk driver 40 tpi per J.C. basso profilo BASF L. 450.000  
Monitor 12 pollici L. 260.000

Richiedi il catalogo generale componenti APL con prezzario

Modulo d'ordine da inviare alla A.P.L. srl - Via Tombetta, 35/A - 37135 Verona

DESIDERO RICEVERE .....

COGNOME ..... NOME .....

INDIRIZZO ..... N° .....

C.A.P. .... DESTINAZIONE .....

DATA ..... FIRMA .....

<b>Selektor</b> .....	5-12
<b>Girofono</b> .....	5-14
Con questa unità collegata al vostro sistema stereo, potrete produrre un effetto analogo a quello ottenuto con gli altoparlanti rotativi Leslie.	
<b>Quant'è preciso il vostro orologio?</b> .....	5-16
Gli orologi "meccanici" possono essere molto precisi, se regolati con cura. Il circuito qui descritto calcola rapidamente l'errore in un orologio meccanico così da poterlo regolare con la massima precisione.	
<b>Registratore a cassette digitale</b> .....	5-23
I registratori a cassette sono usati spesso come memorie di massa per i personal computer. Sfortunatamente, la qualità dell'interfaccia lascia spesso a desiderare. Questo circuito migliora parecchio la situazione, senza ridurre le prestazioni audio del registratore a cassette.	
<b>Cosmetico per segnali audio</b> .....	5-28
Un sistema modulare composto da tre parti, che può aumentare il piacere dell'ascolto, quando sia necessario collegare insieme apparecchiature mono e stereo.	
<b>Filtro attivo universale</b> .....	5-36
Un circuito integrato che funziona da filtro attivo universale, con un minimo di componenti esterni, è certamente degno di attenzione.	
<b>Da termometro a termostato</b> .....	5-38
Con un solo c.i. ed una manciata di componenti, il termometro LCD descritto nel numero di febbraio 1983 potrà essere usato come termostato.	
<b>Audio-segugio all'opera</b> .....	5-39
Quando qualcosa va male (come spesso avviene), questo articolo vi aiuta a trovare le radici dell'inconveniente.	
<b>Indicatore della direzione del vento</b> .....	5-42
Molti rimpiangono la vecchia banderuola segnavento, ma la nostra versione elettronica possiede almeno un grande vantaggio, in quanto non è più necessario osservare la banderuola per sapere da che parte tira il vento.	
<b>Programmare le EPROM con lo Z 80</b> .....	5-50
Un piccolo circuito con pochissimi componenti è tutto ciò che occorre per programmare in luogo le EPROM 2716 con qualunque sistema Z 80.	
<b>Puntale per cablaggio fatto in casa</b> .....	5-52
Il cablaggio dei prototipi di circuiti viene molto semplificato facendo fluire il filo da un rocchetto.	
<b>Decodifica degli indirizzi</b> .....	5-54
Uno degli aspetti meno familiari dell'elaborazione elettronica è la decodifica degli indirizzi. Questo articolo vuole gettare un po' di luce su questo argomento.	
<b>Applikator</b> .....	5-59
Nuovi oscillatori a quarzo programmabili, nei quali l'oscillatore, i divisori ed i circuiti selettori sono alloggiati, insieme al quarzo, in un contenitore DIL a 16 piedini.	
<b>EPS service</b> .....	5-61
<b>Mercato</b> .....	5-65



La rubrica  
**CHI E DOVE**  
 è a pagina 10





# elektor

# 60

# decodifica

anno 5 - n° 60

Maggio 1984

**Direttore responsabile:** Paolo Reina  
**Redattore capo dell'ediz. internazionale:** Paul Holmes  
**Redazione italiana:** Daniele Fumagalli  
**Staff di redazione:** J. Barendrecht, G.H.K. Dam, P.E.L. Kersemakers, E. Krempelsauer, G. Nachbar, A. Nachtmann, K. Walraven.

Aut. Trib. di Milano n. 19 del 15-1-1983  
 Spedizione in abbonamento postale gruppo III/70  
 Concessionaria esclusiva per la distribuzione in Italia  
 Sodip - Via Zuretti, 25 - 20125 Milano  
 Fotocomposizione: Lineacomp S.r.l. - Via Rosellini, 12 - 20124 Milano  
 Stampa: Grafiche Pirovano - S. Giuliano M. (MI)  
 Prezzo della rivista: L. 3.000/6.000 (numero doppio)  
 Numero arretrato L. 6.000

**DIRITTI DI RIPRODUZIONE**

Italia: Gruppo Editoriale Jackson - Via Rosellini, 12 - 20124 Milano  
 Francia: Société des Publications Elektor sari, Route Nationale, Le Seau 59270 Bailleul.  
 Inghilterra: Elektor Publishers Ltd, Canterbury, CT1 1PE Kent.  
 Germania: Elektor Verlag GmbH, 5133 Gangelst  
 Olanda: Elektuur B.V., 6190 AB Beek  
 Spagna: Elektor C/Av. Alfonso XIII, 141 Madrid - 16  
 Grecia: Elektor, Karaiskaki 14, Voula, Athene

**DIRITTI D'AUTORE**

La protezione del diritto d'autore è estesa non solamente al contenuto redazionale di Elektor ma anche alle illustrazioni e ai circuiti stampati. Conformemente alla legge sui Brevetti n° 1127 del 29-6-39, i circuiti e gli schemi pubblicati su Elektor possono essere realizzati solo ed esclusivamente per scopi privati o scientifici e comunque non commerciali. L'utilizzazione degli schemi non comporta alcuna responsabilità da parte della Società editrice. La Società editrice è in diritto di tradurre e/o fare tradurre un articolo e di utilizzarlo per le sue diverse edizioni e attività dietro compenso conforme alle tariffe in uso presso la Società editrice stessa. Alcuni circuiti, dispositivi, componenti, ecc. descritti in questa rivista possono beneficiare dei diritti propri ai brevetti; la Società editrice non assume alcuna responsabilità per il fatto che ciò possa non essere menzionato.

**ABBONAMENTI**

	Italia	Estero
Abbonamenti annuali	L. 29.000	L. 43.500

I versamenti vanno indirizzati a: Gruppo Editoriale Jackson - Via Rosellini, 12 - 20124 Milano mediante l'accensione di assegno circolare, vaglia o utilizzando il conto corrente postale n° 11666203

**UFFICIO ABBONAMENTI**

Tel. 02-6880951/5 linee ric. automatica

**CORRISPONDENZA**

DT = domande tecniche	P = pubblicità, annunci
DR = direttore responsabile	A = abbonamenti
CI = cambio indirizzo	SR = segretaria di redazione
EPS = circuiti stampati	SA = servizio riviste arretrate

**CAMBIO DI INDIRIZZO**

I cambi d'indirizzo devono essere comunicati almeno con sei settimane di anticipo. Menzionare insieme al nuovo anche il vecchio indirizzo aggiungendo, se possibile, uno dei cedolini utilizzato per spedire la rivista. Spese per cambi d'indirizzo: L. 500

**DOMANDE TECNICHE**

Aggiungere alla richiesta L. 500 in francobolli e l'indirizzo del richiedente; per richieste provenienti dall'estero, aggiungere, un coupon-risposta internazionale.

**TARIFFE DI PUBBLICITA'** (nazionali ed internazionali)

Vengono spedite dietro semplice richiesta indirizzata alla concessionaria esclusiva per l'Italia:

Reina & C. - Via Washington 50 - 20149 Milano -  
 Tel: 02-4988066/7/8/9/060 (5 linee r.a.) - TX 316213  
 per USA e Canada:  
 International Media Marketing 16704 Marquardt Avenue P.O. Box 1217 Cerritos, CA 90701 (213) 926-9552  
 Copyright © Uitgeversmaatschappij Elektuur B. V. 1983



GRUPPO EDITORIALE JACKSON SRI

**DIREZIONE, REDAZIONE, AMMINISTRAZIONE**

Via Rosellini, 12 - 20124 Milano - Telefoni 68.03.68 - 68.00.54 - 68.80.951

**SEDE LEGALE**

Via G. Pozzone, 5 - 20121 Milano

**REDAZIONE USA**

GEJ Publishing Group Inc. 811 Havernhill Drive  
 90407 Sunnyvale CA - Tel. (408) 7730103

**REDAZIONE G.B.**

GEJ Publishing L.T.D.  
 187 Oxford Street - London W1R1AJ

**DIREZIONE EDITORIALE**

Giampietro Zanga e Paolo Reina

**COORDINAMENTO EDITORIALE**

Daniele Comboni

Cos'è un TUP?  
 Cosa significa 3k9?  
 Cos'è il servizio EPS?  
 Cosa vuol dire DT?  
 Cosa si intende per il torto di Elektor?

quale può essere siglato:  
 $\mu A$  741, LM 741, MC 741, MIC 741, RM 741, SN 72741 ecc.

**Valori delle resistenze e dei condensatori**

L'espressione dei valori capacitivi e resistivi avviene senza uso della virgola. Al posto di questa, vengono impiegate le abbreviazioni di uso internazionale:

p (pico)	= $10^{-12}$
n (nano)	= $10^{-9}$
$\mu$ (micro)	= $10^{-6}$
m (milli)	= $10^{-3}$
k (chilo)	= $10^3$
M (mega)	= $10^6$
G (giga)	= $10^9$

Alcuni esempi di designazione dei valori capacitivi e resistivi:  
 3k9 = 3,9 k $\Omega$  = 3900  $\Omega$   
 0 $\Omega$ 33 = 0,33  $\Omega$   
 4p7 = 4,7 pF  
 5n6 = 5,6 nF  
 4 $\mu$ 7 = 4,7  $\mu$ F

Dissipazione delle resistenze: 1/4 Watt (in mancanza di diversa prescrizione). La tensione di lavoro dei condensatori a film plastico, deve essere di circa il 20% superiore alla tensione di alimentazione del circuito.

**Tipi di semiconduttori**

Le abbreviazioni TUP, TUN, DUG, DUS si trovano impiegate spesso nei circuiti di Elektor. Esse si riferiscono a tipi di transistori e diodi di impiego universale, che hanno dati tecnici corrispondenti tra loro e differiscono solo per il tipo di contenitore e per i collegamenti ai piedini. Le prestazioni limite inferiori dei componenti TUP-TUN, DUG-DUS sono raccolte nelle tabelle I e II.

**Tabella I. Prestazioni minime per i TUP e TUN.**

UCEO max	20 V
Ic max	100 mA
hfe min	100
Ptot. max	100 mW
fT min	100 MHz

**Esempi di elementi TUN:**

BC 107 (-8, -9), BC147 (-8, -9), BC 207 (-8, -9), BC237 (-8, -9), BC 317 (-8, -9), BC347 (-8, -9), BC 547 (-8, -9), BC171 (-2, -3), BC. 182 (-3, -4), BC382 (-3, -4), BC 437 (-8, -9), BC414

**Esempi di elementi TUP:**

BC177 (-8, -9), BC157 (-8, -9), BC204 (-5, -6), BC307 (-8, -9), BC320 (-1, -2), BC350 (-1, -2), BC557 (-8, -9), BC251 (-2, -3), BC212 (-3, -4), BC512 (-3, -4), BC261 (-2, -3), BC416

**Tabella II. Prestazioni minime per i DUG ed i DUS**

	DUG	DUS
UR max	20 V	25 V
If max	35 mA	100 mA
Ir max	100 $\mu A$	1 $\mu A$
Ptot max	250 mW	250 mW
Cd max	10 pF	5 pF

**Esempi di elementi DUG:**  
 OA85, OA91, OA95, AA116

**Esempi di elementi DUS:**  
 BA127, BA217, BA317, BAY61, BA217, 1N914, 1N4148

Molti semiconduttori equivalenti tra loro hanno sigle diverse. Trovandosi in difficoltà a reperire in commercio un tipo speciale, viene fornito su Elektor, dove possibile, un tipo universale. Come esempio ci si può riferire al tipo di circuito integrato 741, il

**Dati in tensione continua**

I valori di tensione continua forniti in un circuito, devono ritenersi indicativi, quindi il valore misurato se ne può scostare entro i limiti del  $\pm 10\%$  (lo strumento di misura dovrebbe avere una resistenza interna  $\geq 20$  k $\Omega/V$ ).

**Servizio EPS**

Numerosi circuiti pubblicati sono corredati della basetta stampata. Elektor ve la fornisce già pronta, pubblicando ogni mese l'elenco di quelle disponibili sotto la sigla EPS (dall'inglese Elektor Print Service, servizio circuiti stampati Elektor). Il montaggio dei circuiti viene alquanto facilitato dalla serigrafia della disposizione dei componenti, dalla limitazione delle aree di saldatura e dalla riproduzione delle piste conduttrici riportata sul lato componenti.

**Servizio tecnico lettori**

— Domande tecniche (DT) possono essere evase sia per iscritto che oralmente durante le ore dedicate alla consulenza telefonica. La redazione rimane a disposizione ogni venerdì dalle ore 13.30 alle 17.00.  
 — Il torto di Elektor fornisce tutte le notizie importanti che arrivano dopo l'uscita di un articolo, e che vengono riferite al lettore quanto prima è possibile.

# LISTINO PREZZI DEI CIRCUITI STAMPATI ORIGINALI ELEKTOR (EPS) E KIT\*

Per l'acquisto del materiale indicato rivolgersi a uno dei rivenditori elencati nella rubrica "CHI E DOVE". La vendita per corrispondenza viene effettuata solo dai rivenditori indicati da una freccia (→).

\* I kit sono realizzati dalle ditte APL (Verona) e IBF (Cerea - VR - Tel. 0442/30833). Essi comprendono i circuiti stampati originali Elektor e i componenti elettronici come da schema elettrico pubblicato nella rivista. Il trasformatore è compreso solo se espressamente menzionato. Il pannello, se previsto, è sempre a parte.

N. Riv.	EPS	ALIMENTATORI	Kit L. Stampato	
1	9465	Alimentatore stab. 1,2÷25V/1,5A	30.000	5.800
47	82178	Alimentatore professionale 0÷35V/3A	56.000	14.300
48	83002	Alimentatore stab. per computer 5V/3A	33.000	5.650
37	82070	Caricabatterie NiCd universale	33.000	8.200
50/51	82570	Super alimentatore 5V/6 ÷ 8A		7.100
57	83098	Eliminatore di batterie	12.400	5.300

## ALTA FEDELTA'

11	80023/A	Amplificatore 60 W RMS con circuito ibrido "TOP-AMP"	65.000	6.900
11	80023/B	Amplificatore 30 W RMS con circuito ibrido "TOP-AMP"	59.000	6.900
16	9945	Preamplificatore 3 ingressi con controllo Toni, volume e filtri CONSONANT stereo	77.000	14.500
17	9954	Preamplificatore equalizzatore RIAA per testine magnetiche stereo	18.000	7.000
24	9874	Amplificatore stereo 2X 45W RMS "Elektorado"	54.000	12.500
25	9897/1	Equalizzatore parametrico: filtri	27.500	4.900
25	9897/2	Equalizzatore parametrico: controllo toni	30.500	4.900
26/27	80532	Preamplificatore stereo RIAA per testine magnetiche	14.600	—
28	81068	Minimixer stereo 3 ingressi stereo + 2 mono	95.000	36.700
31	81117/1/2	Compander HI-FI e riduttore di rumore HIGH-COM con alimentatore	160.000	99.000
31	9860	VU-METER a led per HIGH-COM (STEREO)	37.800	13.100
31	9817/1/2			
38/39	81570	Preamplificatore stereo HI-FI con alimentazione	51.000	13.000
41	82080	Riduttore di rumore DNR senza filtro	33.000	9.000
40	82089-1	Amplificatore HI-FI 100 W	55.000	8.500
40	82089-2	Alimentatore per amplii 100 W	29.000	8.000
47	82180	Amplificatore 140W HI-FI a VMOS-FET "crescendo"	108.000	15.300
48	83008	Temporizzatore e protezione casse acustiche per "crescendo"	48.000	9.200
49	83022/7	"Preludio" amplificatore per cuffie	34.200	12.400
49	83022/8	"Preludio" alimentazione	44.000	11.300
49	83022/9	"Preludio" ingressi	31.500	18.100
50/51	82539	Pre-amplii di elevata qualità per ascolta nastri	16.000	5.100
49	83022/1	Preludio: Bus	99.000	38.000
52	83022/6	Preludio: amplificatore di linea	31.000	16.000
49	83022/10	Preludio: indicatore audio tricolore	21.000	7.000
49	83022/5	Preludio: controllo toni	39.500	13.000
49	83022/4	Preludio: controllo toni e volume	58.000	12.000
49	83022/3	Preludio: pre-amplii fono per P.U. a magnete mobile	39.500	16.000
49	83022/2	Preludio: pre-amplii fono per P.U. a bobina mobile	32.000	13.000
54	83051/1	Maestro	a richiesta	7.900
55	83051/2	Maestro: Ricevitore	a richiesta	42.000
55	83071/1/2/3	Visualizzatore di spettro	120.000	30.500

## STRUMENTAZIONE DA LABORATORIO

1	9453	Generatore di funzioni da 9 Hz a 220 KHz	64.000	10.800
16	79513	ROSMETRO per HF-VHF	9.500	2.200
17	80067	Display: visualizzatore sequenziale di stati logici	16.000	6.200
17	80045	Termometro digitale/Termostato	99.000	8.000
17	79035	Millivoltmetro CA e generatore di segnali	17.000	3.600
24	80077	Prova transistor di lusso	35.000	7.800
25	80128	Tracciacurve per transistor	5.000	2.500
32	81173	Barometro digitale	85.000	10.500
32	81094	Analizzatore logico (Kit 81094/1/2/3/4/5)	263.000	—
23	80089/3	Alimentatore per analizzatore logico	36.000	9.000
33	81141	Oscilloscopio a memoria	110.000	13.900
32	79017	Generatore di treni d'onda	38.000	11.000
34	82011	Strumentazione a cristalli liquidi	50.000	—
35	82006	Oscillatore sinusoidale	52.000	6.000
36	82026	Frequenzimetro 30 MHz	—	8.800
37	82028	Frequenzimetro 150 MHz	—	16.000
35	82040	Modulo di misura per condensatori	—	7.200
—	FM77T	Modulo LCD per frequenzimetri 82026 e 82028	95.000	—
38/39	81523	Generatore casuale di numeri per analizz. logico	30.500	7.500
38/39	81577	Buffer d'ingresso per analizz. logico	41.900	7.000
38/39	81575	Strumento digitale universale a display-led	58.000	10.000
38/39	81541	Diapason a quarzo	26.000	5.100
40	82090	Tester per RAM 2114	19.000	5.800
44	82577	Tester trifase	27.000	9.200
45	82156	Termometro a cristalli liquidi	66.000	6.700
48	83006	Milli-ohmmetro	32.400	5.850
52	83037	Luxmetro a LCD	74.000	6.900
53	83052	Wattmetro elettronico	49.000	9.200
55	83067	Misuratore di energia	66.000	9.400
56	83083	Autotester	98.000	17.000
57	83103/1/2	Anemometro	72.000	18.000

## PROM-EPROM PROGRAMMATE

503		Monitor per Junior C. base (80089/1) 1x2708	20.000	
504		Luci da soffitto (81012) 1x2708	20.000	
506		"Tape monitor" (TM) per estensione Junior (81033/1) 1x2716	25.000	
507N		"Printer monitor" (PM) per estensione Junior (81033/1) 1x2716	25.000	
508		Indirizzo bus per estensione Junior (81033/1) 1x82S23	20.000	
510		Frequenzimetro 150 MHz (82028) 2 x 82S23	30.000	
511		Disassembler per Junior+estensione (80089+81033) e routine di programmazione EPROM per Junior + programmatore (82010) 1x2716	28.000	

N. Riv.	EPS	PROM-EPROM PROGRAMMATE	Kit L. Stampato	
512		Orologio "Brava casalinga (81170/1/2) 1x2716		25.000
513		Tastiera polifonica (82105) 1x2716		25.000
514		Computer per camera oscura (81170 + 82141/1/2/3) 1 x 2716		25.000
515		Software dos per 82159		30.000

## AUDIO-RADIO-TV

2/3	77101	Amplificatore audio 4 W con TDA 2002	11.000	4.000
2/3	9525	Indicatore di picco a led	14.900	5.100
4	9860	VU-METER STEREO con UAA180 e preampli	37.800	13.100
4	9817/1/2			
8	79519	Sintonia digitale a tasti	40.000	13.000
18	80022	Amplificatore d'antenna a larga banda	7.500	2.800
26/27	80543	Amplificatore STAMP 200 mW	8.000	3.000
41	82077	SQUELCH automatico	14.500	5.650
41	82122	Ricevitore SSB per 14 MHz	—	15.000
45	82161/1	Convertitore SSB per 7 - 3,5 MHz → 14 MHz	—	6.400
45	82161/2	Convertitore SSB per 21 - 28 MHz → 14 MHz	—	7.200
45	82144/1/2	Antenna attiva	33.000	9.500
23	80085	Amplificatore PWM	13.000	2.700
34	82015	Display a led con UAA170 e preampli	19.800	4.000
38/39	81515	Indicatore di picco per altoparlanti	9.950	4.500
56	83087	Personal FM	46.500	7.700
58	83114	Pseudo-stereo	29.800	5.800

## MUSICA

18	80060	Chorosynt	145.000	66.500
30	81112	Generatore di effetti sonori (circ. generale)	28.000	6.000
34	82029	HIGH-BOOST (ampli-toni per chitarra)	21.000	6.000
35	82020	Miniorgano polifonico 5 ottave	66.000	10.000
35	9968-5	Alimentatore per miniorgano Tastiera 5 ottave per miniorgano con c.s. per matrice diodi	100.000	—
40	82027	Sintetizzatore VCO	75.000	14.000
41	82031	Sintetizzatore VCF-VCA	75.000	14.000
42	82032	Sintetizzatore Modulo ADSR doppio	85.000	14.000
42	82033	Sintetizzatore Modulo LFO/NOISE	48.000	13.000
43	9729/1	Sintetizzatore Modulo COM	38.000	13.500
43	82078	Sintetizzatore Alimentatore	38.000	11.000
44	82106	Sintetizzatore Modulo antirimbalzo	—	8.500
44	82107	Sintetizzatore Circuito d'interfaccia	105.000	17.000
44	82108	Sintetizzatore Circuito di accordo	41.000	10.500
44	82105	Sintetizzatore Scheda CPU Z80A	135.000	25.500
45	82110	Sintetizzatore Bus per tastiera polifonica	—	10.100
40	82014	Preamplificatore ARTIST	132.000	36.000
47	82167	Accordatore per chitarra	69.000	7.600
50/51	82111	Unità d'uscita e keysoft per il polyformant	32.500	15.000
50/51	82112	D/A converter per tastiera polifonica	67.000	6.100
57	83095	Quantizer	131.000	12.000
58	83107/1/2	Metronomo elettronico	94.000	15.300

## COMPUTER

23	80089/1	Junior computer base	230.000	31.500
23	80089/2	Junior computer display	29.000	6.000
23	80089/3	Junior computer alimentatore	40.000	9.000
46	81033/1/2/3	Junior computer estensione	285.000	72.700
8	9965	Tastiera ASCII	—	26.000
8	9966	Elekterminal	235.000	30.000
9	79038	Estensione delle pagine dell'Elekterminal	140.000	17.000
9	9967	Modulatore TV UHF-VHF	21.000	5.700
29	80120	8k RAM + 8k EPROM con 2716	228.000	40.000
7	80024	BUS-BOARD per Junior	—	17.000
41	82017	Scheda 16k RAM dinamica	112.000	14.800
37	82010	Programmatore di EPROM 2716/2732	78.000	19.000
34	81594	Scheda ad inserzione per programmazione 2716	20.000	4.950
36	82019	IPROM: 2k RAM C-MOS autoalimentata	52.000	6.000
40	82093	Minischeda EPROM	29.800	4.900
7	9985	Scheda 4k RAM	—	30.000
26/27	80556	Programmatore di PROM 82S23	8.225	12.000
42	81170/1/2	Orologio a microprocessore	210.000	21.500
46	81170/1	Computer per camera oscura: scheda CPU	132.000	14.800
46	82141/1/2/3	Computer per camera oscura: tastiera, interfaccia, display	75.600	28.800
47	82142/1/2/3	Computer per camera oscura: fotom. termom. e temporizz.	75.000	17.300
47	82159	Interfaccia per floppy disk	—	15.600
49	83011	MODEM acustico per telefono	99.000	18.300
49	82190	VAM: modulatore video audio	54.000	9.900
52	83014A	Scheda di memoria universale senza alim. autonoma con 8 x 2732	230.000	24.000
52	83014B	Scheda di memoria universale con alim. autonoma con 8 x 6116	340.000	24.000
54	83058	Tastiera ASCII completa	240.000	58.000
54	83054	Convertitore Morse completo di µA	50.000	9.900
54	83044	Decodifica RTTY	69.000	18.800
56	83082	Scheda DVU	217.500	38.200
57	83106	Interfaccia per FSK	34.400	9.700
57	83101	Interfaccia cassette per BASICODE	9.800	5.200
58	83108/1/2	Scheda CPU	269.000	40.000







## Libri firmati JACKSON

nuovidea



### Rita Bonelli - Daria Gianni ALLA SCOPERTA DEL VIC 20

Un testo chiave per imparare a conoscere e usare uno dei Personal del momento.

308 pagine L. 22.000

Codice 338D

Cassetta Programmi

L. 15.000

Floppy Programmi

L. 25.000

### Gaetano Marano 77 PROGRAMMI PER SPECTRUM

Dalla Grafica alla Business Grafica, dalla musica alle animazioni, dai giochi all'elettronica... tutte le possibilità offerte dal più piccolo dei computer.

150 pagine a colori

L. 16.000

Codice 555A

### Nicole Bréaud-Pouliquen LA PRATICA DELL'APPLE

"Il Sistema APPLE II", il "BASIC Applesoft", il disegno e la grafica: arricchiti da esempi e esercizi.

130 pagine L. 10.000

Codice 341D

### Giacomino Baisini Giò Federico Baglioni IL FORTH PER VIC 20 E CBM 64

La programmazione in FORTH e la sua implementazione sul Commodore VIC 20 e CBM 64.

150 pagine L. 11.000

Codice 527B

### Carmine Elefante L'HOME COMPUTER TI/99-4A

Il BASIC, il BASIC Esteso e il microprocessore dell'home computer della T.I. Con programmi di utilità e svago.

192 pagine L. 15.000

Codice 343B

### Alessandro Polistina COMPUTER GRAPHICS, CAD, ELABORAZIONE DI IMMAGINI: sistemi e applicazioni

Tutti gli atti del 3° Convegno nazionale AICOGRAPHICS, finalmente a disposizione di operatori, sperimentatori, appassionati.

512 pagine, 33 illustrazioni a colori L. 45.000

Codice 529C

## La Biblioteca che fa testo

In busta chiusa, e senza impegno, inviate questo coupon a:  
Gruppo Editoriale Jackson - Via Rosellini, 12 - 20124 Milano

Desidero ricevere gratuitamente il Catalogo Generale della Biblioteca Jackson e informazioni sulle 10 Riviste specialistiche da voi pubblicate.

(allego L. 1.000 in francobolli per contributo spese di spedizione)

Desidero ricevere contrassegno il/i volume/i

(pagherò al ricevimento L. ....  
più L. 2.000 per contributo spese di spedizione)

Nome \_\_\_\_\_ Cognome \_\_\_\_\_

Via \_\_\_\_\_

CAP \_\_\_\_\_ Città \_\_\_\_\_

# JBC. SALDATORI D'EUROPA OGGI ANCHE IN ITALIA

Ieri i nostri prodotti erano conosciuti ed apprezzati per la loro qualità solo da alcuni.

Oggi, proprio questa "rispondenza" ci ha spinto a creare una società di distribuzione in Italia, la ELECIT srl.

La ELECIT, si occuperà di distribuire direttamente oltre alla già apprezzata gamma di apparecchi per la saldatura che risolvono in maniera efficace le svariate esigenze sia dell'"hobbysta" che del "professionista"; anche molteplici accessori che facilitano e rendono più funzionali le operazioni di saldatura.

SI RICERCANO AGENTI

**JBC**

UNA SCELTA  
"PROFESSIONALE"



studio: Nicola Cirillo

Rivolgersi al distributore abituale,  
oppure alla: **ELECIT** srl

Divisione italiana dei saldatori JBC

20162 MILANO via Arganini 22  
telefono 02.6473208-6473247

## Onde cerebrali visualizzate in tempo reale su uno schermo TV

Marilyn A. Harris  
 Tratto dalla rivista "Electronics" del 24 febbraio 1984

Un sistema televisivo per il controllo dell'attività cerebrale, attualmente sotto collaudo presso l'Istituto Nazionale di salute mentale, potrebbe essere in grado di ridurre notevolmente l'incubo di un iperdosaggio di anestetico in sala operatoria. Messo a punto dal ricercatore Jesse Salb, il sistema visualizza in tempo reale sullo schermo di un monitor TV a colori la distribuzione sempre mutevole dei potenziali elettrici alla superficie del cervello. Poiché l'anestesia influenza questi potenziali, la speranza è che l'anestesista possa rendersi immediatamente conto degli effetti dei farmaci che somministra, rappresentati graficamente con brillante chiarezza. Un anestesista dell'Ospedale universitario di Georgetown, Michel Dubois, afferma che questo è un grande passo in avanti, in quanto l'attività cerebrale spontanea viene riportata su uno schermo TV, è interpretabile all'istante ed è anatomicamente precisa. Il vecchio sistema, che faceva uso di curve elettroencefalografiche, è ingombrante ed oscuro anche per un anestesista esperto. Il vecchio equipaggiamento è talmente poco maneggevole che le operazioni di grande chirurgia procedono spesso senza osservazione dell'attività cerebrale.

Il lavoro di Salb, denominato "analisi topografica dinamica", usa i classici metodi di elaborazione digitale dei segnali (principalmente il calcolo della media del segnale e l'analisi spettrale) per analizzare i complessi segnali a bassa frequenza, con livelli dell'ordine dei microvolt, generati dal cervello. Si tratta delle cosiddette "onde cerebrali", captate anche dalla macchina elettroencefalografica (EEG).

**Risposta agli stimoli.** Durante esperimenti effettuati presso l'Istituto di visualizzazione del cervello, a Bethesda, Salb, che là era un collaboratore ospite, ha usato il monitor, insieme a Richard Coppola (capo del laboratorio), per osservare i potenziali sviluppati in soggetti umani da stimoli che potevano essere un contatto fisico od una luce lampeggiante. Coppola, che è un esperto in topografia elettroencefalografica, ha studiato come le onde caratteristiche delle crisi epilettiche, che hanno origine nel lobo frontale, si propagano all'indietro lungo il cervello. Egli ha anche preso in esame le onde cerebrali degli schizofrenici.

Nel sistema sono impiegati amplificatori a basso rumore per strumentazione ed i sensori sono una serie di elettrodi collegati al cuoio

capelluto: 16 elettrodi per un emisfero, un totale di 28, alcuni dei quali con duplice funzione. I segnali provenienti da questi sensori sono poi fatti passare attraverso filtri che rimuovono i disturbi spuri ad alta frequenza, chiamati "artefatti", che possono essere emessi, per esempio, dai muscoli adiacenti. I tessuti cerebrali in riposo lavorano in quella che è chiamata "banda alfa", che va da 8 a 12 Hz e nella "banda beta", che ha una frequenza leggermente superiore a 12 Hz. Una anomalità, come un tumore cerebrale, che lo strumento può rilevare, produce frequenze più basse, che si trovano, per esempio, nella banda delta, che va da 1 a 4 Hz. Uscito dai filtri, il segnale passa ad un elaboratore EEG, che contiene un convertitore analogico/digitale, un processore per analisi di Fourier costruito in tecnica TTL bipolare e memorie RAM da 32 a 56 K. Questi elementi sono controllati da un microprocessore Motorola 6809E, che ha una frequenza di clock di 2 MHz. Al processore EEG è collegato un terminale di programmazione. Dall'elaboratore EEG i segnali passano ad un generatore di immagini, che ha un altro chip di controllo 6809E ed un generatore topografico che elabora una nuova mappa formata da 4 K elementi di immagine 60 volte al secondo. I dati passano poi nel monitor a colori. Il display, con i colori che rappresentano diversi livelli di potenziale nel cervello, fornisce una rappresentazione istantanea (vedi foto), a differenza delle tradizionali analisi soggettive di un diagramma EEG.

Questa tecnica può essere complementare alla ricerca di base riguardante certe particolari configurazioni del potenziale cerebrale, che hanno luogo, per esempio, negli epilettici o negli schizofrenici. Il sistema può anche essere complementare alla tomografia assiale computerizzata (TAC), che impiega raggi X, ed alla tomografia ad emissione positronica (PET), che rileva le modifiche biochimiche nel cervello esplorando l'emissione di isotopi radioattivi ingeriti. Entrambe queste tecniche sono statiche (le immagini non sono in movimento) e non funzionano in tempo reale. La PET è inoltre una tecnica invasiva. Il sistema di Salb è dinamico, in tempo reale e non invasivo.

Salb ritiene che un sistema pratico per

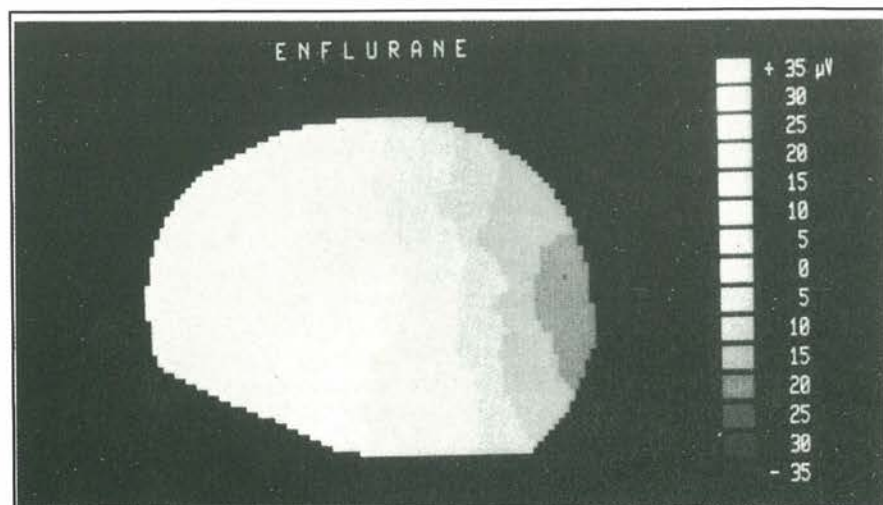


Figura. Mappa del cervello. Il monitor a colori mostra la distribuzione del potenziale elettrico alla superficie del cervello umano sotto anestesia. In questa foto in bianco e nero, le ombre scure rappresentano bassi livelli di attività, mentre le zone più chiare sono sintomo di maggiore attività.

monitorare la risposta cerebrale all'anestesia nel corso di operazioni chirurgiche potrebbe essere pronto entro un anno. Risposte pressoché istantanee possono essere ottenute rilevando topograficamente l'ampiezza

in una particolare banda di frequenza, ottenuta mediante analisi rapida di Fourier, in diversi punti del cuoio capelluto. Le mappe vengono aggiornate ogni due secondi. Allo stadio di prototipo, il sistema trova

facilmente posto su un tavolo e pesa circa 10 chili. Il prezzo, secondo Salb, dovrebbe essere inferiore ai 20.000 dollari.

## Le microonde tracciano immagini dell'interno del corpo

J. Robert Lineback

Tratto dalla rivista "Electronics" del 3 novembre 1983

Due astrofisici hanno messo a punto una tecnica di visualizzazione medica che esplora l'interno del corpo umano nello stesso modo impiegato dalle onde radio ad alta frequenza per esplorare lo spazio e rilevare i corpi celesti. Gli inventori ritengono che questa tecnica, chiamata "Safescan", sarà in grado di sostituire i tradizionali raggi X, la tomografia assiale computerizzata (TAC) ed i nuovi sistemi di risonanza magnetica nucleare (NMR) per l'esplorazione tridimensionale dell'interno del corpo umano.

Il Safescan genera immagini a 3 dimensioni raccogliendo ed elaborando le microonde reirradiate dal corpo di un paziente esposto ad un'irradiazione di microonde pari a 10 mW per centimetro quadrato, per una durata di 0,01 secondi ed all'interno di una camera alta circa 2 metri. L'esposizione alla radiofrequenza avviene in totale sicurezza, in quanto la potenza corrisponde ad un decimo di quella dispersa da un forno a microonde secondo le prescrizioni della FDA. I progettisti di questo sistema sono Jeffrey B. Pearce, presidente e cofondatore della Holographics Inc. di Boulder, Colorado, ed il suo collaboratore James W. Warwick. I due scienziati sono radioastronomi che hanno sperimentato la rilevazione delle emissioni radio dalle atmosfere di Giove, Saturno, Urano e Nettuno, mediante strumenti imbarcati a bordo dei satelliti Voyager I e II. Mentre tentavano di trovare un modo per far valere la loro esperienza nella manipolazione di segnali radio a basso livello, essi decisero di provare ad applicare il metodo agli esami medici non invasivi.

Dopo aver completato la ricerca tecnica e la maggior parte dello sviluppo del software con un modello ingegneristico, la Holografic sta ora tentando di raccogliere finanziamenti per un milione di dollari, cioè quanto necessario per completare il prototipo

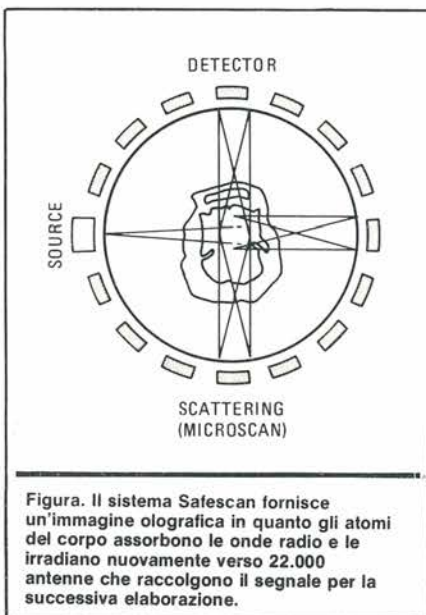


Figura. Il sistema Safescan fornisce un'immagine olografica in quanto gli atomi del corpo assorbono le onde radio e le irradiano nuovamente verso 22.000 antenne che raccolgono il segnale per la successiva elaborazione.

completo entro un anno. Pearce spera anche di raccogliere altri 3 milioni per completare cinque altri prototipi, che dovrebbero essere collaudati in centri di ricerca ospedalieri.

Una volta sul mercato, il sistema costerà presumibilmente da 500.000 a 750.000 dollari.

Lo strumento è destinato a fornire un ologramma di tutti gli organi interni in una sola esposizione, proiettando onde radio con frequenza tra 700 MHz ed 1,3 GHz sul corpo umano, i cui atomi assorbono energia ed irradiano nuovamente la medesima frequenza in tutte le direzioni, entro alcuni picosecondi. I segnali sono raccolti da una matrice di 22.000 piccole antenne a dipolo e poi amplificati e digitalizzati per poter essere elaborati dal computer, che ne effettua la deconvoluzione con un algoritmo analogo a quello usato per l'inversione di una matrice.

Per creare l'ologramma, i segnali ricavati mediante la deconvoluzione vengono comparati in fase ed ampiezza, e poi sommati per ottenere i cosiddetti "voxel" (elementi volumetrici d'immagine tridimensionale). Questo processo comprende un numero talmente grande di dati ed un programma talmente complesso che un minielaboratore, collegato ad un processore asservito in virgola mobile, impiega circa 30 minuti per completarlo.

Per memorizzare l'immagine completa del corpo e poterla visualizzare su uno schermo con risoluzione di 0,1 mm, è necessaria una memoria di 1 gigabyte. Visualizzate in bianco/nero od a colori, le immagini di una parte qualsiasi del corpo (per esempio il cuore) possono essere richiamate dalla memoria per l'esame su un visualizzatore video stereoscopico formato da due cinescopi. Durante questo esame, i medici possono ruotare queste immagini "3-D" ed osservare, mediante una serie di esposizioni, il reale funzionamento degli organi interni.

### Le radiazioni non sono ionizzanti

A differenza dei convenzionali raggi X (immagini bidimensionali) ed alle esplorazioni TAC (immagini tridimensionali), il sistema Safescan non presenta i pericoli derivanti dall'esposizione alle onde elettromagnetiche ionizzanti, in quanto vengono impiegate frequenze non ionizzanti a livelli di potenza molto bassi.

Anche il sistema a risonanza magnetica nucleare (NMR) crea immagini tridimensionali del paziente mediante radiazioni non ionizzanti, ma Pearce ritiene che il suo alto costo (da 1,5 a 2 milioni di dollari per il solo impianto) ed i problemi connessi alla schermatura dei campi magnetici attenuano un po' i vantaggi della tecnica, che sta iniziando a divenire di uso comune.

Con il Safescan, la schermatura viene ottenuta con una semplice lamiera di rame. Il sistema opera con una radiofrequenza che subisce poche interferenze di origine naturale od artificiale, per cui le potenze necessarie sono basse, pur mantenendo alto il rapporto segnale/rumore.

La maggior parte di noi ha sentito l'effetto stereofonico prodotto dal passaggio di un treno espresso, da un vento di uragano o forse quello di un suono artificialmente trasferito dall'altoparlante di destra a quello di sinistra. Quando il suono effettua il percorso inverso, cioè dall'altoparlante di sinistra a quello di destra, l'effetto è impressionante come quello, per esempio, di un treno che passa di fronte a noi in direzione opposta. Il circuito descritto in questo articolo dà la possibilità di ottenere i due effetti simultaneamente: viene così a crearsi un suono molto simile a quello del sistema "Leslie" ad altoparlanti ruotanti.

## girofono...

...per dare  
"movimento"  
al vostro stereo

Prima di procedere, bisogna avere ben chiaro in mente un concetto: perché questo effetto possa essere realizzato, i contenuti dei due canali stereo devono essere nettamente distinti l'uno dall'altro. Una breve prova di ascolto mostrerà subito quale sia il tipo di registrazione più adatto: ascoltate e poi staccate uno degli altoparlanti. Se si "estingue" esattamente metà del suono, la registrazione va bene. Sono particolarmente adatti dischi stereo prodotti dieci o più anni fa.

Il circuito non è veramente una versione elettronica del Leslie, perché non sono previsti spostamenti di fase, ma tuttavia l'effetto è notevole. Riassumendo, il segnale di destra "viaggia" verso il canale sinistro, e viceversa. In seguito, di lì a poco, i due segnali sonori tornano ai loro canali originali; questo effetto viene ottenuto scambiando periodicamente tra loro i due segnali.

Lo schema a blocchi di Figura 1 mostra che i segnali provenienti dai due canali vengono suddivisi ed applicati a quattro amplificatori operazionali a transconduttanza (OTA). Anche se OTA 1 ed OTA 3 sono entrambi alimentati con il segnale del canale sinistro (ed OTA 2 - OTA 4 con il canale destro), essi non sono però controllati dalla medesima tensione a denti di sega. L'oscillatore a bassa frequenza (LFO) pilota direttamente gli OTA 1 e 4, mentre pilota gli OTA 2 e 3 tramite un invertitore. Ciò significa che gli OTA alimentati con il medesimo segnale stereo hanno segnali di controllo con fase opposta. Il segnale del canale sinistro viene di conseguenza amplificato in OTA 1 ed attenuato in OTA 3, e perciò appare

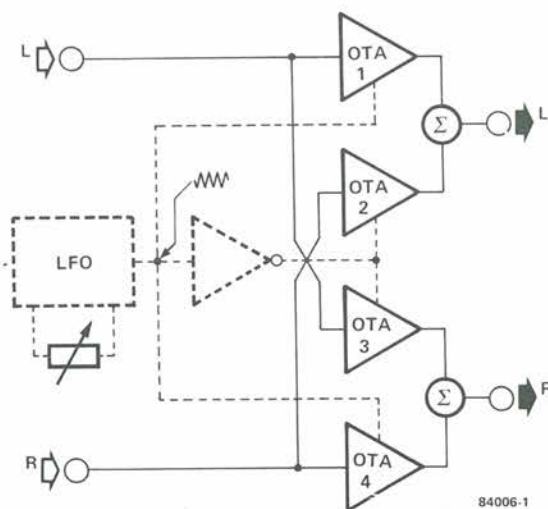
all'uscita del canale sinistro, ma non a quella del canale destro. Di tanto in tanto, tuttavia, i segnali di controllo sono tali che l'informazione di sinistra appare sull'uscita destra, ma non in quella sinistra. Il segnale d'ingresso del canale destro viene elaborato allo stesso modo.

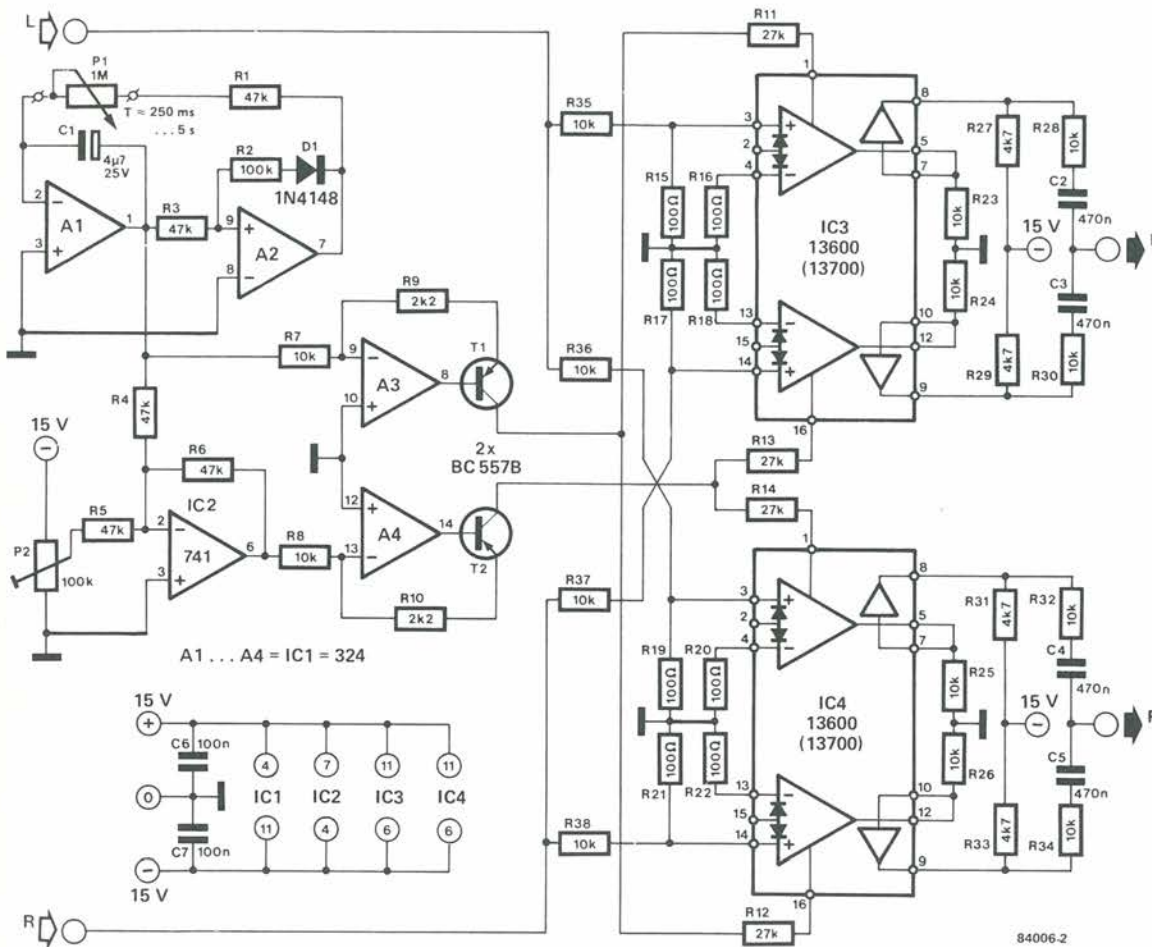
L'intero procedimento è continuo, e perciò causa il caratteristico alternarsi di esaltazione e di attenuazione dei livelli acustici emessi dagli altoparlanti. Contrariamente a quanto avviene con un vero Leslie, il nostro circuito crea l'effetto utilizzando esclusivamente differenze di volume tra i singoli canali. Un oscillatore di bassa frequenza, formato dall'integratore A1 e dal trigger A2 (vedi Figura 2), genera una tensione a denti di sega. Questa tensione non dovrebbe diventare negativa, perché così bloccherebbe gli OTA: per questo motivo, il diodo D1 è inserito nel circuito di retroazione di A2. La tensione a denti di sega viene inviata ad A3 ed all'invertitore IC2. Il segnale di uscita di IC2 viene applicato all'ingresso invertente di A4. Gli amplificatori operazionali A3 ed A4 pilotano i transistori T1 e T2 che, a loro volta, alimentano i quattro OTA.

Come spiegato in precedenza, i segnali provenienti dai due canali vengono suddivisi in due parti, che vengono separatamente amplificate in due diversi OTA. L'uscita del canale sinistro contiene una miscela dei segnali inviati agli OTA 1 e 2; analogamente, l'uscita del canale destro contiene una miscela di segnali provenienti dagli OTA 3 e 4. I componenti mediante i quali avviene la miscelazione consistono in due resistenze ed un

Figura 1. Schema a blocchi del girofono. I percorsi dei segnali e dei controlli (questi ultimi disegnati tratteggiati) sono mostrati separatamente, per chiarire il modo in cui funziona il girofono.

1





84006-2

condensatore (per esempio, R27/R28/C2). I buffer contenuti in IC3 ed IC4 (collegati rispettivamente ai piedini 7, 8 e 9, 10) non devono essere utilizzati in questa applicazione.

### Costruzione e taratura

Lo schema è stato mantenuto più semplice ed economico possibile e la sua costruzione su una piastrina per prototipi (Vero) non dovrebbe presentare difficoltà per degli hobbisti con un minimo di esperienza.

Il trimmer P1 permette di regolare secondo i gusti individuali la frequenza del generatore a denti di sega. La frequenza  $f$  è data dalla formula:

$$f = 1/C1(P1 + R1) \text{ Hz}$$

Con i valori dello schema, la frequenza può essere regolata a qualsiasi valore compreso tra 0,2 e 4 Hz, corrispondenti rispettivamente a periodi di 5 secondi e 250 ms.

Poiché IC2 inverte l'onda a denti di sega, la sua uscita dovrebbe normalmente essere per la maggior parte negativa. Come abbiamo già appurato, ciò non è tollerabile perché gli OTA verrebbero bloccati. Di conseguenza, la tensione a denti di sega invertita viene sommata ad una tensione c.c., il cui livello è regolato mediante P2. Non avendo a

disposizione un oscilloscopio, questa regolazione potrà essere fatta ad orecchio. Basta applicare un segnale ad uno dei canali d'ingresso, e posizionare l'LFO per un segnale d'uscita a bassa frequenza. Se P2 è stato regolato correttamente, il volume dell'altoparlante dovrebbe diminuire gradualmente, e poi nuovamente aumentare, in modo altrettanto graduale. In caso diverso, è chiaro che avviene una limitazione dei picchi del segnale: questo fatto è evidenziato da una momentanea assenza di suono, seguita da un brusco aumento di volume.

I segnali d'ingresso audio da applicare a questo circuito possono variare da 0,7 V a 10 V.

Quando il livello del segnale d'ingresso è molto vicino al limite inferiore di 0,7 V, ed all'uscita del girafono è collegato un amplificatore di potenza elevata, potrebbe però accadere che risultino udibili negli altoparlanti i valori massimo e minimo della tensione a denti di sega. Questo fenomeno può essere evitato aumentando il livello d'ingresso del segnale, per esempio inserendo un amplificatore ausiliario tra le sorgenti del segnale e gli ingressi del girafono.

Nella descrizione dell'alimentatore di rete, saremo brevissimi: la corrente assorbita dal girafono è di circa 50 mA per canale, alla tensione di  $\pm 15$  V.

Figura 2. Appare chiaro, da questo schema elettrico, che sono stati usati solo componenti economici e facilmente reperibili. Solo la regolazione di P2 può mettere alla prova la vostra pazienza (ed il vostro udito!).



Anche se gli orologi al quarzo sembrano avere soppiantato quasi completamente i loro "collegli" a molla e bilanciere, per molte persone, nulla può ancora reggere il confronto con la raffinata bravura meccanica con la quale è costruito il meccanismo di un orologio di tipo tradizionale. Il regolare ticchettio proveniente da tutte quelle

parti costruite con precisione, messe insieme con instancabile pazienza per comporre un tutto unico, è qualcosa di completamente diverso dall'invisibile e silenzioso strisciare degli elettroni in un orologio controllato a quarzo.

Il "prova-orologi" descritto in questo articolo è un circuito stabilizzato a quarzo, che può essere utilizzato per aiutare a regolare con precisione un orologio meccanico. Il quarzo viene impiegato come riferimento per determinare, entro pochi secondi, se l'orologio avanza o ritarda, ed il risultato è mostrato su un display, in forma di minuti al giorno. Conoscere l'errore è essenziale per poter poi regolare con precisione l'orologio.

## quant'è preciso il vostro orologio?

la precisione  
del quarzo  
applicata  
agli orologi  
meccanici

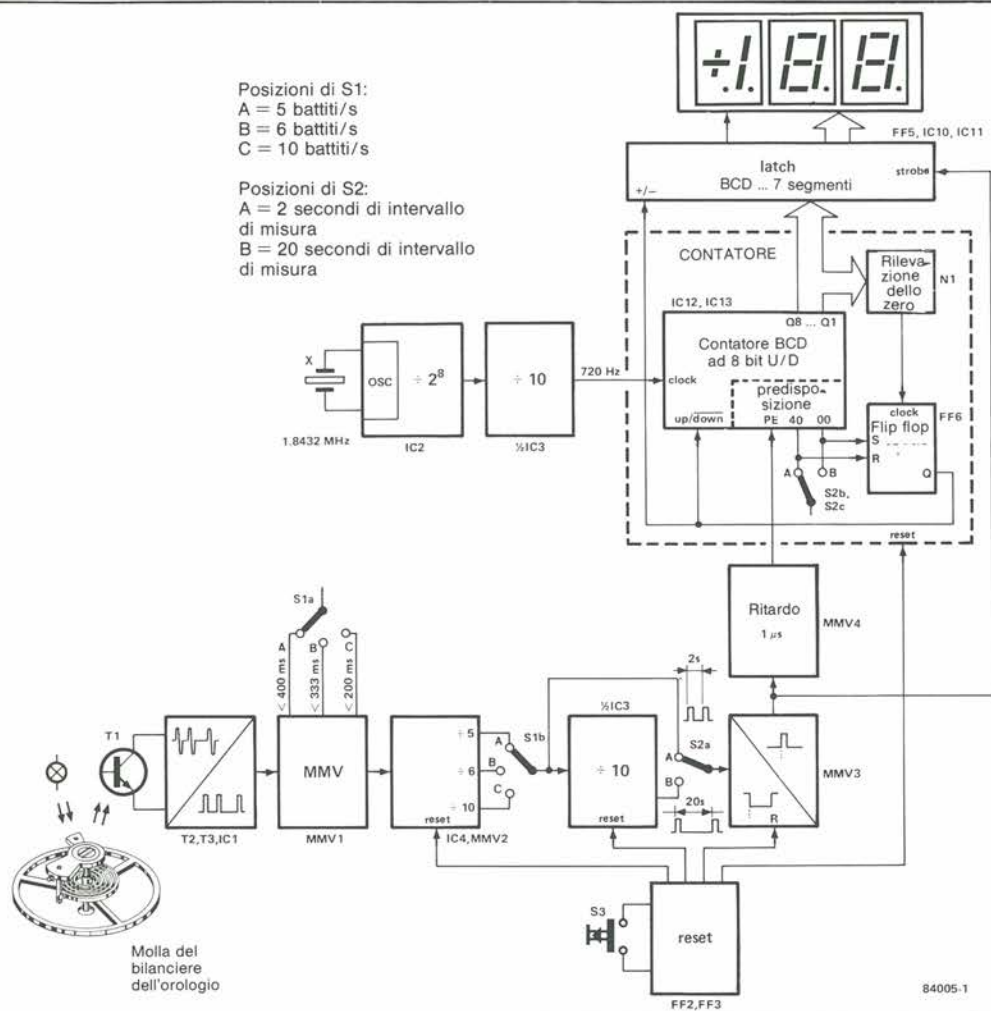
L'uomo ha sempre tentato di misurare, in un modo o nell'altro, il tempo che passa. Le meridiane, le clessidre ad acqua ed a sabbia, le lampade ad olio, le candele, sono solo alcuni esempi di sistemi usati, attraverso i secoli, per misurare il tempo. Poi vennero gli orologi a molla e bilanciere, oppure a pendolo. Nessuno sa con precisione quando fu prodotto il primo orologio di questo tipo, ma la sua comparsa risale almeno al quattordicesimo secolo. Da allora, gli orologi meccanici sono stati costantemente migliorati e raffinati.

Gli orologi da tasca sono stati costruiti sin dalla fine del quindicesimo secolo, ma ci volle ancora un lungo tempo prima che l'"orologio portatile" fosse perfezionato al punto di poter funzionare con ragionevole precisione. I migliori orologi del diciassettesimo secolo avevano un margine di errore di circa un minuto al giorno: con un orologio da tasca di media qualità, ci si poteva attendere un errore di un quarto d'ora alla settimana.

Sino all'inizio di questo secolo, gli orologi portatili erano normalmente attaccati ad una

catena, e fu solamente intorno all'anno 1900 che a qualcuno venne l'idea di un orologio da polso. Da allora, questo tipo di orologio si sviluppò molto rapidamente. Nel 1924 fece la sua apparizione l'orologio da polso automatico e, dopo la seconda guerra mondiale, quello "elettrico". Nel 1957 apparve sul mercato un orologio che usava un sistema elettromagnetico per comandare il bilanciere. Quattro anni più tardi, la ditta Bulova realizzò un'idea molto più interessante: sostituì cioè al bilanciere un diapason comandato elettronicamente. Questo orologio a diapason era garantito preciso entro i limiti di un minuto all'anno.

Il moderno orologio da polso costituisce, almeno per il momento, un punto di arrivo ed impiega un quarzo per generare la base dei tempi. La precisione di un progetto di questo genere è tale che l'errore annuo è trascurabile. Un orologio meccanico esercita comunque un fascino molto maggiore del suo "freddo" duplicato al quarzo. E' un omaggio all'abilità dell'artigiano che lo ha costruito, e già questo è un importante vantaggio a suo favore. Gli



5-17  
quant'è preciso  
il vostro orologio?  
elektor maggio 1984

orologi a movimento meccanico hanno un innegabile vantaggio: non hanno batterie che si possono scaricare nel momento più inatteso ed inopportuno.

Sono attualmente in circolazione ancora moltissimi orologi meccanici e parecchie ditte vendono normalmente questi orologi, che fanno parte del settore di mercato riservato agli oggetti più costosi. A quanto pare, gli orologi che fanno "tic-tac" rimangono sempre di moda. La regolazione di un orologio a movimento meccanico è un procedimento molto lungo, perché la variazione della lunghezza effettiva della molla del bilanciere non produce un cambiamento immediatamente evidente. Un buon orologiaio dispone certamente di una costosa apparecchiatura che permette di misurare l'errore in modo rapido e preciso, ma chi altro potrebbe permettersi il lusso di possederne una? Con il "prova-orologi" presentato in questo articolo, chiunque può regolare rapidamente e con precisione quasi tutti i tipi di orologi con meccanismo a bilanciere.

## Schema a blocchi

Il circuito impiega un rilevatore ottico. Sarebbe anche possibile usare un rilevatore acustico, ma in pratica questo tipo ci è sembrato più sensibile agli inconvenienti causati dal rumore ambiente. Con il rilevatore ottico possiamo invece utilizzare una piccola lampadina per proiettare luce sui raggi della ruota del bilanciere, mentre la luce riflessa viene raccolta da un fototransistore. Gli impulsi emessi dal fototransistore vengono elaborati e

messi a confronto con una frequenza campione; l'errore viene poi visualizzato su un display. Lo schema a blocchi di Figura 1 è un po' più complicato rispetto ai nostri soliti schemi, ma questo permette di comprendere più facilmente il funzionamento. Nel primo blocco, gli impulsi provenienti dal fototransistore vengono convertiti in segnali digitali "veri e propri". Questi impulsi vanno poi ad un multivibratore monostabile. Il tempo di attivazione di questo monostabile può essere regolato a tre diversi valori, mediante il commutatore S1a. Questi valori sono: < 400 ms, < 333 ms e < 200 ms, e questo argomento richiede una breve spiegazione.

Quasi tutti gli orologi a bilanciere hanno una delle seguenti due frequenze di oscillazione standard: 18000 battiti all'ora (cioè 5 al

Figura 1. Schema a blocchi del circuito. Gli impulsi rilevati dal bilanciere dell'orologio, possono essere convertiti in un segnale di misura con un tempo di 2 o 20 secondi. Il segnale viene confrontato con un tempo di riferimento, e l'errore viene visualizzato su un display.





per due battiti. Per 5 battiti al secondo, il tempo del monostabile deve essere adeguato all'intervallo di  $2 \times 200 = 400$  ms. Per 6 battiti al secondo, questo tempo diminuisce a 333 ms ed a 200 ms per 10 battiti al secondo.

Il multivibratore monostabile è seguito da un divisore che, a seconda della posizione di S1, divide per 5, per 6 o per 10. Appare ora al cursore di S1b (supponendo che S1 sia nella posizione adatta per l'orologio in prova) un segnale con periodo di 2 secondi. Se il periodo non fosse di due secondi, significherebbe che l'orologio non va a tempo. Un periodo inferiore ai 2 secondi indica che l'orologio avanza; se invece il periodo è superiore ai due secondi, l'orologio va indietro.

Questo segnale perviene poi al commutatore S2a, che permette di selezionare un segnale di 2 secondi od uno dieci volte più lungo. Il segnale da 20 secondi "contiene" un maggior numero di battiti e si presta perciò meglio del periodo più breve per misurare l'errore di cui è affetto un orologio. Il segnale selezionato con S2a perviene poi ad MMV3 ed MMV4, che pilotano il contatore ed il latch. Il latch, con un decodificatore a sette segmenti, è pilotato da un impulso fornito da MMV3, mentre MMV4 predispone il contatore dopo che il risultato del conteggio è stato immagazzinato nel latch (e visualizzato sul display).

Ed infine, eccoci al contatore. Poiché vogliamo che il display visualizzi l'errore in minuti al giorno, il contatore deve essere un po' speciale: deve cioè essere in grado di contare positivamente e negativamente, dato che l'errore può essere in entrambe le direzioni. La frequenza di clock del contatore deve essere accuratamente scelta, per poter ottenere una lettura in minuti/giorno. Il contatore deve inoltre poter essere preposizionato, in modo che la sua uscita sia esattamente zero se l'orologio è preciso. Per poter ottenere questi risultati, viene impiegato un contatore avanti/indietro ad 8 bit codificati in BCD. Veniamo ora alla frequenza di clock: in un giorno ci sono 1440 minuti (tranne il lunedì, che ne ha almeno due volte tanti...). Se viene usato un intervallo di misura di due secondi, il contatore deve ricevere, in questi due secondi, 1440 impulsi di clock. L'errore misurato dal contatore, in

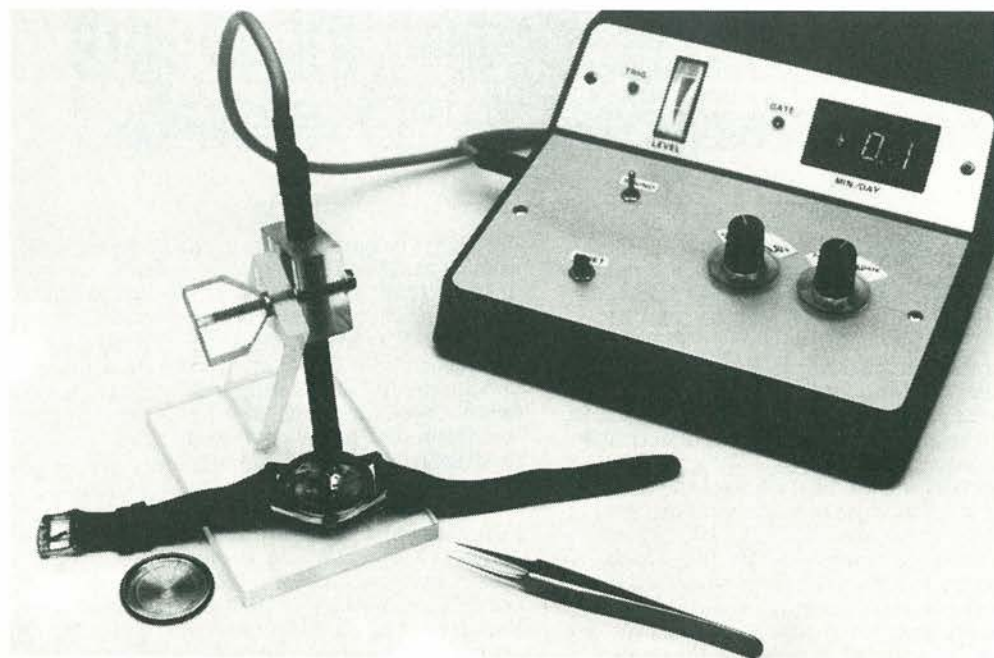
rapporto a questi 1440 impulsi, diviene perciò l'errore in minuti al giorno. Usando l'intervallo di 20 secondi, il contatore deve contare 14400 impulsi di clock. Ciò significa che la frequenza di clock per il contatore deve essere  $1440/2$  (o  $14400/20$ ), cioè 720 Hz. Questa frequenza di riferimento viene generata mediante un quarzo ed alcuni divisori.

Con un intervallo di misura di 2 secondi, il valore predisposto sul contatore dovrà essere -1440, in modo che il contatore pervenga esattamente allo zero quando l'orologio è giusto. In realtà, il contatore può contare solo da -99 a +99, per cui è impossibile predisporre un valore di -1440. Poiché il display ha solo due cifre, fissiamo il valore predisposto a -40 (le ultime due cifre di -1440). Il contatore sarà perciò azzerato dopo due secondi. Questo "trucchetto" funziona bene in questo caso, perché un normale orologio non potrà mai avere un errore maggiore di 99 minuti al giorno. Il contatore parte con il conteggio da -40, per arrivare a zero, poi arriva da 0 a 99 e poi sei volte da -99 a +99 ed infine, da -99 a 0: il totale è 1440. Osservare che c'è un ritardo di un ciclo di clock ogni volta che i contatori attraversano lo zero, nel "salto" da +99 a -99. Senza tener conto di questo fatto, la nostra aritmetica risulterebbe inesatta. Se, come tempo di misura, viene usato quello di 20 secondi, il contatore viene predeterminato a zero (le ultime due cifre di 14.400).

In pratica, il contatore non può, di per se stesso determinare se il suo conteggio è positivo o negativo, cosicché il segno + o - viene memorizzato da un flip flop, che commuta in uno o l'altro dei suoi stati stabili ogni volta che il contatore è azzerato, ed attiva il segno  $\pm$  nel display. C'è infine un circuito di reset, per mezzo del quale tutti i contatori possono essere azzerati con la semplice pressione su un pulsante. Il circuito è allora pronto ad iniziare una nuova misura.

### Disposizione pratica

Poiché ci siamo soffermati parecchio sulla descrizione dello schema a blocchi, resta in realtà poco da dire nei riguardi dello schema di Figura 2. Lo schema a blocchi semplifica le cose, perché definisce quali sono i componenti



### Elenco dei componenti

#### Resistenze:

R1 = 120 Ω ½ W\*\*  
 R2,R3\*;R10 = 2M2  
 R4,R14,R16,R21,R27,  
 R28,R44 = 1 k  
 R5,R17 = 1M2  
 R6,R12,R25,R26 = 56 k  
 R7 = 100 Ω  
 R8,R19,R22 = 10 k  
 R9 = 1 M  
 R11 = 47 k  
 R13,R15 = 10 M  
 R18,R20,R23,R24 = 100 k  
 R29 = 680 Ω  
 R30...R43 = 820 Ω  
 P1 = 1 M trimmer

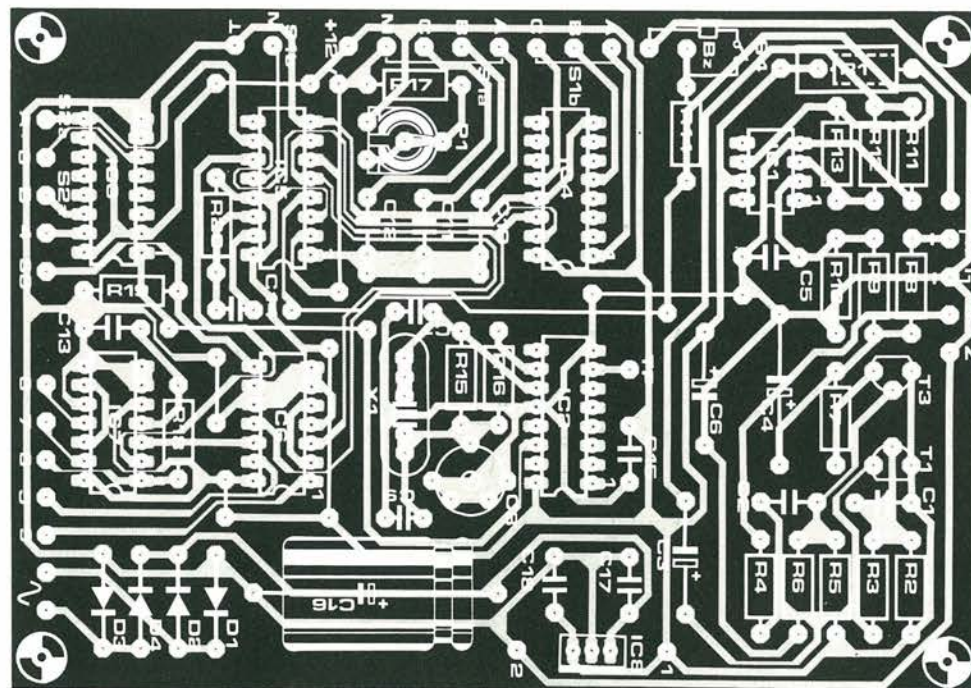
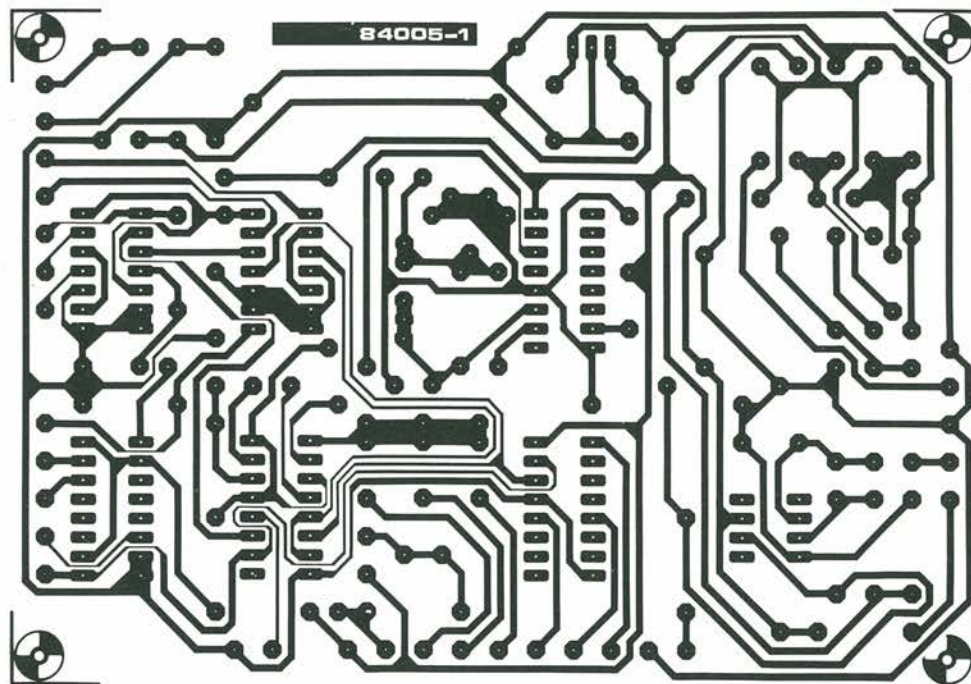
#### Condensatori:

C1,C15,C18,C23 = 100 n  
 C2,C17 = 220n  
 C3,C6,C22 = 10 μ/16 V  
 C4 = 100 μ/16 V  
 C5,C10 = 680 n  
 C7,C14,C20,C21 = 10 p  
 C8 = 4...40 p compensatore  
 C9 = 56 p  
 C11 = 560 n  
 C12 = 330 n  
 C13 = 1 n  
 C16 = 1000 μ/25 V  
 C19 = 100 p  
 C24 = 560 p

#### Semiconduttori:

D1...D4 = 1N4001  
 D5,D6 = LED  
 LD1 = Display universale 7756  
 con overflow ±1  
 LD2,LD3 = 7760 common  
 Display a sette segmenti  
 con catodo comune  
 T1 = BS 250, BC 516\*  
 T2 = TIL 81\*\*  
 T3 = BC 549C  
 T4 = BC 547  
 IC1 = 3140  
 IC2 = 4060  
 IC3 = 4518  
 IC4 = 4017  
 IC5,IC9 = 4098  
 IC6,IC7,IC15 = 4013  
 IC8 = 7812  
 IC10,IC11 = 4511  
 IC12,IC13 = 4510  
 IC14 = 4078

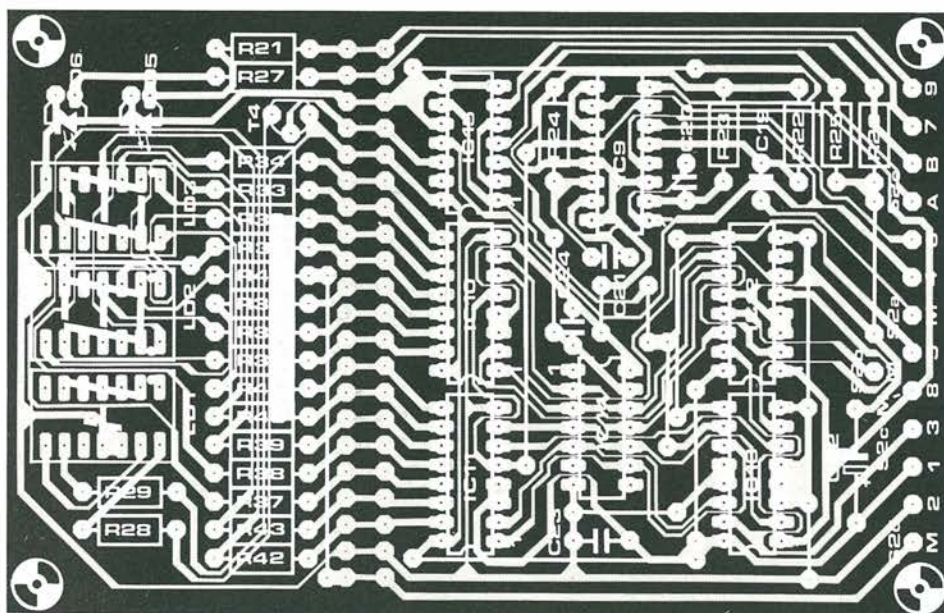
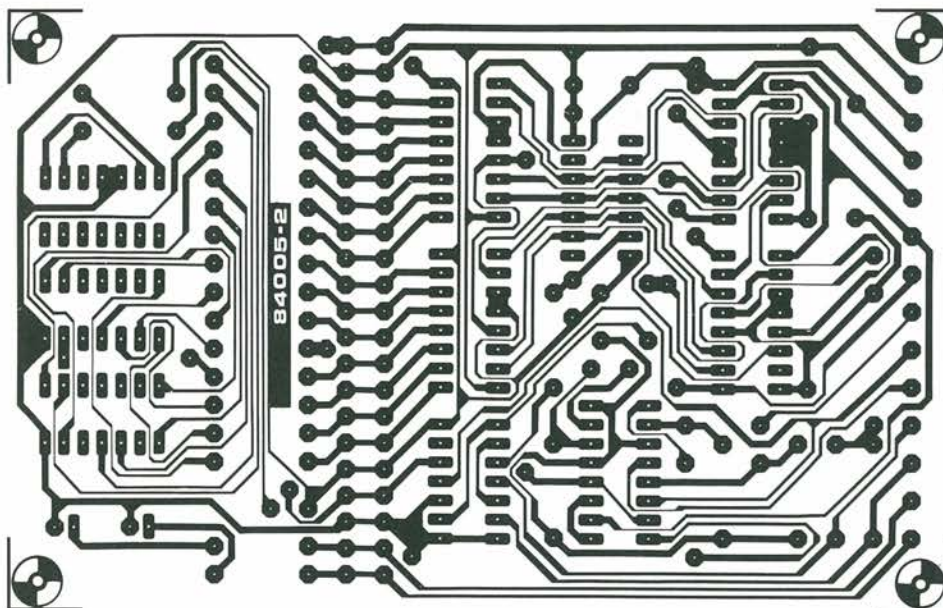
3



**Figura 3. Circuito stampato della sezione di misura dello strumento.**

che devono comporre ciascun blocco. Cominciamo con il considerare separatamente il circuito d'ingresso. La regolazione del livello c.c. del fototransistore T2 è compito del FET T1. Per le basse frequenze e la c.c., T1 funziona da generatore di tensione: la sua tensione di drain viene poi fatta ritornare al gate, tramite R2. Il filtro passa-basso composto da R3 e C1 fa sì che T1 funzioni come generatore di corrente alle frequenze più alte. Lente variazioni della luce rilevata (per esempio, a causa delle condizioni ambientali) vengono perciò compensate dal FET, mentre cambiamenti repentini della luce provocano un'ampia variazione di tensione sul collettore del fototransistore. E' proprio di questo che abbiamo bisogno, per rivelare il movimento dei raggi del bilanciare. Per mezzo di C2, queste

variazioni vengono trasmesse a T3, dove gli impulsi vengono rettificati. La tensione ai capi di C4 è uguale al valore massimo degli impulsi. Questa tensione, tramite il partitore R9/R10, giunge ad IC1, dove funziona in modo da predisporre il livello di attivazione del trigger di Schmitt. All'altro ingresso del trigger di Schmitt sono applicate, tramite C3, le variazioni di tensione provenienti dal fototransistore. Questa disposizione consente al circuito di adattarsi all'intensità del segnale d'ingresso. Se un fototransistore fornisce un forte segnale d'ingresso, la soglia di attivazione diviene più elevata. L'intensità del segnale d'ingresso viene indicata dallo strumento collegato in parallelo a C4. Se viene chiuso l'interruttore S4, il cicalino emette il segnale acustico provocato dal segnale di uscita di IC1.



Un LED (D5), collegato all'uscita Q di FF1, lampeggia in sincronismo con il ticchettio dell'orologio. Il tempo di misurazione viene indicato per mezzo del LED D6 collegato all'uscita di FF4.

L'alimentazione per l'intero circuito è fornita da un unico regolatore integrato tipo 7812. La corrente assorbita è di circa 250 mA.

### Costruzione del circuito

Il circuito è suddiviso in due circuiti stampati, che sono mostrati nelle Figure 3 e 4. La sezione "misurazione" è montata sulla scheda di Figura 3, che contiene tutti i componenti mostrati nella parte sinistra dello schema elettrico, fatta eccezione per R21 e D5. La seconda scheda consiste di due sezioni che, volendo, possono essere separate: si tratta

della sezione "contatore" e "visualizzazione" (la metà destra dello schema elettrico, ad eccezione di FF4). I punti numerati sulle due schede devono essere collegati tra loro.

L'alimentazione per il display deve essere prelevata dai punti 1 e 2. Il tentativo di inserire un'alimentazione in qualsiasi altro punto potrebbe dare origine ad inconvenienti.

Può facilmente accadere che alcuni trovino difficoltà a reperire il FET BS 250. In questo caso, T1 può essere sostituito con un BC 516 ma allora R3 dovrà avere il valore di 3M9. Per fortuna, questo transistor potrà essere collegato nel circuito stampato allo stesso modo del FET. Terminato il montaggio della parte elettronica, potremo dedicarci alla costruzione del sensore. Il fototransistore e la lampadina sono montati l'uno accanto all'altra, ma in

5-21  
quant'è preciso  
il vostro orologio?  
elektor maggio 1984

Varie:

Bz = cicalino Toko 2720  
F1 = fusibile ritardato da  
100 mA, con portafusibile  
Dissipatore termico per IC8  
La1 = lampada miniatura  
da 6 V/50 mA \*\*  
M1 = Strumento a bobina  
mobile da 100  $\mu$ A f.s.  
S1 = commutatore 2 vie,  
3 posiz.  
S2 = commutatore 4 vie,  
2 posizioni  
S3 = pulsante  
S4 = deviatore a levetta  
unipolare  
S5 = Interruttore di rete, 2 vie  
Tr1 = trasformatore di rete,  
15 V/500 mA  
X1 = quarzo da 1,8432 MHz  
(13 pF)

\* Se T1 è un BC 516, R3 = 3M9  
\*\* Può essere usato il sensore  
a riflessione OPB 730 invece  
della lampadina e del  
fototransistore; in questo caso,  
R1 = 560  $\Omega$ .

Figura 4. Circuito stampato per le sezioni del contatore e del display, che possono essere separate a volontà, in modo da poter montare il display lontano dal contatore.



Un orologio meccanico funziona con una precisione pressoché incredibile, considerando che il bilanciere deve pulsare quasi mezzo milione di volte ogni giorno.

Un cronometro meccanico ha, come massimo, un errore di un minuto al mese. Nel caso di un orologio automatico, questo errore può essere di circa un minuto alla settimana.

Posizioni di S1:  
A = 5 battiti/s  
B = 6 battiti/s  
C = 10 battiti/s

Posizioni di S2:  
A = 2 secondi di intervallo di misura  
B = 20 secondi di intervallo di misura

modo tale che la luce non cada direttamente dal bulbo sul fototransistore. Questo risultato viene facilmente ottenuto disponendo tra i due componenti un pezzetto di carta nera. L'emettitore del transistor può ora essere saldato direttamente alla virola di contatto della lampadina. I collegamenti da saldare al circuito stampato saranno così tre, e saranno effettuati tramite uno spezzone di cavetto stereo schermato. La virola della lampadina (che può essere del tipo miniatura) deve essere collegata alla calza di schermo. Il tutto può essere infilato poi nel fusto di un grosso pennarello. E' possibile costruire un supporto per tenere ferma questa "penna" durante una misurazione. Le foto contenute in questo articolo, e quella di frontespizio, fanno vedere come è stato costruito il nostro prototipo. Una variante più interessante (ma anche più dispendiosa) consiste nell'impiegare un sensore a riflessione, come l'OPB 730, che contiene un LED ed un fotodarlington. In questo caso, il sensore dovrà essere ben schermato dalla luce ambiente, ed il valore della resistenza R1 dovrà essere aumentato a 560 Ω.

## Taratura ed impiego pratico

La messa a punto è molto facile. La frequenza del quarzo può essere fissata all'esatto valore necessario, mediante il trimmer capacitivo C8. Per eseguire questa messa a punto, è necessario un frequenzimetro, che abbia un errore massimo di 0,005%. Al punto di prova TP deve essere misurata una frequenza di 115.200 Hz. Se non potete disporre di un buon frequenzimetro, regolate semplicemente C8 nella posizione centrale. Nella maggior parte dei casi, la frequenza sarà allora ragionevolmente precisa. In seguito, bisogna tarare MMV1, meglio se mediante un oscilloscopio. Il potenziometro P1 viene regolato in modo che il tempo del monostabile sia di 360...380 ms, con S1a in posizione A. Se non possedete un oscilloscopio, questo monostabile può anche essere tarato con l'aiuto di un orologio che sia sicuramente esatto. Mettete l'orologio sotto al sensore e

girate quest'ultimo sinché lo strumento mostri un segnale forte ed il cicalino emetta regolari battiti. Ruotate il trimmer al massimo, portate il commutatore S2 in posizione A (tempo di misura 2 secondi) e tarate il trimmer ruotandolo a poco a poco all'indietro. Dopo ciascuna regolazione, attendere fino a che sia trascorso il tempo di misura, ed osservare cosa appare sul display. Ad un certo punto, verrà visualizzato un errore di circa zero minuti. Ruotare il trimmer ancora di un piccolo angolo e poi lasciarlo fermo in quel punto. Non saranno certamente superflue alcune parole che spieghino come utilizzare questo circuito. Per prima cosa, dobbiamo conoscere la frequenza di oscillazione del bilanciere usato nell'orologio in prova. Gli orologi da uomo vecchio stile hanno in generale 5 battiti al secondo, mentre i moderni orologi da uomo e da donna, ne hanno di solito 6. Con un po' di pratica, sarà possibile capire qual'è la frequenza ascoltando il ticchettio dell'orologio. Posate l'orologio sotto al sensore e puntate il fototransistore verso i raggi del bilanciere. Muovete l'orologio con precauzione, sino a che la lettura sullo strumento divenga la massima possibile. Con S4 chiuso, dovrà essere possibile sentire gli impulsi del fototransistore riprodotti dal cicalino, in forma di regolare ticchettio. Se il suono rassomigliasse piuttosto al rumore di una sega, significherebbe che il sensore è diretto verso le viti di regolazione: sarà sufficiente spostarlo leggermente.

Il LED di conteggio D5 (COUNT) dovrà lampeggiare con regolarità, per indicare che il circuito sta ricevendo gli impulsi. Dovrà essere scelta, con S1, l'esatta frequenza dei battiti (5, 6 o 10 al secondo). Scegliere, con S2, il tempo di misura di due secondi. Premere il pulsante RESET e, dopo due secondi, "cambierà stato" il LED D6 (GATE TIME). Ciò che intendiamo, è che il LED si accenderà se era spento e si spegnerà se era acceso. Il display indica ora l'errore in minuti al giorno. Ogni volta che D6 cambia stato, vuol dire che è stato portato a termine un ciclo di misura, ed il risultato è visualizzato sul display.

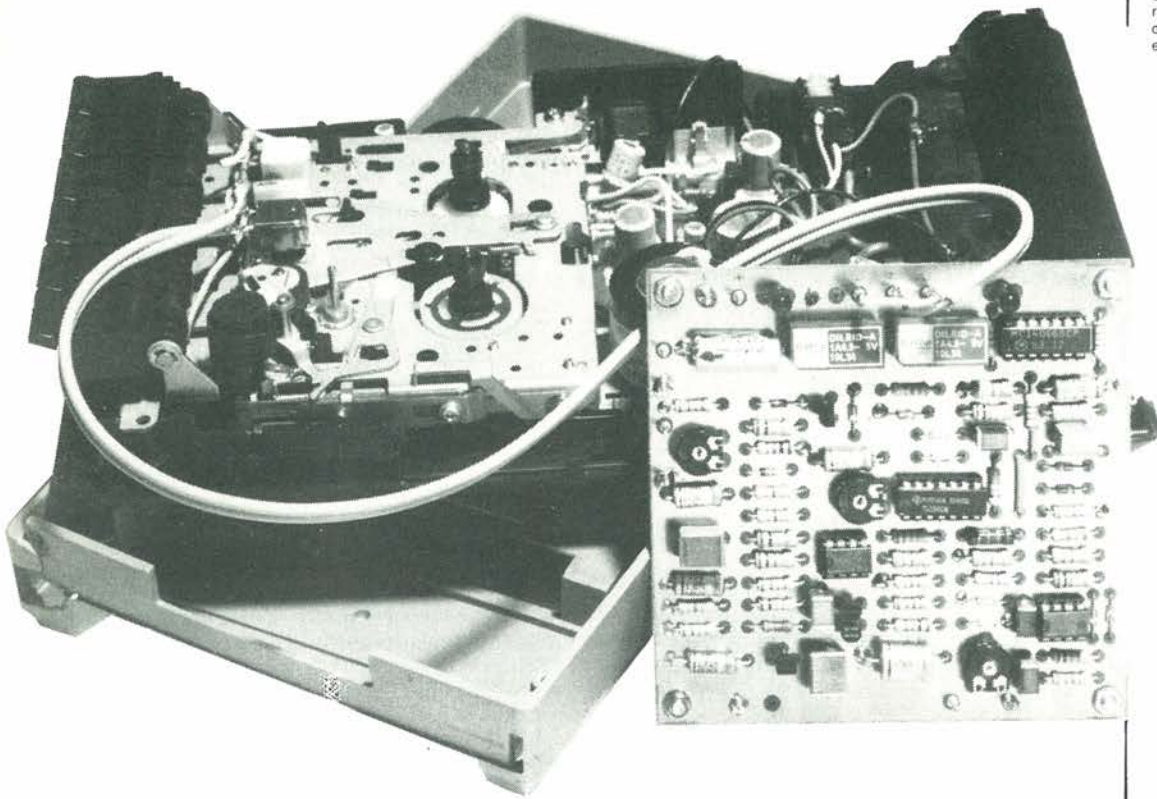
Se l'errore dell'orologio è minore di dieci minuti, S5 potrà essere portato in posizione B (tempo di misura 20 secondi). Premere dapprima nuovamente il pulsante RESET e, dopo venti secondi, il LED D3 cambierà stato, e l'errore verrà visualizzato sul display in decimi di minuto.

Nel caso di un orologio da tasca, il fototransistore può anche essere puntato sulle viti del bilanciere, e con questo accorgimento è possibile ottenere di solito buoni risultati. In questo caso, è però importante ridurre al minimo possibile il livello della luce ambiente. In particolare, possono causare inconvenienti le lampade ad incandescenza ed i tubi fluorescenti.

Potrebbe essere inserito nel circuito anche un contatore di periodi, in luogo del contatore e del visualizzatore, che deve essere semplicemente collegato al cursore del commutatore S2a. E' comunque possibile anche eliminare IC2, IC7, X1, C7, C8, C9, C13, R15, R16 ed R18, mentre il punto 4 della scheda di misura ed il piedino 1 di IC3 dovranno essere collegati a massa. La lettura sullo strumento non sarà più, naturalmente, in minuti al giorno. Sarà semplice convertire il valore indicato in minuti al giorno, applicando la formula:

$$60 \times 24 \times (2 - T) / T$$

dove T è il periodo misurato in secondi. Se T è di 1,986 secondi, l'errore dell'orologio è pari a:  $60 \times 24 \times (2 - 1,986) / 1,986 = +10$  minuti al giorno.



# registratore a cassette digitale

**Le registrazioni su cassetta sono ancora la più comune forma di memoria di massa per home computer, perché si tratta del più economico metodo attualmente disponibile. Per sfortuna, non si tratta però del sistema più affidabile, perché un registratore a cassette è stato, dopo tutto, progettato per elaborare segnali audio e non digitali. Il circuito presentato in questo articolo converte un normale registratore a cassette in un registratore digitale, con una capacità di trasferimento dati molto aumentata, senza che vada perduta la possibilità di elaborare segnali audio.**

La maggior parte dei home computer ha un'interfaccia per registratore a cassette che di solito si attiene ad una semplice regola: tanto più semplice ed a buon mercato è il computer, tanto peggiore è il trasferimento dei dati al registratore. Di questo ci si accorge, naturalmente, solo quando si tratta di "leggere" un programma appena caricato, e si constata che il risultato non corrisponde affatto a quanto ci attendevamo. Quale il motivo? E' possibile fare qualcosa per rimediare?

Nella maggioranza dei computer, viene inviato all'interfaccia un segnale che non è in pratica appropriato per un registratore audio a cassette. L'ampiezza del segnale viene in genere limitata per evitare di sovraccaricare il registratore; contemporaneamente, in base ai consigli del produttore del computer, viene scelta una velocità di trasferimento che sia "sicura". In altre parole, il computer viene adattato al registratore a cassette, senza preoccuparsi troppo del fatto che il registratore era stato progettato per un uso diverso. Noi abbiamo affrontato il problema dal punto di vista opposto, facendo cioè corrispondere il registratore alle esigenze del computer. Dovranno essere aggiunti un amplificatore di "lettura" (riproduzione) ed un amplificatore di "scrittura" (registrazione), per migliorare il

trasferimento dei dati ad un punto tale che sarà possibile impiegare una velocità di trasmissione di 4800 baud. Se pensiamo che la velocità baud, nella maggior parte dei home computer (se non in tutti), non può superare un numero di tre cifre, potrete immediatamente rendervi conto del considerevole miglioramento che viene reso possibile dal nostro circuito.

## Registrazione analogica e digitale

La registrazione (analogica) dei segnali audio su un nastro magnetico ha bisogno di circuiti speciali, atti a garantire che il segnale riprodotto sia una copia fedele dell'originale. Dopo tutto, il Dolby ed il DBX non sono nati per caso! Una delle più importanti considerazioni di progetto è, per esempio, quella di evitare la saturazione del nastro magnetico (poiché la saturazione provocherebbe distorsioni). Un impulso ad onda quadra, come quello generato dalla maggior parte dei computer, è composto da un gran numero di tensioni sinusoidali. Dato che l'amplificatore di registrazione/riproduzione di un registratore è costruito in modo da dare il massimo rendimento in presenza di segnali audio, esso eliminerà una parte dei componenti di un impulso di questo genere. Di conseguenza,

...garantisce  
che i vostri bit  
restino fissati  
al nastro

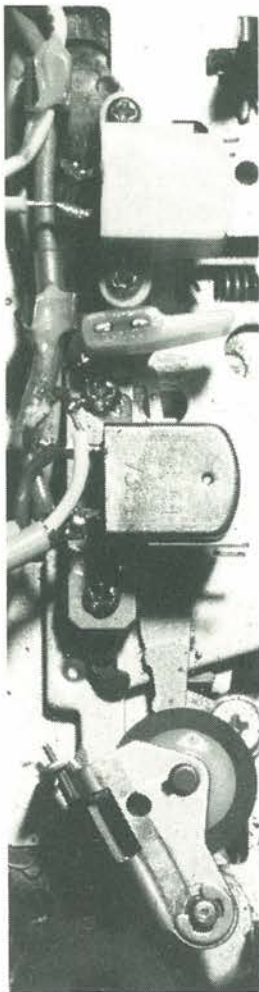


Figura 1. La sola modifica da apportare al registratore riguarda il cavetto di collegamento alla testina. L'amplificatore esistente rimane intatto, e può essere usato per il funzionamento audio.

quello che viene registrato non è più un segnale ad onda quadra. Un ulteriore deterioramento del segnale avviene durante la riproduzione: c'è il rumore del nastro, eccetera. La conseguenza di tutto ciò è che il trigger di Schmitt, che normalmente si trova negli stadi di ingresso di un'interfaccia per cassette, non è alimentato con un solo impulso ben formato, ma con parecchi impulsi distorti.

L'elaborazione del segnale in un registratore digitale è molto più semplificata: il nastro magnetico viene pilotato in saturazione. Senza dubbio, questo è il miglior sistema per registrare dati sul nastro, soprattutto se quest'ultimo è magnetizzato positivamente durante i segnali a livello logico "alto" e negativamente durante quelli a livello "basso". Prima di iniziare l'analisi dello schema elettrico, daremo un'assicurazione riguardante il registratore a cassette: è necessaria una sola modifica. Il cavo schermato che va alla testina del nastro deve essere tagliato e tra le due estremità così ottenute dovrà essere inserito l'amplificatore digitale di lettura/scrittura, come mostrato nella Figura 2. L'amplificatore di registrazione/riproduzione audio non viene modificato, e perciò il registratore rimane perfettamente adatto al normale funzionamento audio.

### Schema elettrico

L'amplificatore di lettura/scrittura (registrazione/riproduzione) è formato da due unità funzionali, separate dall'unità di commutazione (vedi Figura 1). L'amplificatore di lettura è costruito in due parti, che spiegheremo meglio durante la descrizione del circuito. Altri componenti mostrati in Figura 1 sono i LED indicatori di scrittura e lettura.

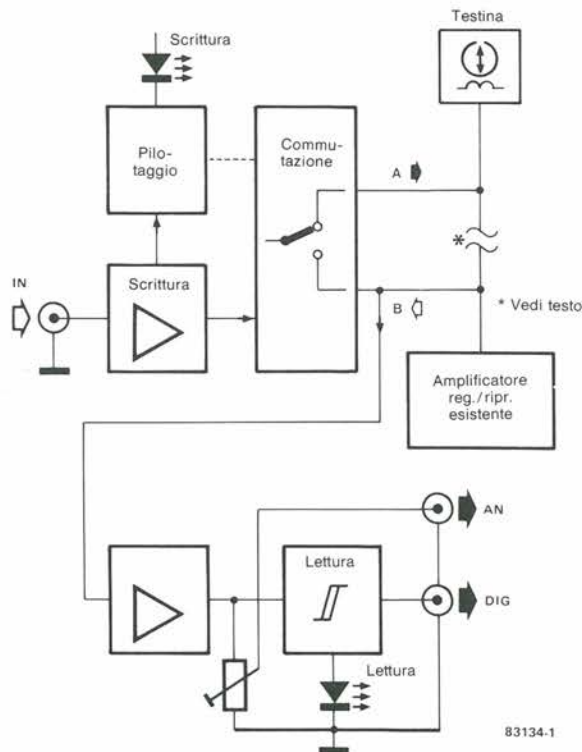
#### Amplificatore di lettura (registrazione)

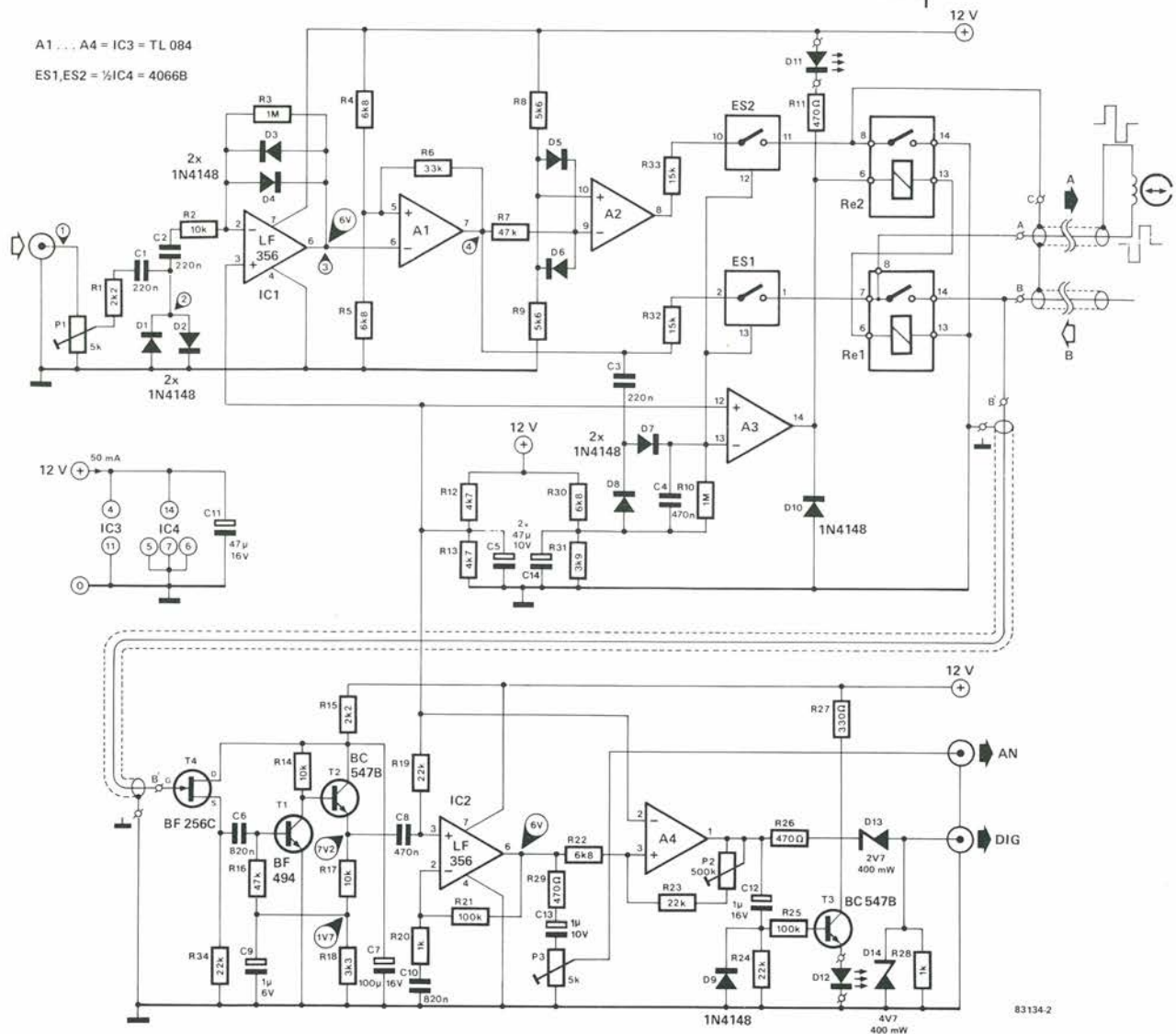
Come spiegheremo nel prossimo paragrafo, intitolato "commutazione", presupponiamo che ES1 ed ES2 (Figura 2) siano chiusi e che i contatti Re1 ed Re2 siano aperti.

Gli impulsi ad onda quadra provenienti dal computer sono applicati ai capi del trimmer P1 e da questo sono inviati all'ingresso invertente dell'amplificatore operazionale IC1, tramite R1 e C1. I diodi D1 e D2 limitano il segnale a  $\pm 0,7$  V. Il guadagno di IC1 è fissato a circa 100, dal partitore di tensione R2/R3. I diodi collegati in antiparallelo D3 e D4, che sono inseriti nel circuito di retroazione, limitano l'ampiezza del segnale d'uscita dell'amplificatore operazionale a  $\pm 0,7$  V. Potrete chiedere: più o meno? anche se la tensione di alimentazione è solo di +12 V? Vero, ma l'ingresso non invertente di IC1 non è collegato al potenziale di massa, ma alla tensione di +6 V, grazie al partitore di tensione R12/R13. Il segnale di uscita di IC1 è perciò sovrapposto al livello di +6 V. Questo accorgimento viene usato anche in altre parti del circuito. La Figura 3 mostra in che modo un segnale d'ingresso sinusoidale (FSK) viene convertito con questo metodo: la frequenza rimane immutata, ma la forma d'onda diventa rettangolare. Potete ben immaginare che se un'onda sinusoidale viene convertita in questo modo, un impulso rettangolare distorto sarà certamente riportato alla sua forma originale. Abbiamo preso, come esempio, un segnale FSK, per dimostrare con maggior chiarezza come funziona il circuito. In generale, il nostro registratore digitale non è collegato ad un computer che abbia un'uscita FSK ma, come mostra questo esempio, non si sa mai...

L'uscita ad onda rettangolare di IC1 viene nuovamente invertita dal trigger A1 ed il suo livello viene aumentato fino al massimo possibile di 12 V<sub>pp</sub> (forma d'onda 4 di Figura 3). Il segnale di uscita di A1 viene suddiviso in più parti: una di queste parti è applicata al terminale "A" della testina del nastro, tramite R32 ed ES1; una seconda parte del segnale viene nuovamente invertita dal trigger A2 e poi applicata al terminale di massa "B" della testina, tramite R33 ed ES2. Il segnale applicato alla testina è perciò formato dalla differenza tra le uscite dei due amplificatori operazionali A1 ed A2: tenete presente che la testina del nastro non è più collegata a massa.

1





Con questo sistema, si evita non solo di montare alcuni condensatori di accoppiamento (che potrebbero distorcere leggermente il segnale) ma, cosa di gran lunga più importante, esso permette di magnetizzare il nastro con segni opposti per i due livelli logici "alto" e "basso".

#### Commutazione

Una terza parte del segnale di uscita di A1 è applicata, tramite C3, al circuito elettronico di commutazione. Questo circuito è formato dagli interruttori elettronici ES1 ed ES2, dai relè Re1 ed Re2, dai diodi D7 e D8, e da alcune resistenze e condensatori.

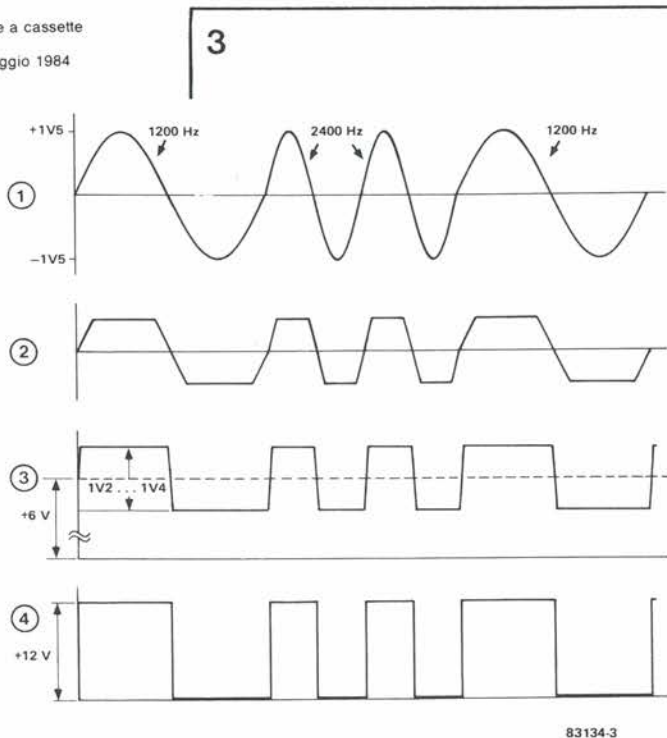
L'ingresso non invertente del comparatore A3 è mantenuto ad un livello di circa +6 V, grazie al partitore di tensione R12/R13. In condizioni di assenza di segnale, l'ingresso invertente si trova ad un livello di circa 4,4 V, per la presenza del partitore di tensione R30/R31. L'uscita di A3 si trova quindi a +12 V ed i relè Re1 ed Re2 sono eccitati. La tensione all'ingresso invertente è anche applicata agli ingressi degli interruttori elettronici ES1 ed ES2, ma non è sufficiente a far chiudere gli interruttori stessi: per ottenere ciò, la tensione dovrà essere prossima a quella di alimentazione. Per riassumere, in condizioni di assenza di segnale, ES1 ed ES2 sono aperti ed i contatti di Re1 ed Re2 sono chiusi. Il circuito è allora predisposto per la "lettura".

Quando arriva un segnale dal computer, l'uscita di A1 viene inviata agli ingressi di controllo di ES1 e di ES2 ed all'ingresso invertente di A3, tramite C3 e D7. L'uscita di A3 va a livello basso, i relè sono diseccitati, ES1 ed ES2 chiudono: il circuito è allora predisposto per la "scrittura". Il condensatore C4 si carica, e continua a farlo finché c'è un segnale che arriva dal computer. Poiché la corrente di ingresso di A3, ES1 ed ES2 è molto bassa, la carica di C4 è sufficiente a mantenere stabile lo stato dei circuiti di commutazione anche durante le pause tra gli impulsi. Quando cessa il segnale proveniente dal computer, C4 si scarica su R10 ed il circuito ritorna nella condizione di "lettura".

#### Amplificatore di lettura (riproduzione)

Durante il funzionamento in "lettura", Re2 collega il terminale di massa della testina alla massa del circuito (0 V). Il segnale ricavato dal nastro è collegato, tramite Re1, al gate del FET T4. Questo amplificatore per segnali deboli è seguito da un secondo amplificatore formato da T1 e T2, e da un terzo, che è IC2. Per garantire che sia disponibile all'uscita di IC2 un segnale di massimo livello, il suo ingresso è "elevato" a circa 6 V, che sono derivati dal partitore di tensione R12/R13. Il guadagno totale di questi tre stadi si aggira sugli 80 dB, la metà dei quali fornita da IC2. Questo guadagno è sufficiente per molti computer e l'uscita di IC2 è di

Figura 2. Il nuovo amplificatore è composto da 3 parti: un amplificatore di registrazione (scrittura) ed uno di riproduzione (lettura), nonché un circuito commutatore che separa i due amplificatori.



83134-3

Figura 3. Le diverse fasi di conversione del segnale sono chiaramente mostrate in questa rappresentazione. Il funzionamento del circuito può essere controllato con l'aiuto di questa figura e di un oscilloscopio.

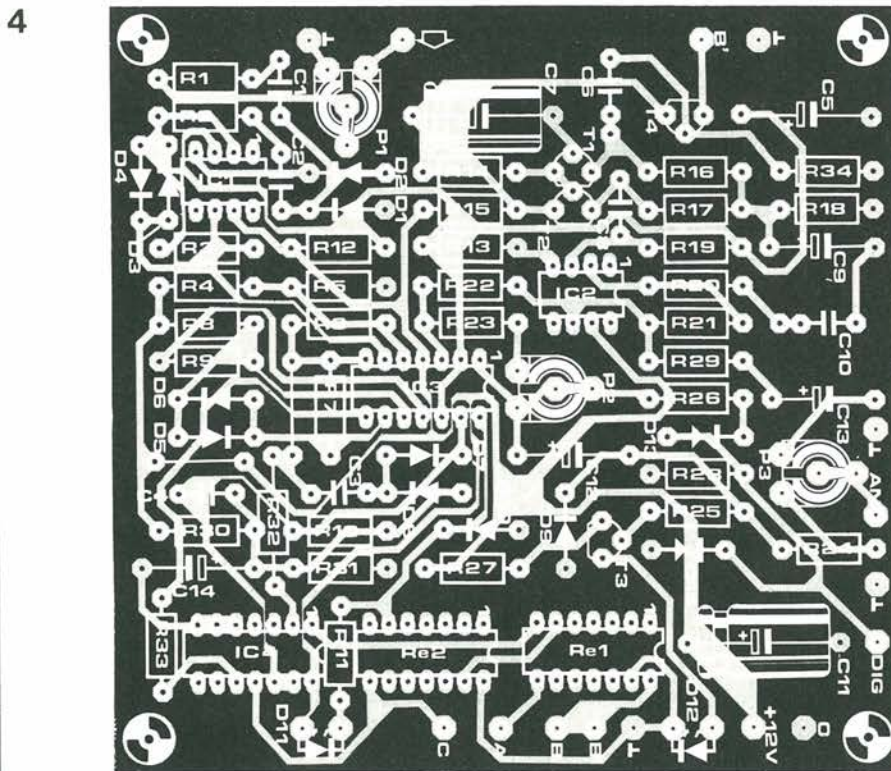


Figura 4. Il circuito stampato è del tipo a doppia faccia incisa, ed il rame del lato componenti forma un piano di massa.

conseguenza disponibile al terminale "AN". Il livello d'uscita può essere adattato alle esigenze di ingresso del computer per mezzo del trimmer P3.

Nei casi in cui sia necessario un maggiore guadagno, è stato previsto un quarto amplificatore (A4). Il guadagno di questo amplificatore può essere regolato, mediante il trimmer P2, tra 17 e 37 dB. Poiché A4 è pilotato in saturazione, il suo segnale di uscita è in pratica identico al segnale 4 della Figura 3. L'uscita viene elevata al livello TTL mediante il partitore di tensione R26/D13/D14, e risulta disponibile al terminale "DIG".

#### Qualche altra raccomandazione

Per non creare confusione, non sono stati finora

circuito. Cominciamo con il LED D11: questo si accende quando l'uscita di A3 è a livello "basso", cioè durante la condizione di "scrittura". Può darsi che il LED continui a lampeggiare debolmente durante la "lettura"; se questo fenomeno vi disturba, l'unica soluzione è di sostituire D11 con un LED più a buon prezzo (che emette una quantità inferiore di luce).

C'è poi il LED D12. Questo diodo si accende mentre il circuito è predisposto alla "lettura". Il condensatore C12 mantiene in conduzione T3, cosicché questo transistor non commuterà in sincronismo con il segnale d'ingresso. La resistenza R25 evita che il circuito indicatore influenzi il segnale di uscita.

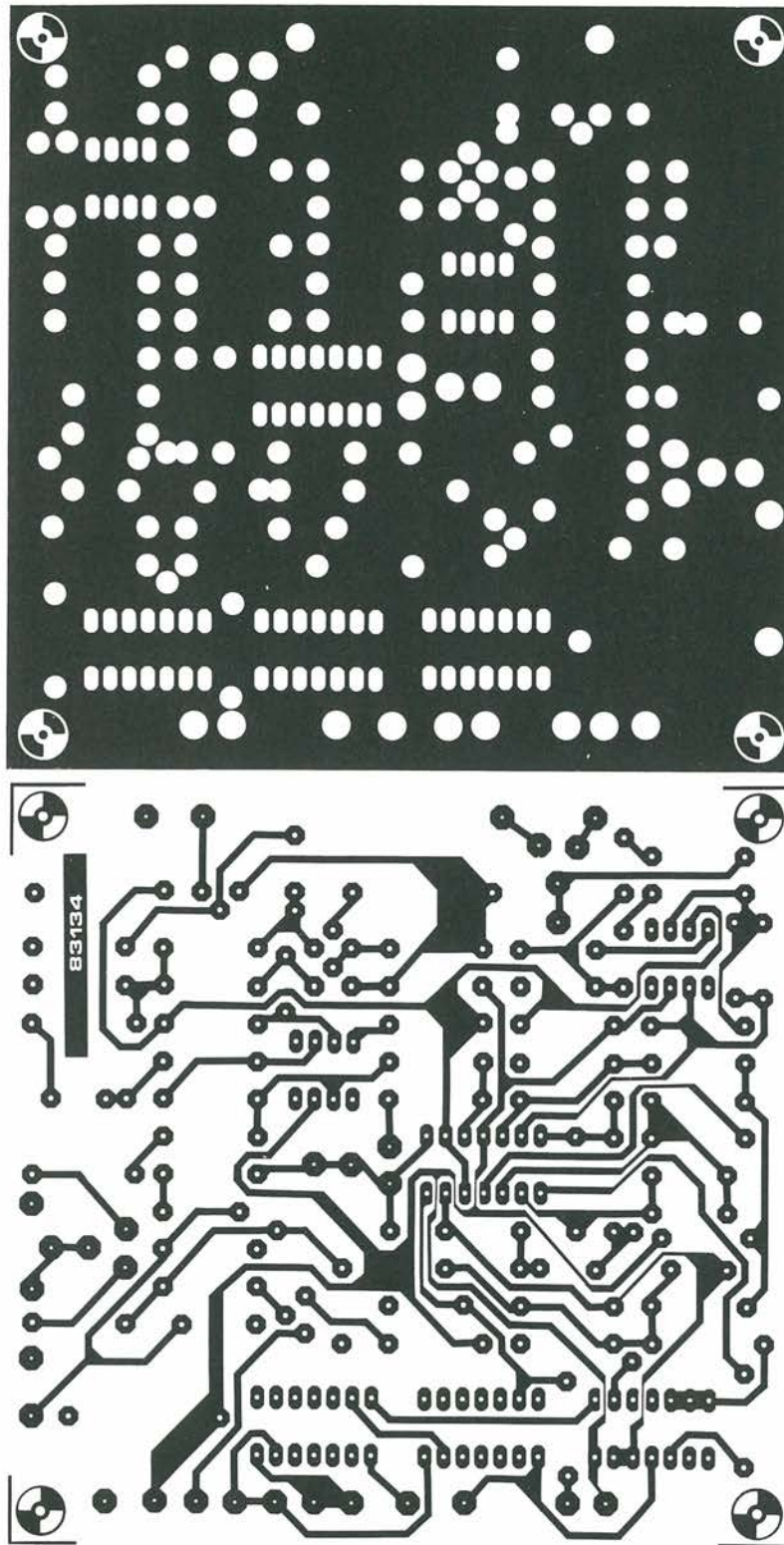
C'è infine il diodo D10: sembra che questo componente sia stato messo in una posizione un po' strana, ma uno sguardo più attento allo schema mostrerà che esso funziona come diodo di protezione per i relè Re1 ed Re2.

#### Costruzione e taratura

Il montaggio sul circuito stampato non dovrebbe presentare difficoltà: la Figura 4 e l'elenco dei componenti forniranno tutte le informazioni necessarie. Un argomento necessita però di essere preso più attentamente

presi in considerazione alcuni aspetti del in considerazione. Per quanto il circuito stampato sia del tipo a doppia faccia incisa, i due punti "B" devono essere collegati tra loro mediante un corto spezzone di cavo schermato. Il motivo è che, durante il funzionamento in "lettura", il segnale proveniente dalla testina ha un livello molto basso (ricordatevi gli 80 dB di guadagno!). Per lo stesso motivo, il collegamento schermato tra il punto "A" e la testina deve essere più corto possibile. A differenza di quanto accade nei circuiti audio, non esiste in questo caso un punto centrale di massa, cosicché i punti di massa di entrambe le estremità del cavo dovranno essere collegati tra loro.

È molto facile mettere a punto questo circuito.



#### Elenco dei componenti

##### Resistenze:

R1,R15 = 2k2  
R2,R14,R17 = 10 k  
R3,R10 = 1 M  
R4,R5,R22,R30 = 6k8  
R6 = 33 k  
R7 = 47 k  
R8,R9 = 5k6  
R11,R26,R29 = 470 k $\Omega$   
R12,R13 = 4k7  
R16 = 47 k or 47k5,  
film metallico 1%  
R18 = 3k3  
R19,R23,R24,R34 = 22 k  
R20,R28 = 1 k  
R21,R25 = 100 k  
R27 = 330 k $\Omega$   
R31 = 3k9  
R32,R33 = 15 k  
P1,P3 = 5 k trimmer  
P2 = 500 k trimmer

##### Condensatori:

C1,C2,C3 = 220 n ceramico  
C4,C8 = 470 n ceramico  
C5,C14 = 47  $\mu$ /10 V  
eletrolitico  
C6,C10 = 820 n ceramico  
C7 = 100  $\mu$ /16 V  
eletrolitico  
C9 = 1  $\mu$ /6 V elettrolitico  
C11 = 47  $\mu$ /16 V  
eletrolitico  
C12,C13 = 1  $\mu$ /10 V  
eletrolitico

##### Semiconduttori:

D1 . . . D10 = 1N4148  
D11,D12 = LED  
D13 = diodo zener 2V7  
400 mW  
D14 = diodo zener 4V7  
400 mW  
T1 = BF 494  
T2,T3 = BC 547B  
T4 = BF 256C  
IC1,IC2 = LF 356  
IC3 = TL 084  
IC4 = 4066B

##### Varie:

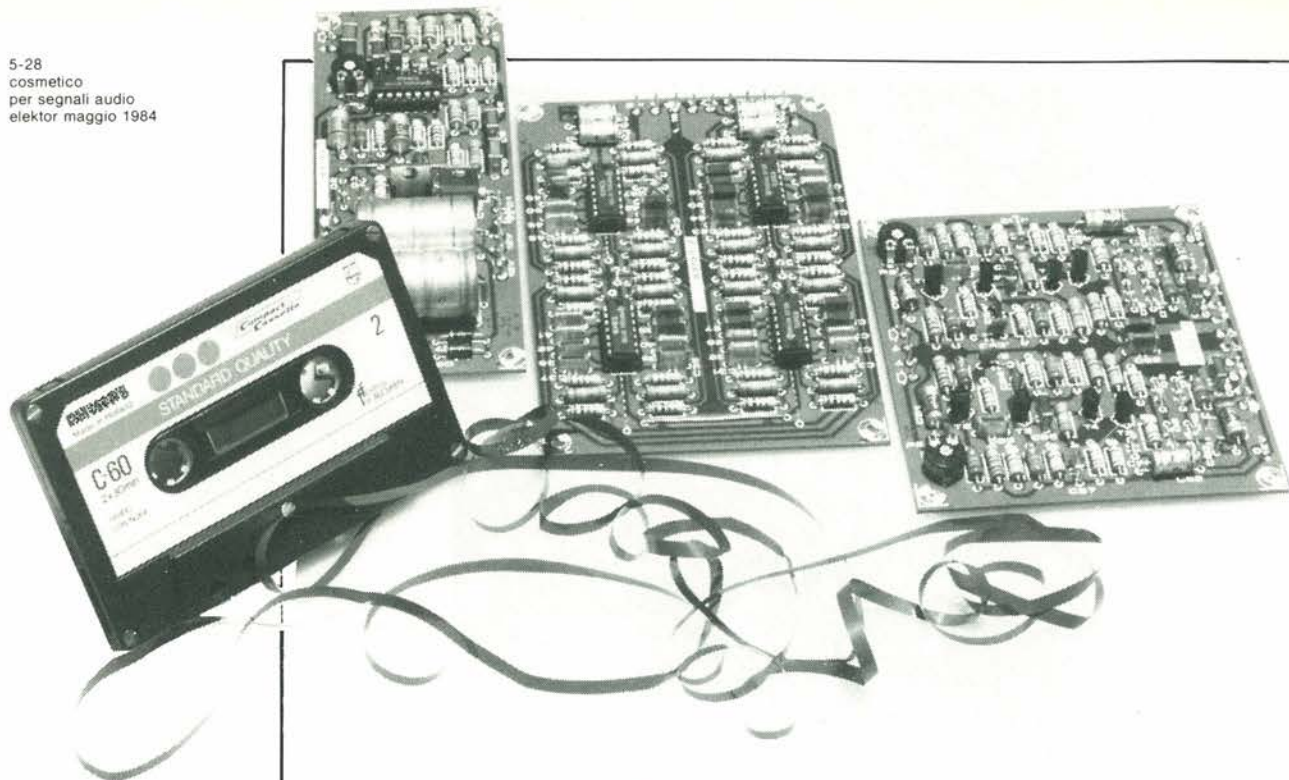
Re1, Re2 = relè DIL,  
per esempio ERNI 10 L34  
(4,5...5,0 V/1 A)  
Circuito stampato 83134

Le giuste posizioni di P1...P3 dipendono dal tipo di computer e dalla velocità baud. Se partite dalla posizione centrale del cursore di questi trimmer, ed avete deciso che vanno bene i livelli c.c. mostrati nello schema elettrico (in condizione di assenza di segnale), le giuste posizioni dovrebbero risultare immediatamente evidenti.

Consiglio finale: caricate una sezione di memoria del nastro non troppo piccola con un valore esadecimale fisso e programmate un ciclo ripetitivo. È allora possibile, con l'aiuto di un oscilloscopio, verificare come avviene la conversione del segnale (facendo riferimento alla Figura 3), in corrispondenza ai diversi

punti di prova. Durante l'operazione di "scrittura", fate semplicemente scorrere il nastro caricato con il valore esadecimale fisso. Durante il funzionamento in "scrittura", non dovrà essere, naturalmente, premuto il pulsante di "registrazione", per cancellare tutto il materiale precedentemente registrato, perché il segnale attualmente applicato alla testina è notevolmente più forte rispetto alla precedente registrazione.

La corrente assorbita da questo circuito è di circa 50 mA, e di conseguenza potrà essere benissimo prelevata dall'alimentatore del registratore.



# cosmetico per segnali audio

Da un'idea  
di J.F. Brangé

**Spesso è inevitabile dover collegare un elemento di un'apparecchiatura mono, che abbia prestazioni non completamente classificabili nel rango hi-fi, ad una moderna installazione stereo. Per quanto questa possa essere in grado di migliorare un poco la qualità finale del suono, la riproduzione resta sempre monoaurale (mono), con livelli di ronzio e di rumore inaccettabili secondo gli standard attuali. Abbiamo progettato un circuito che, essendo in grado di sopprimere il ronzio, di simulare l'effetto stereo e di limitare il rumore dinamico (DNL = Dinamic Noise Limiter), permette di migliorare molto il risultato finale. L'effetto stereo è ottenuto grazie alla suddivisione dello spettro audio in sedici bande di frequenza parziali, che vengono inviate alternativamente ai canali destro e sinistro.**

Sin da quando sono comparse le prime apparecchiature audio hi-fi, e dal momento dell'introduzione dello stereo, il nostro senso dell'udito è stato posto in una condizione di dipendenza fisica. Attualmente, quando ascoltiamo una normale musica monofonica, ci accorgiamo subito che c'è qualcosa che manca. Se poi al suono si aggiungono ronzio e rumori, questa sensazione si trasforma ben presto in delusione o persino in fastidio. Tuttavia, a volte non è proprio possibile evitare di ricorrere ad una sorgente sonora di scarsa qualità, sia pure per il semplice motivo che non vogliamo gettare via apparecchiature ancora

funzionanti. Potrebbe trattarsi, per esempio, di semplici registratori a cassetta, ricevitori AM, proiettori di film sonori, apparecchi TV o videoregistratori. Gli ultimi tre tipi di apparecchi sono particolarmente soggetti ad una certa trascuratezza da parte dei progettisti audio. Mentre viene molto curata la qualità dell'immagine (anche se a buon diritto), spesso la qualità del suono è disastrosa per una concezione moderna.

## Suono spaziale

Ci rendiamo conto della "profondità" del suono perché abbiamo due orecchi. Poiché le onde sonore raggiungono ciascun orecchio in un istante e con un'ampiezza leggermente differenti, il cervello riceve due segnali distinti. Dalla differenza tra questi due segnali, il cervello è in grado di determinare la posizione relativa della sorgente sonora: i nostri orecchi formano in pratica un vero ricevitore stereo! Anche la forma dell'orecchio ha la sua importanza.

Cosa possiamo fare quando abbiamo a disposizione un suono monofonico? E' impossibile convertirlo in un vero suono stereo, perché la evanescente differenza tra i segnali del canale destro e del canale sinistro non può essere aggiunta in un secondo tempo. Possiamo invece creare delle differenze artificiali, suddividendo il suono in un certo numero di bande di frequenza, che vengono poi inviate selettivamente al canale destro o sinistro dell'apparecchiatura stereo.

A proposito, questo è il metodo usato nel circuito integrato stereo TDA 3810, presentato nel nostro articolo "Pseudo stereo" del marzo 1984. Il progetto che presentiamo ora è un po' più radicale ed efficace: lo spettro audio viene suddiviso in sedici bande di frequenza, per

restauro  
di segnali  
con simulazione  
di effetto stereo

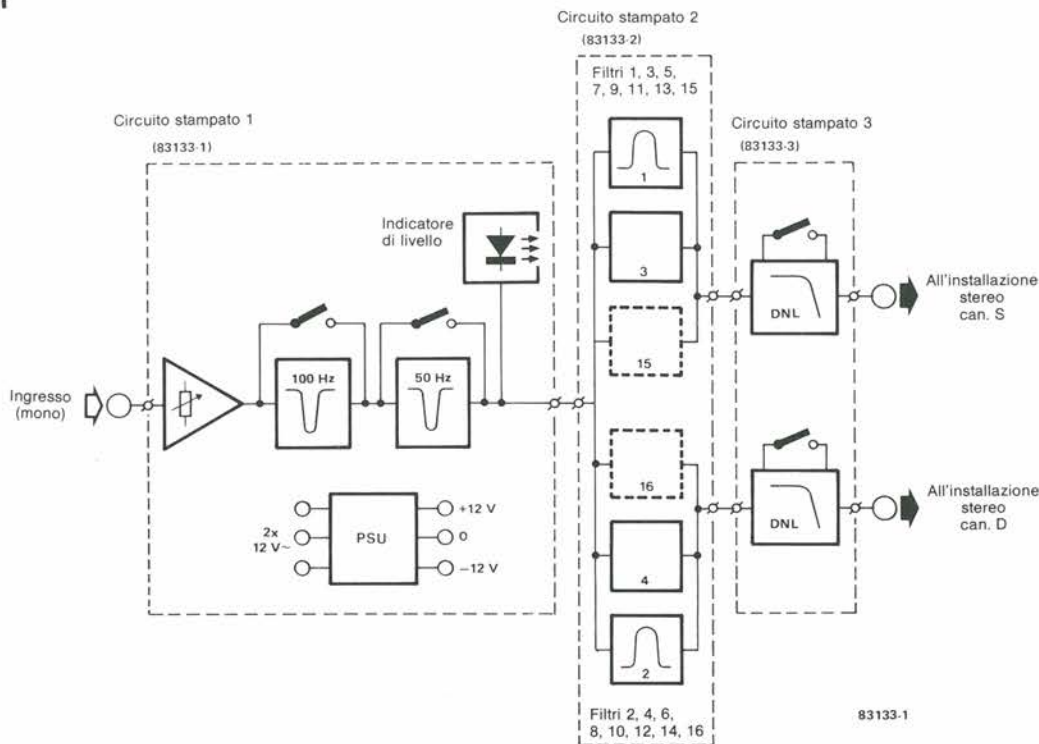


Figura 1. Schema a blocchi del circuito completo. I tre moduli che lo compongono sono separati dalle linee tratteggiate.

mezzo di una serie di filtri attivi. Se le uscite dei filtri sono numerate da 1 a 16, in ordine di aumento del valore della frequenza centrale, tutte le bande con numero dispari sono inviate al canale sinistro e tutte quelle con numero pari al canale destro. Il risultato è veramente notevole: il suono, che prima sembrava provenire da un punto centrale tra gli altoparlanti, ora sembra "fluttuare" nell'aria, intorno agli altoparlanti stessi.

## Schema a blocchi

Lo schema a blocchi di Figura 1 mostra chiaramente che il progetto consta di tre parti distinte: ciascuna di esse sarà montata su un circuito stampato separato.

Lo stadio d'ingresso del circuito è un preamplificatore (con sensibilità variabile) seguito da due filtri ad arresto di banda (chiamati a volte filtri "trappola"), uno dei quali è da 100 Hz e l'altro da 50 Hz. Questi filtri respingono rispettivamente la frequenza fondamentale a 100 Hz di una tensione alternata rettificata a doppia semionda e la frequenza fondamentale di 50 Hz della medesima tensione rettificata ad una sola semionda. Entrambi i filtri hanno la possibilità di essere esclusi. L'elemento seguente è un indicatore di livello, che sarà utile al momento in cui dovrà essere determinata la sensibilità d'ingresso. Niente di sofisticato, solo un comune amplificatore ed un LED che lampeggia lentamente quando la sensibilità è correttamente regolata.

Ed ora siamo giunti al cuore del progetto: i 16 filtri passa-banda attivi. Le uscite dei filtri che recano il numero dispari e di quelli con il numero pari sono riunite in due gruppi separati e sono perciò adatte, in linea di principio, per essere elaborate in un impianto stereo.

Abbiamo però aggiunto alcuni stadi limitatori dinamici del rumore (DNL) che, se necessario, potranno essere esclusi od anche omessi del tutto. Taluni di voi potranno anche ritenere opportuno usare solo questa parte del circuito.

## Schemi elettrici

Per ciascuna delle tre parti principali del progetto c'è uno schema elettrico separato: il preamplificatore, i filtri ad arresto di banda e l'alimentatore (Figura 2), il filtro passa-banda attivo a 16 elementi (Figura 3) ed infine gli stadi DNL (Figura 7).

### Preamplificatore, filtri ad arresto di banda ed alimentatore

La sensibilità d'ingresso è predeterminata mediante P1. Il preamplificatore A1 ha un guadagno di circa 10 dB, ed è seguito dai filtri attivi ad arresto di banda A2 (100 Hz) ed A3 (50 Hz). L'uscita di A3 viene inviata ai filtri passa-banda montati sul secondo circuito stampato (vedi Figura 3), ed anche allo stadio indicatore di livello. Dopo essere stato amplificato in A4, il segnale viene inviato alla base di T1, tramite C13. Quando esso supera un certo livello, T1 fa accendere il LED D1.

L'alimentazione per l'intero progetto consiste in un normale trasformatore di rete, in un rettificatore a ponte, nei regolatori di tensione e nei condensatori di livellamento. L'uscita è simmetrica:  $\pm 12$  V ad 85 mA.

### Filtri passa-banda

I sedici filtri passa-banda (vedi Figura 3) sono costruttivamente identici. Lo schema base di uno di questi filtri è mostrato in Figura 4: un normale circuito di filtro il cui elemento attivo è un amplificatore operazionale, con combinazioni RC che forniscono la risposta in frequenza, ed il fattore Q necessari. Come è possibile osservare dalle formule di Figura 4, se viene scelto un valore fisso per R1 ed R2, la frequenza centrale diviene inversamente proporzionale al valore della capacità C. Con appropriati valori di C nei 16 filtri, le frequenze centrali vengono variate, ma il fattore Q ed il guadagno A0 rimangono gli stessi.

### Stadi DNL

Per quelli tra voi che non siano perfettamente

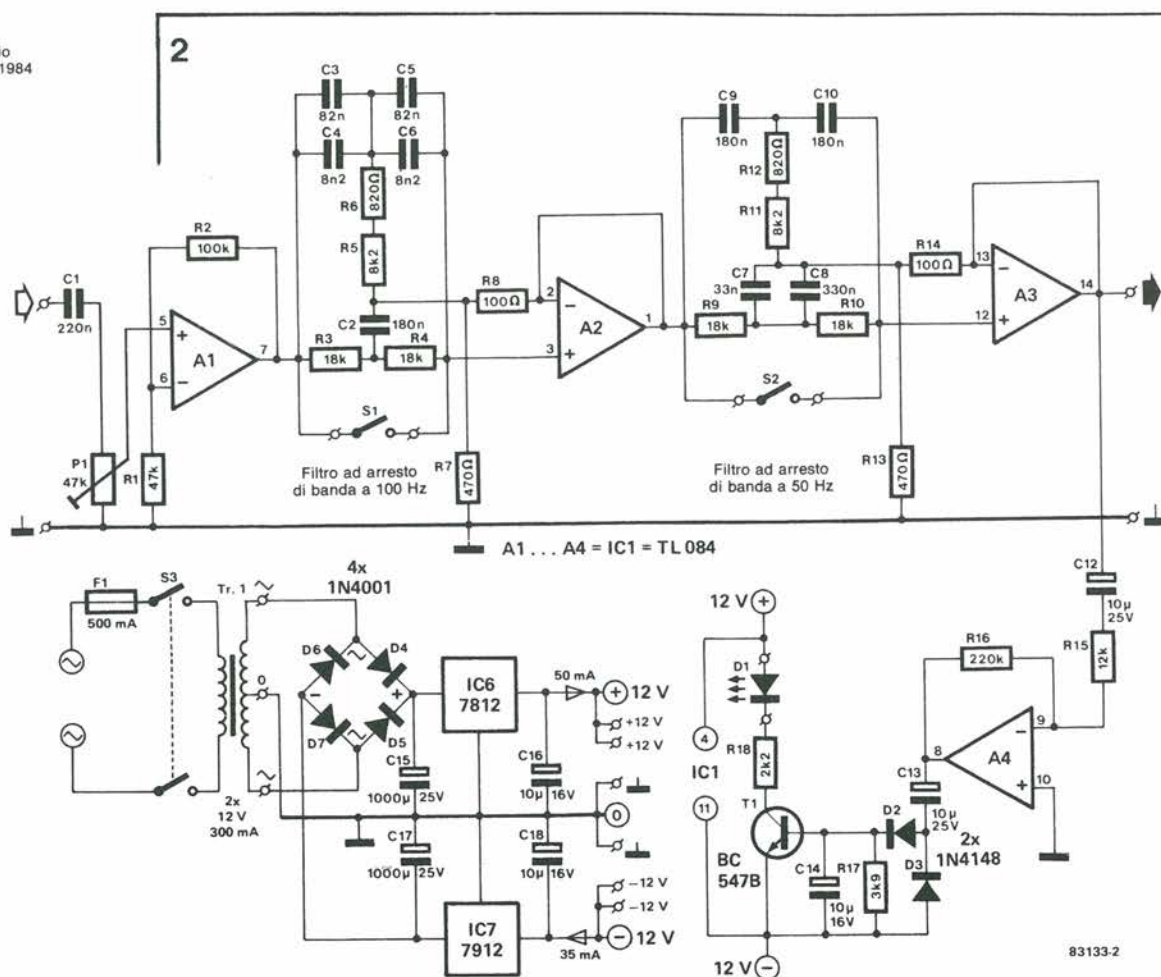
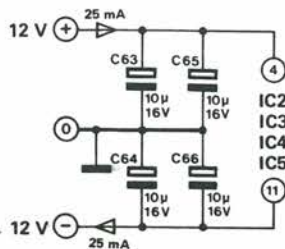
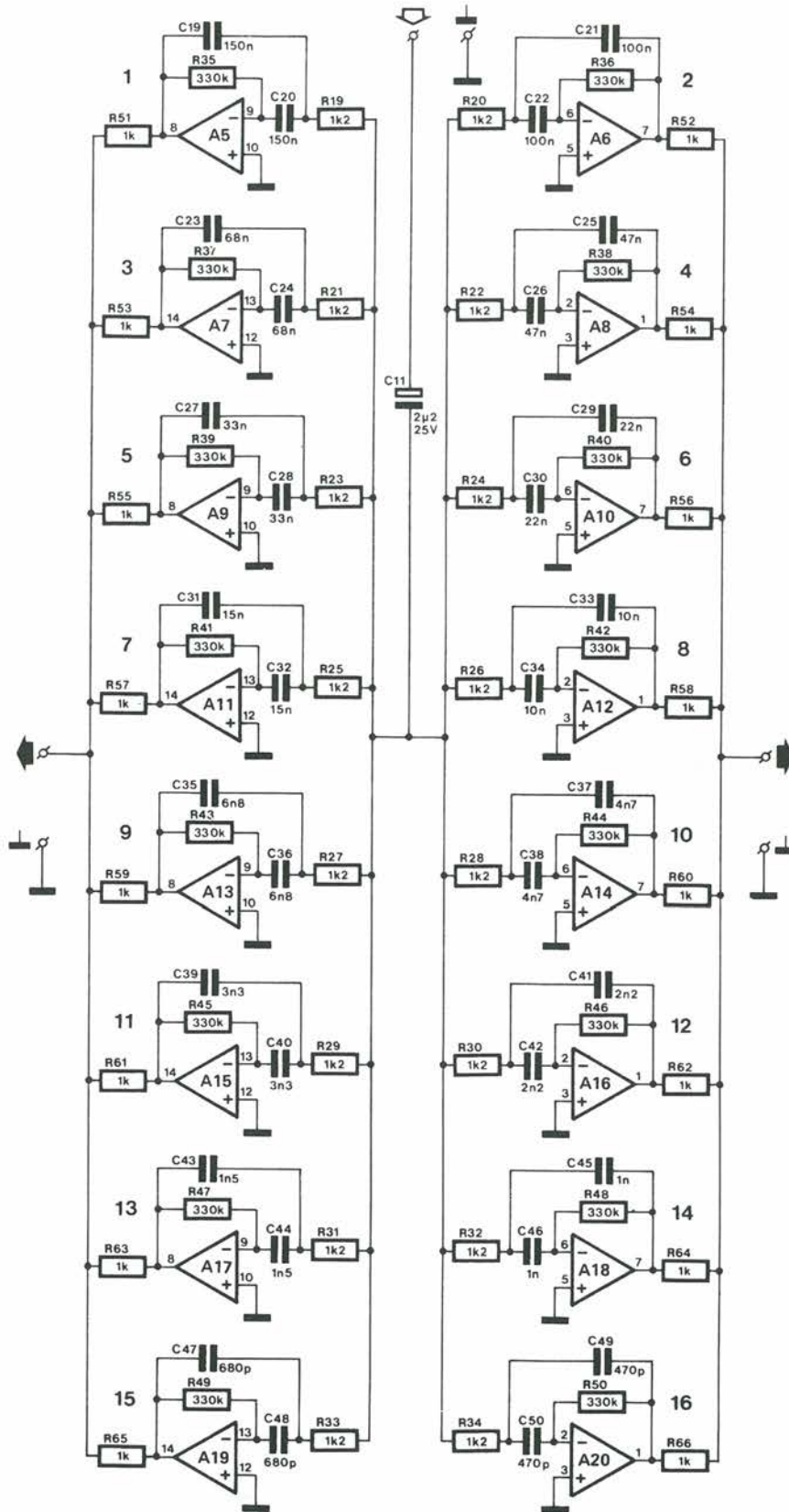


Figura 2. Schema del preamplificatore, dei filtri ad arresto di banda e dell'alimentatore.

al corrente di come funziona un limitatore dinamico del rumore, ecco una breve descrizione. Il più semplice limitatore di rumore è un filtro passa-basso. Sfortunatamente, la sua azione è troppo radicale ed influenza anche il segnale audio utile. Un limitatore dinamico di rumore è un filtro passa-basso con profilo della frequenza di taglio variabile, che funziona solamente durante i passaggi a basso volume (quando il rumore è maggiormente percettibile), sopprimendo quelle frequenze per le quali l'orecchio ha una maggiore sensibilità, cioè circa tra 1 e 10 kHz. Il grado di soppressione dipende quindi dal livello del segnale d'ingresso. Durante i passaggi forti, la frequenza di taglio viene spostata verso l'alto, cosicché viene attraversata l'intera banda audio, compresa la parte occupata dal rumore, che viene naturalmente mascherato dal segnale audio. Ai livelli più bassi del segnale d'ingresso, la frequenza di taglio viene abbassata, e viene di conseguenza soppressa una quantità maggiore di rumore. Il modo in cui funziona un DNL è illustrato dal grafico di Figura 5: per un segnale d'ingresso  $U_i$  di 2,0 mV, l'attenuazione rispetto al livello di uscita ad 1 kHz è di 10 dB a 7,5 kHz e di 20 dB a 10 kHz. La pendenza è quindi approssimativamente di -18 dB/ottava. Con segnali d'ingresso superiori a circa 8 mV, la risposta è virtualmente piatta fino a 20 kHz! Lo stadio d'ingresso A (vedi Figura 6) garantisce la corretta impedenza tra il filtro passa-banda ed il DNL. Da qui, il segnale viene inviato ai due canali: quello superiore, formato dal filtro passa-alto (B), dall'amplificatore (D), dall'attenuatore variabile (E) e dall'attenuatore fisso (G), mentre il circuito in basso comprende lo sfasatore (C) e

l'attenuatore fisso (F). L'uscita del DNL è formata dalla somma delle uscite dei due canali, che sono naturalmente in opposizione di fase. Per bassi livelli del segnale d'ingresso ( $U_i$ ), il livello d'uscita ( $U_1$ ) dello sfasatore è, a parte l'angolo di fase, identico ad  $U_i$ . L'uscita  $U_2$  del filtro passa-alto contiene soltanto la parte ad alta frequenza di  $U_i$ . I segnali  $U_1$  ed  $U_2$  sono, come già detto, in opposizione di fase, cosicché, se essi vengono sommati, il contenuto di alte frequenze di  $U_i$  viene annullato. Il risultato sarà perciò quello di un filtro passa-basso. Quando il livello del segnale d'ingresso aumenta, diventa operativo l'attenuatore variabile del canale superiore, riducendo il contributo di  $U_2$  al segnale di uscita  $U_o$ . La parte ad alta frequenza di  $U_i$  non viene allora più soppressa (od almeno il grado di soppressione è minore) ed  $U_o$  tenderà a rassomigliare sempre di più ad  $U_i$ . Tornando allo schema elettrico (vedi Figura 7), l'amplificatore d'ingresso (transistore T2 insieme a C52 ed R70) forma lo sfasatore. L'uscita dello sfasatore è inviata all'uscita DNL tramite l'attenuatore fisso R70/R79. Il filtro attivo passa-alto, composto da C53, C54, T3 ed R72...R76, è seguito dall'amplificatore T4 e dall'attenuatore variabile formato da T5 (con i relativi componenti). Sia il collettore che l'emettitore di T5 inviano un segnale al ponte a diodi D8...D11. I condensatori C58 e C59 vengono caricati alla tensione di emettitore tramite R83/D8 e, rispettivamente, R84/D11. Se il livello del segnale audio è inferiore alla tensione di conduzione dei diodi, questi non condurranno. Il segnale proveniente da T5 viene allora inviato direttamente all'uscita del DNL, dove viene sommato al segnale proveniente dallo sfasatore. Poiché i due



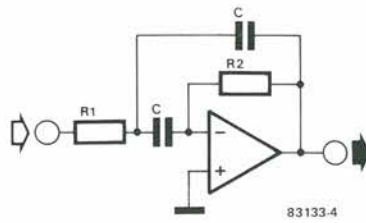
A5 ... A8 = IC2 = TL 084  
A9 ... A12 = IC3 = TL 084  
A13 ... A16 = IC4 = TL 084  
A17 ... A20 = IC5 = TL 084

83133-3

Figura 3. Schema elettrico del gruppo filtri a sedici elementi passa-banda. L'effetto stereo viene ottenuto applicando alternativamente le diverse bande di frequenza al canale sinistro ed al canale destro.

Figura 4. Circuito base di un filtro passa-banda, con le formule necessarie per calcolare le diverse caratteristiche del filtro.

4



$$\text{Frequenza centrale: } f_0 = \frac{1}{2 \pi C \cdot \sqrt{R_1 \cdot R_2}}$$

$$\text{Guadagno ad } f_0: -A_0 = \frac{R_2}{2R_1}$$

$$\text{Fattore Q: } Q = \pi R_2 C f_0$$

$$\text{Larghezza di banda: } B = \frac{1}{\pi R_2 \cdot C}$$

5

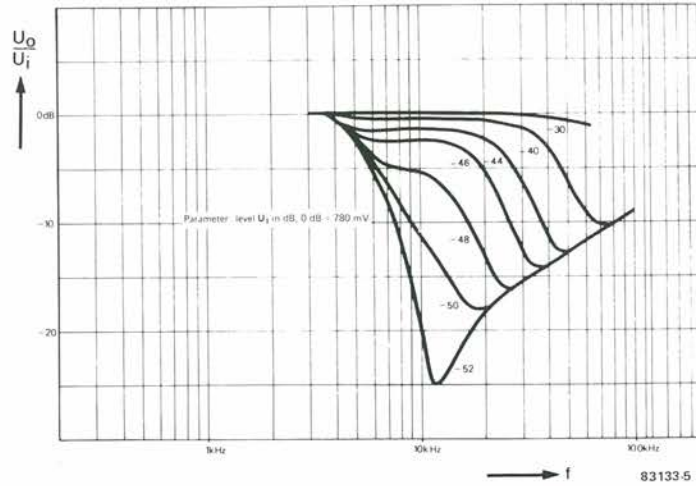


Figura 5. Caratteristica di trasferimento del DNL: l'azione del filtro dipende dal livello del segnale d'ingresso.

6

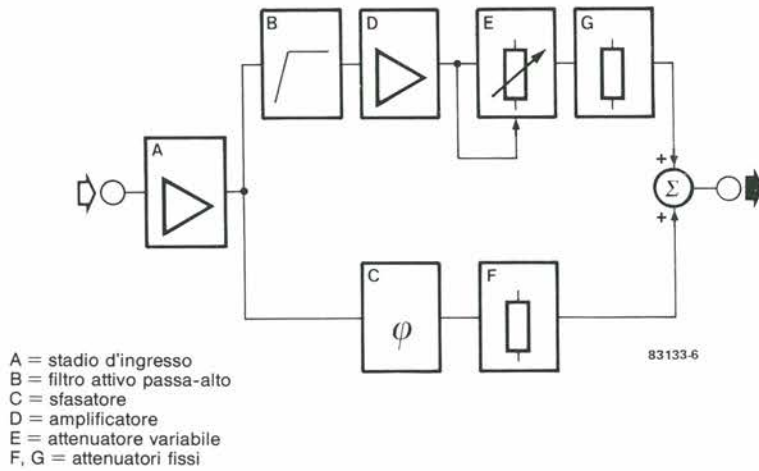
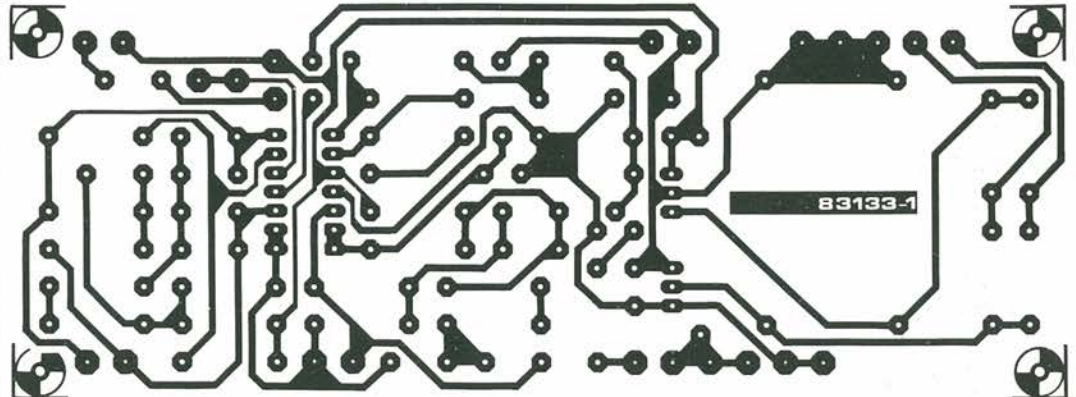
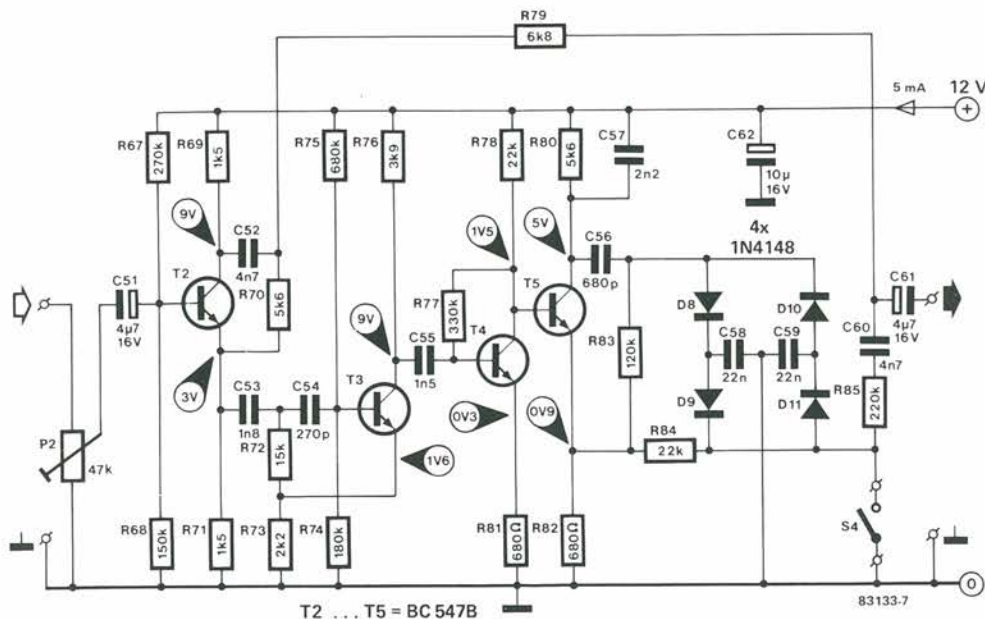


Figura 6. Schema a blocchi semplificato del DNL.

8





5-33  
cosmetico  
per segnali audio  
elektor maggio 1984

Figura 7. Schema elettrico del DNL: sono necessari due di questi circuiti, uno per ciascun canale.

Elenco dei componenti (DNL)  
Schema: Figura 7  
Circuito stampato: Figura 10

#### Resistenze:

R67, R67' = 270 k  
R68, R68' = 150 k  
R69, R69', R71, R71' = 1k5  
R70, R70', R80, R80' = 5k6  
R72, R72' = 15 k  
R73, R73' = 2k2  
R74, R74' = 180 k  
R75, R75' = 680 k  
R76, R76' = 3k9  
R77, R77' = 330 k  
R78, R78', R84, R84' = 22 k  
R79, R79' = 6k8  
R81, R81', R82, R82' = 680 Ω  
R83, R83' = 120 k  
R85, R85' = 220 k  
P2, P2' = 47 k (50 k) trimmer

#### Condensatori:

C51, C51', C61, C61' = 4μ7/16 V  
C52, C52', C60, C60' = 4n7  
C53, C53' = 1n8  
C54, C54' = 270 p  
C55, C55' = 1n5  
C56, C56' = 680 p  
C57, C57' = 2n2  
C58, C58', C59, C59' = 22 n  
C62, C62' = 10 μ/16 V

#### Semiconduttori:

D8 ... D11, D8' ... D11' = 1N4148  
T2 ... T5, T2' ... T5' = BC547B

#### Varie:

S4 = interruttore bipolare

segnali sono in opposizione di fase, la frequenza di taglio è di 6...7 kHz e l'azione del filtro è massima.

Quando il livello del segnale audio è maggiore della tensione diretta dei diodi, questi conducono e presentano una bassa impedenza alle audiofrequenze. Un successivo filtro passa-basso, formato da R84, C58 e C59, fa sì che le frequenze più alte vengano attenuate. Il risultato finale sarà che una minore quantità di alte frequenze (quantità che tende a zero) verrà rimossa dal segnale di uscita definitivo, ed il fenomeno si presenta come un appiattimento della risposta complessiva in frequenza.

## Costruzione

Come abbiamo detto in precedenza, il progetto è composto da tre moduli: il preamplificatore più l'alimentatore ed i filtri ad arresto di banda, i sedici filtri passa-banda e gli stadi DNL. Questo tipo di costruzione dà ad ognuno la possibilità di scegliere quella parte o quelle parti del progetto che intende di volta in volta utilizzare: qualcuno potrà non desiderare l'effetto stereo, nel qual caso tutto ciò che deve fare è di tralasciare i sedici filtri passa-banda. Se viene costruita invece soltanto l'unità DNL, è naturalmente necessario aggiungere un

adatto alimentatore.

Quando vengono usati i circuiti stampati mostrati nelle Figure 8...10, non dovrebbero sorgere particolari problemi durante la costruzione. Costruendo l'alimentatore, occorre accertarsi che uno dei circuiti integrati regolatori di tensione sia ruotato di 180 gradi rispetto all'altro. Dato il basso assorbimento di corrente, per questi integrati non è necessario un dissipatore termico.

Il modo migliore di iniziare il montaggio dei componenti sulla bassetta del filtro passa-banda è di iniziare a cablare i quattro ponticelli, che passano sotto IC2...IC5: questa precauzione non mancherà di facilitare le cose in seguito. La scheda DNL è formata da due metà assolutamente identiche: è possibile tagliare in due parti il circuito stampato ed avere a disposizione due DNL mono indipendenti! Contrariamente a quanto avviene nel resto dell'apparecchio, il DNL necessita di una sola tensione di alimentazione: tra +12 V e massa.

## Taratura

Con l'uscita di un sintonizzatore o di un giradischi collegata all'ingresso del circuito preamplificatore, regolare la sensibilità totale con P1, sinché il LED D1 lampeggia lentamente al ritmo del segnale audio d'ingresso. Poiché il DNL è un filtro variabile, la cui azione

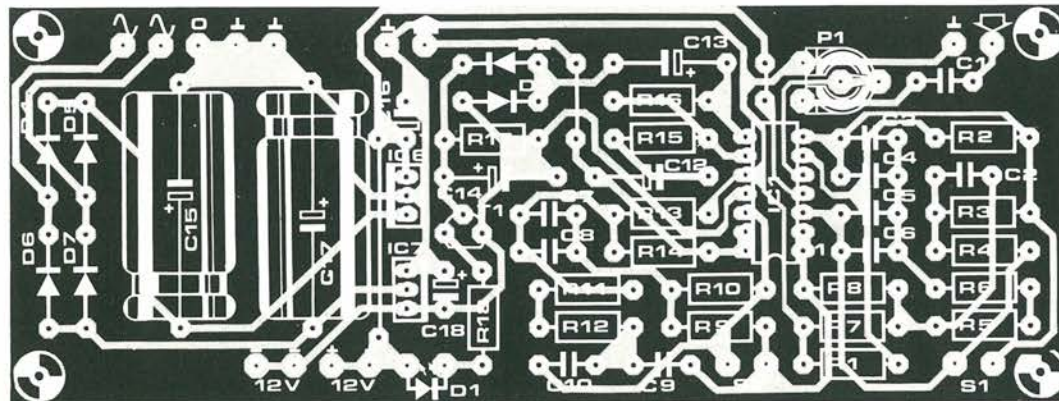


Figura 8. Piste di rame e lato componenti del circuito stampato per il preamplificatore, i filtri ad arresto di banda e l'alimentatore.



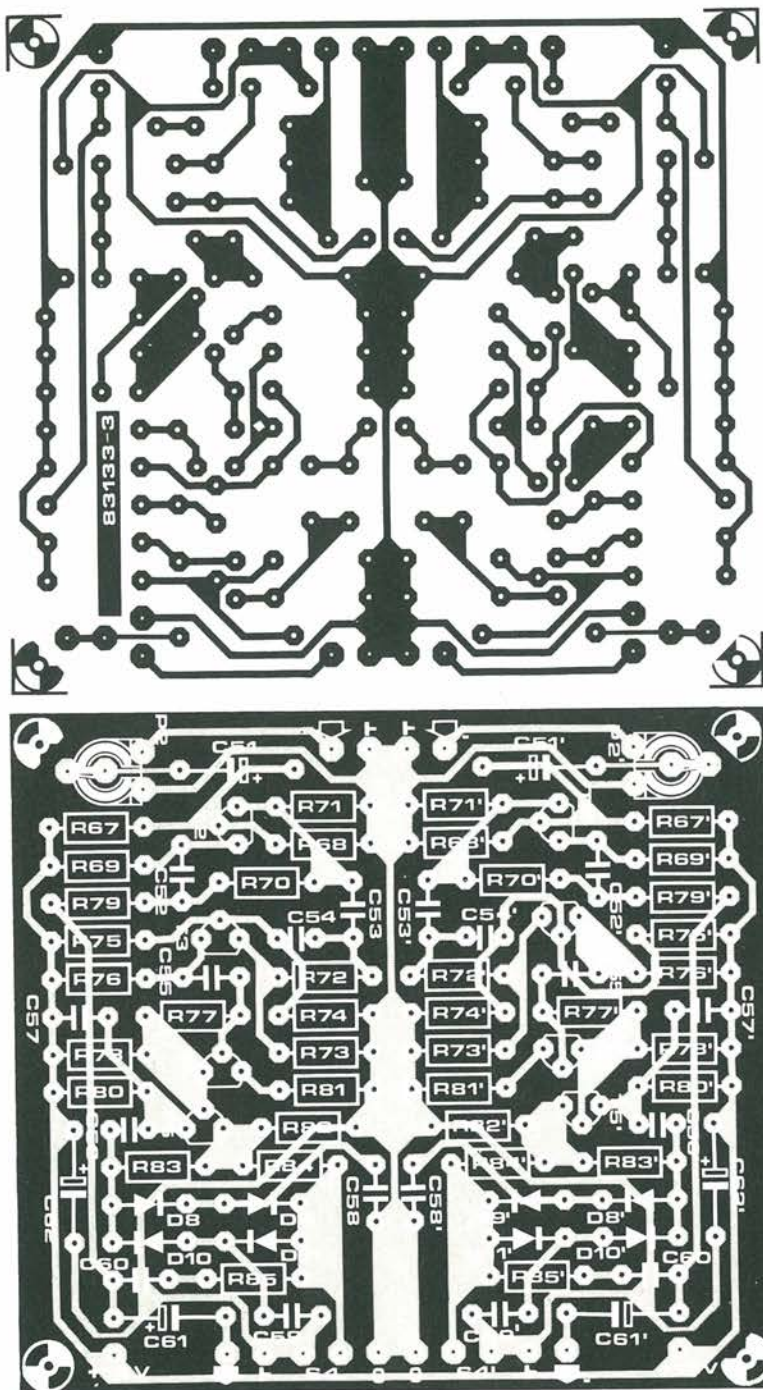


Figura 10. Piste di rame e lato componenti della scheda DNL: poiché questo circuito deve essere adatto ad elaborare segnali stereo, la scheda consiste di due metà simmetriche.

dipende dal livello del segnale presente alla base di T2, il trimmer P2 dovrebbe essere tarato con molta precisione. Collegare un voltmetro c.a. (impedenza d'ingresso di almeno 100 k $\Omega$ ) tra il cursore di P2 e massa, ed immettere un segnale di circa 1 V nei terminali d'ingresso del DNL. Regolare P2 fino ad ottenere una lettura di 775 mV sul voltmetro. Se il segnale d'ingresso proviene da un sintonizzatore o da un giradischi, potrebbe essere necessario ritoccare leggermente la regolazione di P1. Se non avete a disposizione un adatto voltmetro c.a., regolate il trimmer (od i trimmer) ad orecchio. Accertatevi che, con un segnale d'ingresso di livello abbastanza elevato, le alte frequenze non vengano tagliate.

Se ciò accade, il segnale d'ingresso è troppo basso, e deve essere regolato con P2. Se questo è già nella posizione di massima sensibilità, regolare anche P1. Se non è ancora possibile ottenere un risultato soddisfacente, l'uscita dal generatore di segnale (sintonizzatore, giradischi, registratore a nastro) è troppo bassa, ed in questo caso sarà necessario aggiungere un ulteriore amplificatore.

#### Nota finale

Il DNL può essere inserito quasi ovunque nel canale audio ma, poiché il suo livello d'ingresso a 0 dB deve corrispondere a 775 mV, esso dovrà essere installato prima del controllo di volume.

Nella tecnica audio, tutte le tensioni sono riferite al "livello normale". Questo è di 1 mW in un carico di 600  $\Omega$  (= 775 mV su 600  $\Omega$ ) ed è denominato per convenzione "livello di 0 dBm".

Non molto tempo fa, i circuiti integrati per filtri attivi erano considerati ipotetici come una lavabiancheria tascabile, ma ora essi, anche se non precisamente di uso comune, sono certamente disponibili ovunque. Con l'aiuto di pochissimi componenti esterni, il Reticon R5620 può formare la base di un versatile filtro attivo, che può essere impiegato in applicazioni audio ed in sintetizzatori; è anche possibile costruire un'apparecchiatura di prova di eccellente qualità, per l'uso di laboratorio. E tutto questo è realizzato senza nemmeno una bobina!

# filtro attivo universale

5 modi di filtrazione con un solo integrato

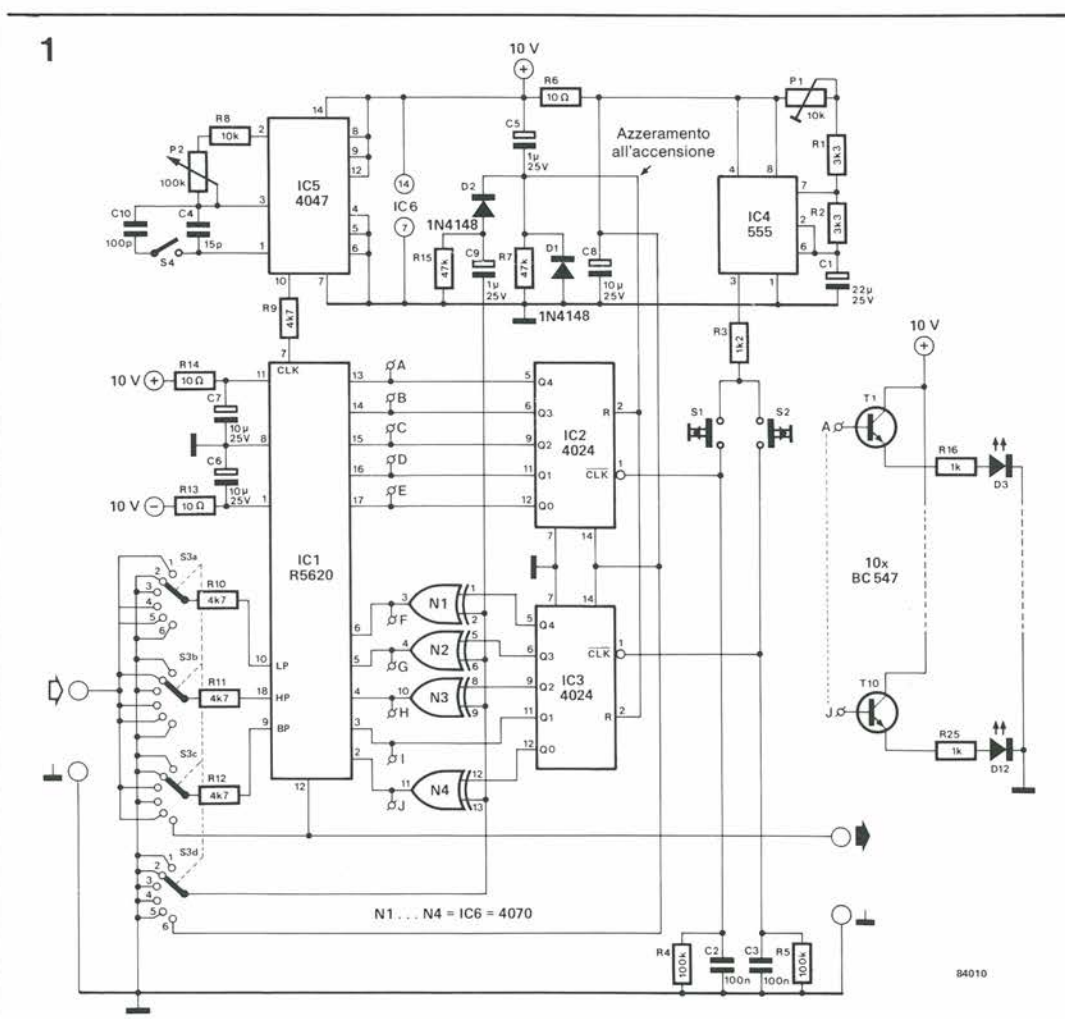
La denominazione completa del Reticon R5620 è: "Circuito di filtro del secondo ordine a condensatori commutati". Con esso saremo in grado di ottenere i cinque modi fondamentali di filtrazione: passa-basso, passa-banda, passa-alto, passa-tutto, e soppressore di banda. Un'altra utilissima funzione di questo circuito integrato è la possibilità di funzionare anche come oscillatore sinusoidale programmabile. Ci si potrebbe attendere che tutte queste funzioni vengano svolte da un circuito integrato molto grande e complesso, di tipo LSI. In realtà, invece tutto è contenuto in un involucro a 18 piedini, grazie ad un'altra caratteristica dell'R5620: tutte le funzioni di questo circuito integrato sono completamente programmabili. Queste facoltà comprendono la frequenza centrale del filtro ed il fattore Q, entrambi programmabili indipendentemente per mezzo di due codici binari a cinque bit. Per esempio, per programmare il filtro per un dato fattore Q, la Tabella 1 fornisce i necessari codici binari; non sono necessari potenziometri, bobine e, dulcis

in fundo, nemmeno calcoli! Lo stesso vale, naturalmente, per la frequenza centrale del filtro. Come è possibile osservare sulla tabella, il rapporto tra la frequenza di clock e la frequenza centrale (fc/fo) può essere variato entro due ottave, da 50 a 200, secondo 32 passi di incremento a spaziatura logaritmica. Il campo di variazione del fattore Q avviene anch'esso in 32 gradini da 0,57 a 150, con spaziatura approssimativamente logaritmica. La selezione della risposta di filtrazione è determinata indirizzando, per mezzo di commutatori, il segnale audio ad uno o più dei tre ingressi del circuito integrato (vedi Tabella 2). Tutto quanto detto è chiaramente illustrato sullo schema elettrico di Figura 1.

## Schema elettrico

Per usare praticamente l'R5620, abbiamo inserito il circuito integrato in uno schema di filtro universale adatto per essere impiegato come apparecchio di prova in laboratorio.

Figura 1. Il circuito integrato per filtro attivo R 5620 costituisce la base del circuito di filtro universale qui illustrato. La codifica binaria per programmare i parametri del filtro viene ricavata dai due contatori IC2 ed IC3.



Il segnale audio d'ingresso viene applicato agli adatti ingressi di IC1 mediante i commutatori rotativi S3A...S3D. I commutatori provvedono anche a collegare a massa gli ingressi non usati.

I codici a cinque bit per programmare il fattore Q e la frequenza centrale, sono presentati ad IC1 rispettivamente ai piedini 2...6 (Q) e 13...17 (fo). Un'occhiata alla Tabella 1 mostrerà che tutto ciò che occorre per generare i due codici a 5 bit è una coppia di commutatori a 5 vie, 32 posizioni, ma pensiamo che sia veramente troppo: ecco perciò una soluzione più brillante. Torniamo alla Figura 1. Sia IC2 che IC3 sono contatori binari di ondulazioni a 7 stadi (in questo caso ne usiamo solo 5) che conterranno in avanti (e solo in avanti) quando una frequenza di clock verrà applicata al piedino 1. Questa frequenza viene generata da un oscillatore formato da un 555 (IC4) e relativi componenti. Con i valori dei componenti mostrati sullo schema, la frequenza è piuttosto bassa ed è possibile far avanzare passo passo i contatori binari mediante i pulsanti S1 ed S2. I circuiti RC formati da R4/C2 ed R5/C3 sono inseriti allo scopo di escludere i rimbalzi dei contatti degli interruttori. Quando perviene il giusto numero binario, gli interruttori vengono aperti e l'R5620 verrà programmato secondo quanto indicato in Tabella 1.

Come già detto, i circuiti integrati IC2 ed IC3 contano esclusivamente in avanti, e perciò, per tornare al codice di partenza 00000, sarà necessario esplorare tutti i codici binari intermedi. Questo modo di funzionamento è stato scelto semplicemente per motivi di economia ed il circuito potrà essere modificato a volontà (sarebbe comunque più a buon prezzo di una serie di commutatori a 32 posizioni!).

E' semplice visualizzare i codici mediante transistori pilota e LED. Nello schema elettrico, questi componenti sono T1...T10 e D3...D12. Le basi dei transistori sono collegate ai punti terminali marcati A...J, che vanno agli ingressi di IC1.

I collegamenti ai piedini 2 di IC2 ed IC3 (ingressi di reset) permettono di azzerare automaticamente i due contatori quando viene collegata l'alimentazione. Essi servono anche ad una seconda funzione, leggermente più astrusa. All'inizio abbiamo detto che l'R5620 è in grado di funzionare anche da oscillatore ad onda sinusoidale. Ciò è assolutamente vero e, per questa funzione, l'uscita viene riportata, mediante S3c, all'ingresso del filtro passa-banda (BP), mentre gli ingressi LP ed HP devono essere collegati a massa. Non esiste alcun problema, tuttavia esiste un piccolo "ghiribizzo" dell'R5620, del quale è necessario tener conto: per funzionare da oscillatore, gli ingressi del fattore Q (piedini 6...2) devono essere programmati ad 1101. Lo sappiamo perchè l'abbiamo letto sul foglio dati! Questa funzione viene svolta mediante le porte OR Esclusivo N1...N4, inserite tra IC3 ed IC1.

Quando gli ingressi comuni di queste porte sono a livello logico basso (mediante il commutatore S3d nelle posizioni 1...5), le uscite binarie di IC3 non sono influenzate ed attraversano direttamente IC1. Quando viene scelto il funzionamento come oscillatore (S3 in posizione 6), gli ingressi comuni delle porte sono mantenuti alti dalla sezione S3d del commutatore. Contemporaneamente viene applicato un impulso di reset all'ingresso di reset di IC3, ed allora tutte le sue uscite tornano al livello logico zero. Ora le porte funzionano però da invertitori e di conseguenza, il numero binario presentato ad IC1 sarà 11101. L'R5620 funzionerà pertanto da oscillatore ad onda sinusoidale, purchè non venga toccato il

Tabella 1

Codice binario ai piedini 6...2	Fattore Q	Codice binario ai piedini 13...17	$f_c/f_o$
00000	.57	00000	200.0
00001	.65	00001	191.3
00010	.71	00010	182.9
00011	.79	00011	174.9
00100	.87	00100	167.2
00101	.95	00101	159.9
00110	1.05	00110	152.9
00111	1.2	00111	146.2
01000	1.35	01000	139.8
01001	1.65	01001	133.7
01010	1.95	01010	127.9
01011	2.2	01011	122.3
01100	2.5	01100	116.9
01101	3.0	01101	111.8
01110	3.5	01110	106.9
01111	4.25	01111	102.3
10000	5.0	10000	97.8
10001	5.8	10001	93.5
10010	7.2	10010	89.4
10011	8.7	10011	85.5
10100	10.0	10100	81.8
10101	11.5	10101	78.2
10110	13.0	10110	74.8
10111	15.0	10111	71.5
11000	17.5	11000	68.4
11001	19.0	11001	65.4
11010	23.0	11010	62.5
11011	28.0	11011	59.8
11100	35.0	11100	57.2
11101	40.0	11101	54.8
11110	80.0	11110	52.3
11111	150.0	11111	50.0

pulsante S2. Se questo dovesse inavvertitamente accadere, sarà sufficiente portare S3 in altra posizione e poi nuovamente in posizione 6.

Tutto quello che resta ora da dire riguarda IC5 e relativi componenti: si tratta dell'oscillatore di clock per IC1, e la sua frequenza può essere variata mediante il potenziometro P2. Ora possiamo chiarire la relazione tra la frequenza di clock ed il numero binario che appare ai piedini 13...17 di IC1. Quando questo codice è 00000, la frequenza centrale del filtro sarà pari ad 1/200 della frequenza di clock, come è possibile osservare in Tabella 1. Risulterà ora evidente che il codice predispone la frequenza centrale in forma di rapporto rispetto alla frequenza di clock. Sarà così possibile ottenere una vasta gamma di risposte del filtro.

Ancora alcuni punti degni di nota! E' naturalmente possibile fare a meno dei commutatori e dei contatori, stabilendo semplicemente un "cablaggio fisso" agli ingressi dell'R 5620, a seconda dei parametri e delle funzioni richieste. Ricordare che la tensione di 10 V può essere considerata un massimo assoluto per la tensione di alimentazione, e perciò dovrà essere installata una protezione contro gli impulsi transitori di accensione. Il campo di variazione della frequenza di clock è piuttosto ampio: la frequenza potrà avere un valore qualsiasi, compreso tra 10 Hz ed 1,25 MHz.

Per concludere, l'R5620 impiega la tecnologia NMOS e la probabilità di un suo decesso istantaneo, dovuto ad errata manipolazione, è inversamente proporzionale al numero di esemplari che possedete in un certo istante!

Tabella 1. I codici di programmazione binaria per il fattore Q ed il rapporto tra la frequenza di clock (fc) e la frequenza centrale del filtro (fo).

Tabella 2

S3 in posizione	Tipo di filtro
1	Passa-basso (LP)
2	Passa-alto (HP)
3	Passa-banda (BP)
4	Arresto di banda
5	Passa-tutto
6	Oscillatore (vedi testo)

Tabella 2. Questa tabella mostra la scelta degli ingressi necessaria per ottenere i diversi tipi di filtro. Per il funzionamento come oscillatore sinusoidale, far riferimento a quanto descritto nel testo.

Il termometro con display a cristalli liquidi, pubblicato nel numero di febbraio 1983, era in origine concepito come indicatore di temperatura ambiente. Non sappiamo, naturalmente, quale sia l'uso che voi ora fate di questo strumento ma, in base alle molte lettere ricevute, che richiedevano di aggiungere un contatto d'uscita, ci è sembrato che molti di voi intendessero usarlo come termostato. Non ci sogneremmo mai di deludervi!

# da termometro a termostato

contatto  
d'uscita per il  
termometro LCD

A prima vista, il circuito non sembra troppo emozionante: un trimmer ed un comparatore soltanto. C'è però molto più di quanto si possa vedere: dopo tutto questo circuito deve lavorare affidabilmente per periodi molto lunghi. Prove, eseguite nei nostri laboratori per un lungo periodo di tempo, hanno dimostrato che questo completamento del termometro è assolutamente privo di inconvenienti. Il funzionamento è semplice: se la temperatura ambiente supera il valore predisposto con P1, viene attivato il relè. I contatti del relè possono essere naturalmente collegati a qualsiasi apparecchiatura desiderate: un allarme, i contatti di un termostato ambiente, e simili. E' anche possibile avere una segnalazione ottica dell'aumento della temperatura, collegando un LED, con la relativa resistenza in serie ( $R_v$ ), come mostrato in Figura 1, dove questa aggiunta è disegnata con linee tratteggiate. In questo caso, il relè potrà anche non essere necessario, ed R3 ed R4 potranno essere sostituite con un'unica resistenza da 10 k. Pensandoci un poco, sarà possibile trovare ancora molte altre utilizzazioni per questo strumento.

L'ingresso non invertente (piedino 3) dell'amplificatore operazionale, IC1, è collegato al punto di giunzione tra R10 ed R11 nel termometro LCD. La tensione in questo punto è proporzionale alla temperatura misurata. Una tensione di riferimento, che rappresenta la temperatura predisposta, viene regolata

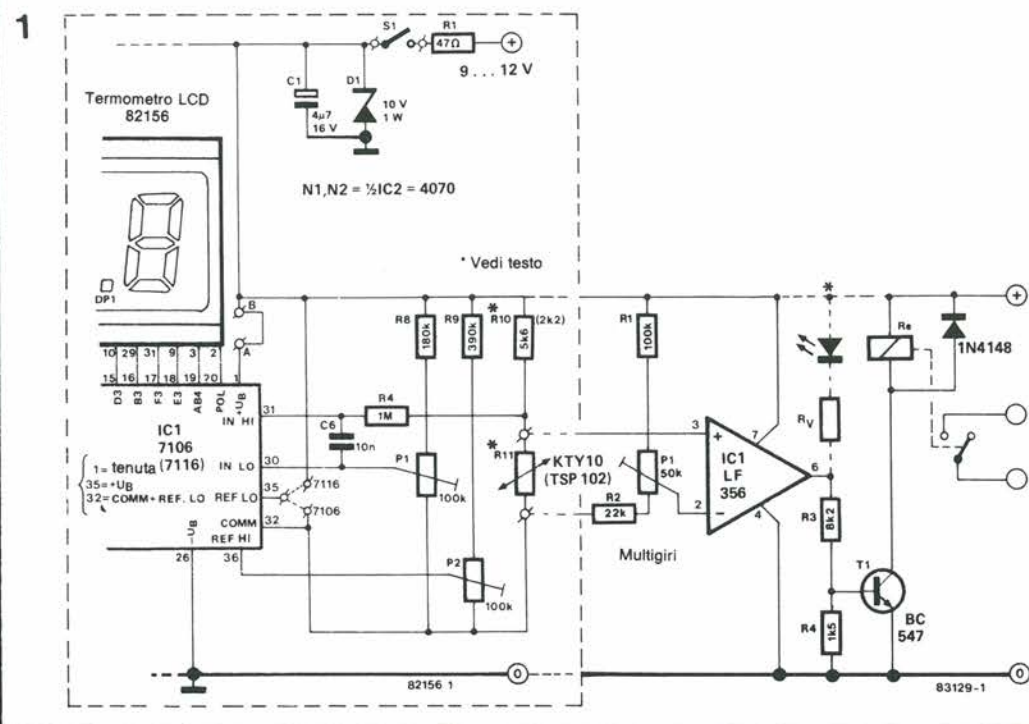
mediante P1 ed applicata all'ingresso invertente (piedino 2) di IC1.

Se la tensione al piedino 3 è maggiore di quella al piedino 2 (cioè se la temperatura misurata è maggiore di quella di riferimento), la tensione all'uscita (piedino 6) di IC1 sarà alta (quasi uguale alla tensione di alimentazione  $U_b$ ). Passerà quindi una corrente attraverso R3 ed R4, e questa corrente sarà sufficiente a provocare una caduta di tensione di circa 1,5 V ai capi di R4. Questa tensione sarà più che sufficiente a mandare in conduzione T1. La corrente di collettore di T1 passerà quindi nell'avvolgimento del relè Re, che di conseguenza verrà attivato. Sarà anche possibile attuare un'indicazione ottica, per mezzo di un LED.

La tensione di alimentazione per questo circuito aggiunto può essere ricavata dal terminale B (+ $U_b$ ) che si trova sul circuito stampato del termometro. Il piedino 3 di IC1 potrà essere direttamente saldato alla giunzione di R10/R11, mentre R22 del circuito aggiunto dovrà essere saldata alla giunzione di R11 e P2 (sul circuito stampato sono già previsti gli adatti punti di saldatura). Non dimenticate di collegare tra loro i due punti di massa!

Se il termometro è alimentato mediante una batteria primaria, sarà opportuno alimentare il relè con una sorgente separata. L'impiego di un relè a basso assorbimento sarà naturalmente la soluzione ideale.

Figura 1. Schema dell'ampliamento necessario per aggiungere un contatto d'uscita al termometro; i soli componenti necessari per convertire il termometro in un termostato sono un trimmer, un comparatore ed uno stadio di commutazione per il relè.



# audio-segugio all'opera

ricerca dei guasti nelle installazioni audio

La ricerca di un guasto in un sistema audio sarebbe piaciuta molto a Sir Arthur Conan Doyle. Al pari di Sherlock Holmes, dovrete sedervi comodi e ragionare con calma per trovare il colpevole. Prendete in considerazione i sintomi uno per uno, disponeteli in ordine logico ed infine provate a trovare la soluzione per via deduttiva.

Prima di tutto, ci teniamo a puntualizzare che non vogliamo suggerirvi di aprire tutti i componenti della vostra installazione, di riscaldare il saldatore e di prepararvi per effettuare un'operazione di "alta chirurgia". Al contrario, i consigli di questo articolo riguardano il modo di ricercare i guasti senza attrezzi speciali e senza costose apparecchiature di misura.

Seguite sempre la regola di iniziare la ricerca del guasto ponendovi una serie di domande. Come si comportava l'apparecchio prima che si manifestasse il guasto? Andava tutto bene? C'erano disturbi, ronzii o crepitii? Il sistema ha sempre funzionato in modo soddisfacente? Le risposte a questi interrogativi permetteranno spesso di circoscrivere l'area nella quale probabilmente si trova il guasto. Potrete poi eseguire un rapido controllo per verificare se i fatti corrispondono alle vostre deduzioni. Se è così, tutto va bene, altrimenti sarà necessario un controllo più sistematico.

Uno dei sistemi più veloci è il cosiddetto "metodo del dimezzamento". Supponiamo che il guasto si trovi in una parte ignota di una catena di moduli o circuiti. Tale catena può essere formata da un numero qualsiasi di elementi: la Figura 1 mostra la composizione di una tipica "catena audio".

Se viene applicato un segnale all'ingresso della catena e qualcosa va male all'uscita del preamplificatore, saprete immediatamente che il guasto è all'interno di questa unità.

Procedete poi a "dimezzare le possibilità, controllando il segnale all'uscita per il registratore a nastro. Se qui tutto è in ordine, il guasto si troverà tra questo punto e l'uscita. Se però il segnale all'uscita nastro è difettoso, il guasto risiede nel preamplificatore che precede questa uscita. Non iniziate mai con i controlli più complicati, ma intraprendete piuttosto quelli più semplici; soltanto quando questi avranno dato risultati negativi, fate entrare in campo i "grossi calibri". Le possibilità vanno dal controllare se la spina di rete è ben inserita nella presa all'operazione chirurgica "a cuore aperto", durante la quale l'amplificatore principale, con i vari circuiti stampati temporaneamente smontati, viene circondato da una sfilata di strumenti di misura, che potranno essere un generatore di onde quadre/sinusoidali di lusso, un oscilloscopio a doppia traccia, un analizzatore di spettro, eccetera. La necessità di controllare la presa di rete potrebbe sembrare ridicola, ma in pratica,



1

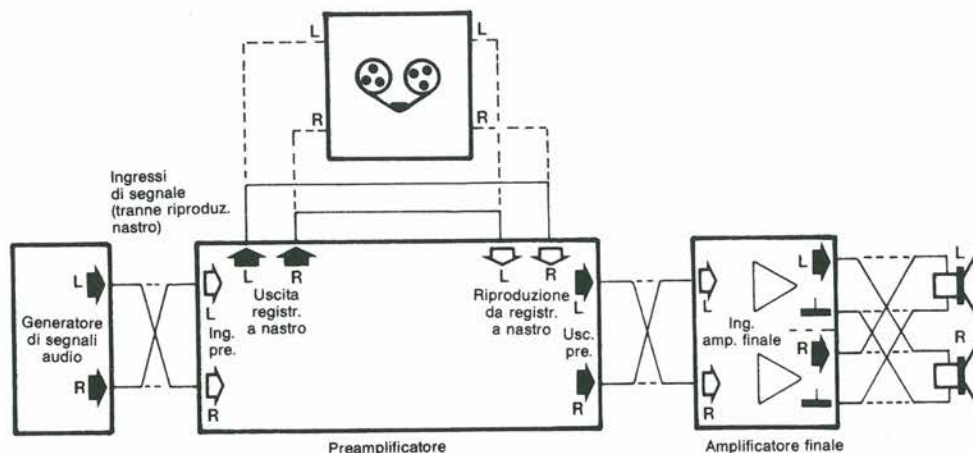


Figura 1. Possibili punti di incrocio del canale destro con il canale sinistro, per poter controllare il corretto funzionamento del canale da controllare. Bisognerà effettuare un solo incrocio per volta.

molti inconvenienti potrebbero essere causati da una svista così semplice. Controllare quindi se, in qualche punto della catena, i controlli sono in posizione sbagliata e se tutti i fusibili sono integri.

**Lo "stratagemma dell'interscambio"**

Un controllo che si rivelerà molto adatto a localizzare il guasto, consiste nel cosiddetto "interscambio", con il quale vengono temporaneamente scambiati tra loro i canali destro e sinistro in un determinato punto della catena. La Figura 1 mostra quali sono gli ingressi e le uscite dell'amplificatore che possono essere usati per tale controllo. Se supponete che il sintomo consista nel funzionamento non soddisfacente di un canale, provate a collegare il segnale del canale destro al canale sinistro, e viceversa. Se ora è l'altro canale a mostrare il sintomo, il guasto risiede a monte del punto nel quale i canali sono stati scambiati. Se i segni di disordine persistono nel medesimo canale, il guasto sarà a valle del punto di incrocio. Attenzione ad effettuare un solo scambio alla volta!

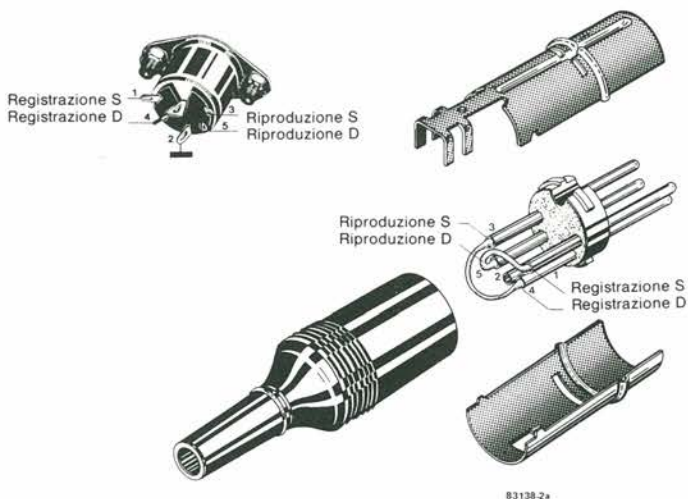
Ripristinare i collegamenti al punto in cui è stato effettuato l'incrocio ed effettuare un analogo controllo in un altro punto della catena audio. Questo controllo potrà anche essere combinato con il "controllo a dimezzamento". In realtà, il numero di punti di scambio che appaiono nella Figura 1 non è elevato, ma abbiamo ritenuto fosse meglio non mostrare anche tutti i punti intermedi.

Se l'amplificatore impiega connettori DIN, in Figura 2 è illustrato un adattatore che potrà essere costruito allo scopo di permettere l'incrocio dei canali. Se i connettori sono del tipo "fono", lo scambio dei canali sarà naturalmente molto più semplice.

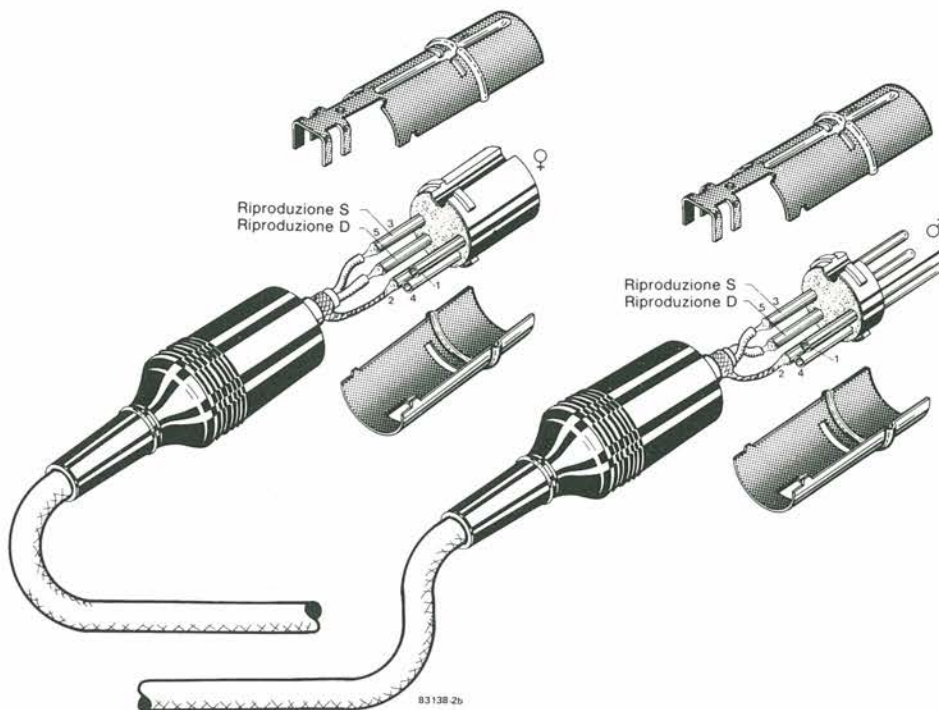
Se i controlli finora descritti non vi avranno ancora permesso di ottenere un risultato corretto, è giunto il momento di far entrare in linea i "grossi calibri"! Ricorrete ad un secondo sistema audio sicuramente funzionante: sostituite una o più unità del sistema non funzionante con le corrispondenti unità del sistema ausiliario. I punti di interscambio indicati in Figura 1 possono essere usati per collegare le unità di sostituzione.

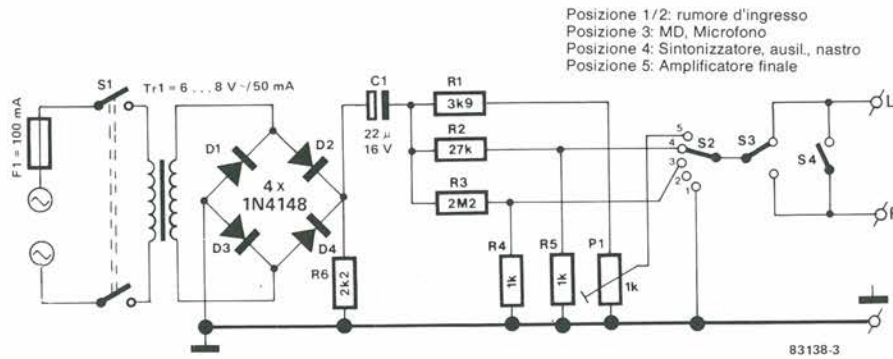
Figura 2. Cavetto di prova per l'incrocio del canale destro con il canale sinistro, in caso che i connettori siano del tipo DIN. I collegamenti per i canali destro e sinistro nella spina sono invertiti rispetto a quelli della presa. Il cavetto di prova dovrà poi essere collegato tra l'amplificatore e l'unità d'ingresso (giradischi, radiosintonizzatore, eccetera).

2a



b





Posizione 1/2: rumore d'ingresso  
 Posizione 3: MD, Microfono  
 Posizione 4: Sintonizzatore, ausil., nastro  
 Posizione 5: Amplificatore finale

5-41  
 audio-segugio  
 all'opera  
 elektor maggio 1984

Figura 3. Un'economica alternativa ad un "vero" generatore di segnali. Questo semplice generatore a 100 Hz produce un gran numero di armoniche, che danno la possibilità di controllare anche la risposta alle alte frequenze.

### Controllo del bilanciamento

Se viene collegato un altoparlante tra i terminali "caldi" dell'amplificatore stereo (i due terminali di massa rimangono "aperti"), il suono verrà emesso dall'altoparlante anche se uno solo dei canali funziona in modo corretto. Se non è possibile udire alcun suono, nessuno dei due canali funziona. Con un altoparlante collegato come descritto in precedenza, applicare un segnale mono ad entrambi i canali e portare il selettore mono/stereo in posizione "mono". Con il controllo di bilanciamento in posizione centrale, nessun suono verrà emesso dall'altoparlante, mentre sarà possibile udire un suono sempre crescente quando il controllo del bilanciamento verrà spostato verso destra o verso sinistra. Il livello sonoro zero coinciderà spesso con la solita posizione sulle "ore 12" del controllo di bilanciamento. Poichè viene usato un solo altoparlante, la coincidenza non è il risultato di uno sbilanciamento acustico (cioè un'errata collocazione degli altoparlanti), ma piuttosto di uno sbilanciamento elettronico tra i due canali (potrebbe dipendere anche dalla posizione errata della manopola del controllo di bilanciamento sul suo alberino).

### Generatore di segnali

Prima di tirare in ballo il generatore di segnali (se ne avete uno), ricordatevi che anche voi stessi potete essere un eccellente generatore di ronzio. Prendete tra l'indice ed il pollice uno spezzone di filo nudo ed inseritelo nell'ingresso che volete controllare. Prima di eseguire questa operazione, ricordatevi di abbassare il volume!

Un'alternativa migliore, anche se ancora abbastanza economica, è il circuito di prova mostrato in Figura 3: lo crediate o meno, questo circuito vi mette in condizione di effettuare anche il controllo della risposta in alta frequenza! Viene impiegato un piccolo trasformatore (per esempio un trasformatore per campanelli), la cui tensione secondaria viene rettificata; la componente continua di questa tensione raddrizzata viene eliminata da C1. Il segnale risultante è una tensione alternata che ha la frequenza fondamentale di 100 Hz ed un gran numero di armoniche (prodotte principalmente dall'effetto della curva caratteristica dei diodi D1...D4). Quando S2 viene commutato dalla posizione 1 alla posizione 2, l'unità alla quale il circuito è collegato produrrà un ronzio più forte. In caso diverso, saremo in presenza di un guasto.

### Interruzioni e cattivi contatti

Se il suono è debole e stridulo, cioè se il segnale d'uscita è composto quasi esclusivamente da alte frequenze, potremmo essere in presenza di un'interruzione circuitale, come la rottura di un

cavo (le alte frequenze passano ancora, per quanto attenuate, attraverso la capacità presente tra i due punti di interruzione).

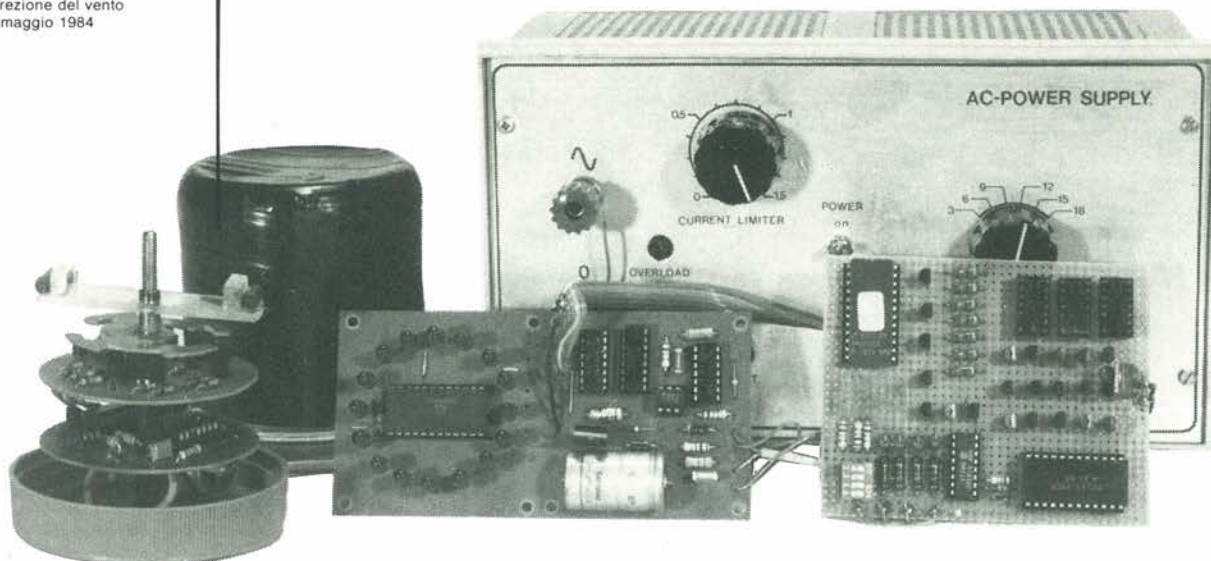
Ci sono crepitii o forti rumori quando viene azionato un commutatore? questo difetto potrebbe essere causato da perdite nei condensatori di accoppiamento.

Immediatamente dopo ciascun condensatore di accoppiamento di uscita, ed immediatamente prima di un condensatore di accoppiamento d'ingresso, è necessaria una resistenza collegata a massa, per mantenere costante la c.c. ai capi del condensatore. Se ai capi della resistenza appare una c.c., il condensatore è in perdita e dovrà essere sostituito. Durante questo tipo di controlli, l'amplificatore deve essere acceso: usando un tester (portata minima di tensione c.c.), misurare la tensione c.c. ai capi delle resistenze interessate. Spesso la causa di crepitii e ticchettii è molto più semplice, ed il guasto potrà essere rimediato con la seguente "terapia d'urto". Spegner l'amplificatore e ruotare un paio di volte avanti ed indietro ciascun commutatore: in questo modo sarà di solito possibile pulire i contatti del commutatore. Questo tipo di rimedio è anche molto utile per i collegamenti sul retro dell'amplificatore: togliere e reinserire un paio di volte ciascuna spina. I connettori fono dovranno essere ruotati intorno al loro asse, in modo da spostare le aree di contatto. Dovrà essere rinnovato il punto di contatto dei collegamenti di altoparlante, togliendo l'isolamento ad un nuovo tratto di fili. NON stagnare questi nuovi terminali!

Nulla vieta, naturalmente, di eseguire questo "trattamento d'urto" di tanto in tanto, anche se non ci sono guasti.

### Controllo di fase

Se il suono non va poi tanto male, ma non sembra veramente "stereo", si può scommettere che la fase dei collegamenti agli altoparlanti non è corretta. Il controllo più efficace per eliminare questo inconveniente è ancora quello effettuato mediante una batteria. Prendere una pila da 1,5 V e smontare la tela che protegge la parte anteriore del cono dell'altoparlante. Staccare i fili dell'altoparlante dalle prese sul pannello posteriore dell'amplificatore, collegare uno di questi fili al terminale + della batteria e con l'altro toccare brevemente il terminale. Il cono dell'altoparlante farà un movimento in avanti oppure all'indietro. Ripetere questa operazione con il secondo altoparlante. Entrambi i coni dovranno muoversi nella stessa direzione se i fili degli altoparlanti saranno collegati alla batteria con la medesima polarità. In caso diverso, sarà necessario invertire le connessioni di uno degli altoparlanti all'amplificatore.



# indicatore della direzione del vento

R. Bakx

“indicatore girevole, di solito a forma di galletto, montato in luoghi elevati, per esempio campanili, per mostrare la direzione in cui spira il vento” (Oxford English Dictionary)

**L'articolo che trattava dell'anemometro digitale, pubblicato nel numero di febbraio 1984, ci ha spronato ad ampliare la “stazione meteorologica di Elektor”, aggiungendo un indicatore elettronico della direzione del vento. Questo strumento consiste di un sistema “rilevatore” e di un sistema “visualizzatore”, collegati tra loro mediante due fili. Il visualizzatore indica la direzione del vento tramite 16 LED. E' anche possibile completare lo strumento con un display alfanumerico.**

In questo indicatore elettronico della direzione del vento, la posizione di una banderuola segnamento viene dapprima tradotta in un codice, che poi viene trasmesso al sottostante sistema visualizzatore a 16 LED, che è montato su un circuito stampato a forma di rosa dei venti. Il grande vantaggio della disposizione qui scelta è che sono necessari soltanto due fili per collegare la sezione rilevatrice (sottostante alla banderuola) alla sezione di lettura (con la rosa dei venti). Questi due fili vengono usati per alimentare entrambe le sezioni, nonché per trasmettere al visualizzatore l'informazione riguardante la direzione del vento.

## Principio di funzionamento

Dato che in questo progetto è stato considerato importante che il collegamento tra le due sezioni fosse semplice, si è dovuto trovare un metodo facile che permettesse il passaggio contemporaneo su una singola linea dei segnali relativi ai dati di misura e della tensione di alimentazione. Come vedremo più tardi, abbiamo risolto questo problema in un modo alquanto insolito.

La direzione del vento viene tradotta in un codice a quattro bit, mediante un disco di codifica, che ruota di conserva alla banderuola segnamento, e quattro sensori a riflessione montati al di sotto del disco. Questo codice dovrà essere poi inviato al ricevitore, in forma

seriale. Il segnale viene qui riconvertito in un codice a quattro bit, che viene usato per pilotare i 16 LED della rosa dei venti. Lo schema a blocchi di Figura 1a mostra le parti principali del circuito.

Prima di prendere in considerazione lo schema elettrico, dobbiamo vedere come sia possibile trasmettere l'alimentazione ed i segnali sulla medesima linea. Ciò renderà più facile comprendere lo schema del circuito. Lo schema di Figura 1b mostra come è possibile ottenere questo “traffico” su due fili. In linea di principio, il trasformatore di alimentazione è situato tra il rilevatore e la sezione di lettura. Ciascuna sezione ha il suo proprio raddrizzatore di alimentazione, che consiste in un diodo ed un condensatore elettrolitico. I dati vengono trasferiti tra le due sezioni mediante un transistor che si trova in corrispondenza al terminale “trasmittente” ed un accoppiatore ottico che si trova in corrispondenza al terminale “ricevente” (visualizzatore). Il trasformatore è collegato al cavo di connessione, come è possibile osservare in figura, tramite un diodo ed una resistenza. Le semionde positive della frequenza di rete sono ora elaborate in modo diverso da quelle negative. Ciò che succede durante una semionda positiva, è mostrato in Figura 1c. La tensione del trasformatore viene rettificata ad una semionda mediante un diodo, in modo che i due condensatori elettrolitici vengano caricati e

le due sezioni del circuito vengano alimentate da una tensione c.c. I diodi evitano che i condensatori possano scaricarsi durante le semionde negative. Come abbiamo già detto, le semionde negative sono trattate in modo diverso, e ciò risulta dalla Figura 1d. Se il transistor T conduce, i due fili sono cortocircuitati. Se T non conduce, passerà una corrente attraverso il LED che si trova nell'accoppiatore ottico della sezione di lettura, cosicché il transistor affacciato a questo LED emetterà un impulso. Il funzionamento dell'intero circuito è facile da comprendere, perché le soluzioni adottate sono piuttosto intelligenti; quando T conduce, non appare l'impulso all'uscita dell'accoppiatore ottico ma, quando T è interdetto, verrà emesso un impulso per ciascuna semionda negativa. In questo modo, è possibile trasmettere segnali durante

l'intervallo in cui non ci sono impulsi di alimentazione sulla linea. Le linee trasportano di conseguenza impulsi positivi ad una frequenza di 50 Hz ed impulsi negativi "forniti" da T. Il risultato è mostrato in Figura 1d. Usiamo il numero di impulsi a 50 Hz che si trovano tra due impulsi negativi come informazione riguardante la direzione del vento. Per quanto riguarda la parte logica, il circuito indicatore della direzione del vento è suddiviso in due sezioni: il rilevatore (Figura 2) ed il dispositivo di lettura (Figura 3). Inizieremo a descrivere il circuito rilevatore, che verrà più tardi fissato alla banderuola segnamento. L'alimentazione per questa parte del circuito è attuata da D5, C2, C3 e dal regolatore IC3. Gli impulsi a 50 Hz, che appaiono al punto P, vengono trasformati in onda quadra mediante N3. Le interferenze ad

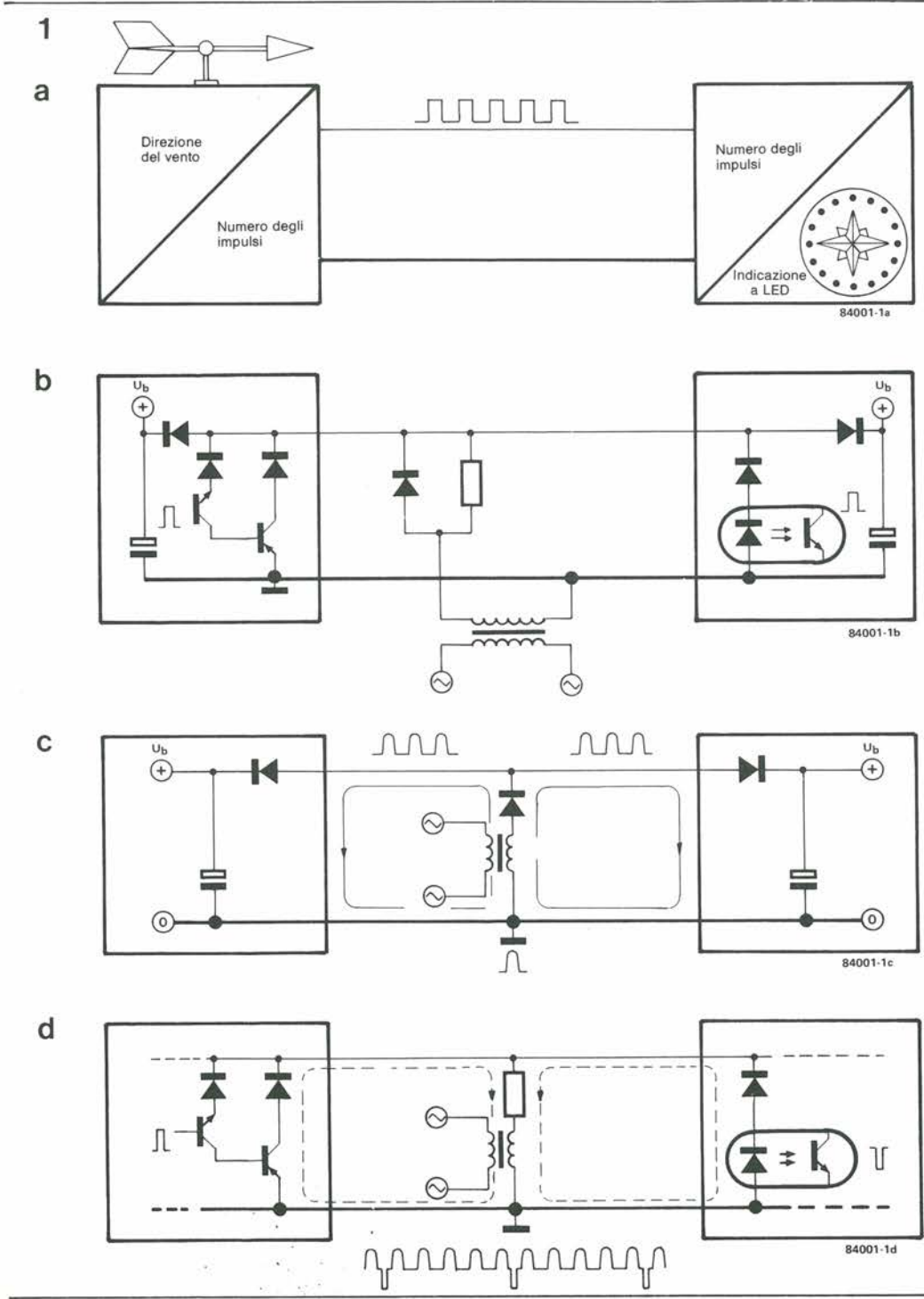


Figura 1. Schema a blocchi semplificato dell'indicatore della direzione del vento e tre disegni che illustrano come è possibile trasmettere sia l'alimentazione che i segnali dei dati sulla medesima coppia di fili.

alta frequenza captate dalle linee sono eliminate dal circuito R-C formato da R18/C4. I segnali negativi sulla linea sono bloccati dal diodo D6.

La banderuola segnamento è fissata ad un disco codificatore Gray a quattro bit, mediante il quale potranno essere codificate sedici diverse direzioni del vento. Il disco è formato da sezioni opache e lucide, e la sua forma è mostrata in Figura 5. Un segnale digitale viene fornito da quattro sensori a riflessione (IC11...IC14), montati sotto al disco. Potranno essere usati, come soluzione alternativa, quattro LED e quattro fototransistori, con la luce dei diodi trasmessa attraverso il disco, in direzione dei fototransistori. Questi ultimi componenti sono indicati, nell'elenco dei componenti, con le sigle D1...D4 e T1...T4: si tratta semplicemente di quattro LED rossi e di quattro normali fototransistori.

Il segnale proveniente da ciascun sensore è amplificato da uno stadio a transistoro (T5...T8), cosicché l'uscita di ciascuno stadio è a livello logico "0" se il fototransistore non è illuminato ed a livello "1" nel caso opposto. L'informazione a 4 bit riguardante la direzione del vento sarà perciò disponibile ai punti P0...P3. Questo codice viene applicato agli ingressi di predisposizione del contatore IC1. Questo contatore è predisposto in modo che possa contare all'indietro da un valore prestabilito a zero. Quando raggiunge il valore zero, il contatore si predispongono automaticamente alla cifra di partenza, tramite il multivibratore monostabile formato da N1 ed

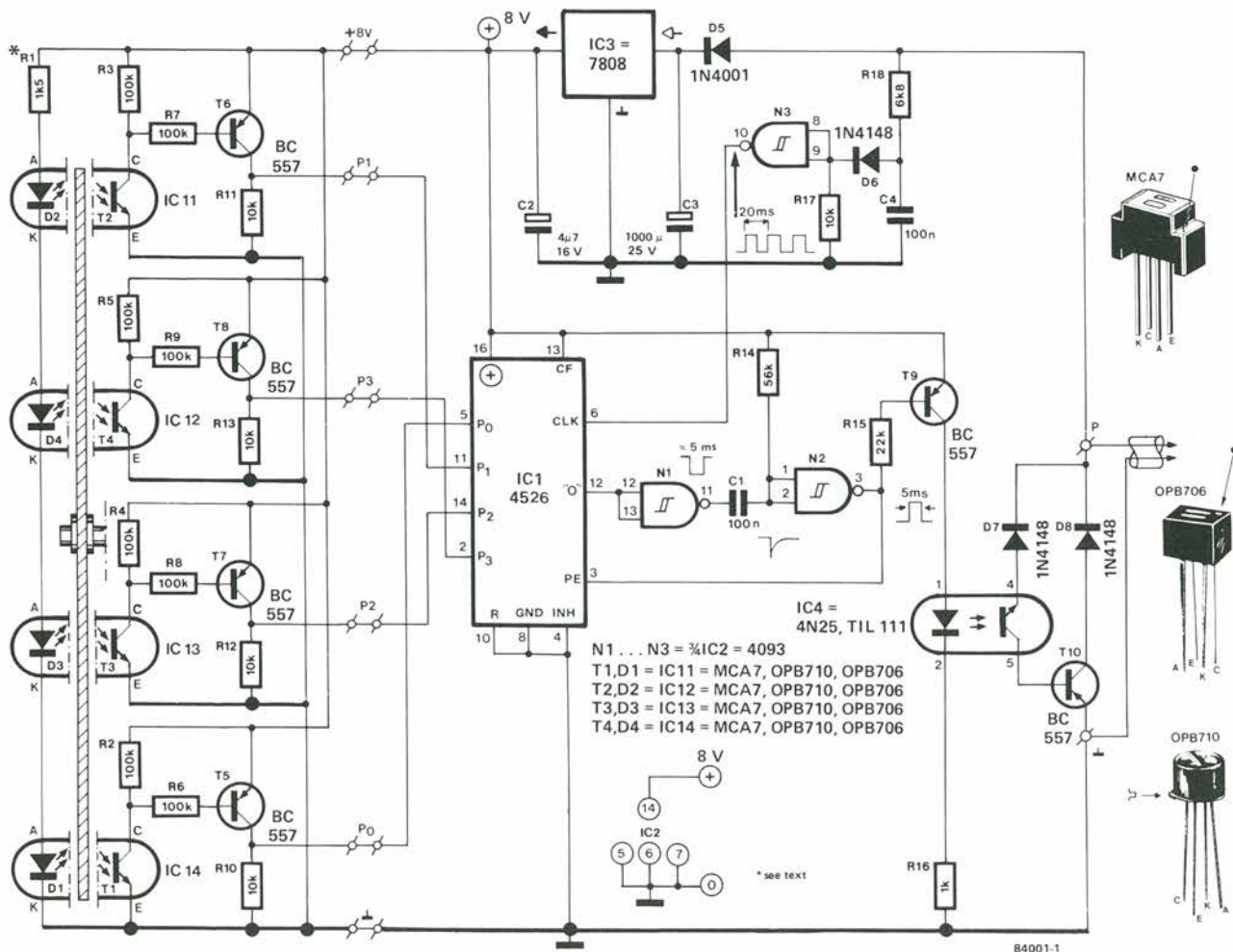
N2. Il segnale di clock (50 Hz) è fornito da N3. Gli impulsi forniti da N2 durano circa 5 ms, e vengono usati per trasmettere l'informazione relativa alla direzione del vento verso il "ricevitore". La comparsa dell'impulso provoca, tramite T9, lo spegnimento del LED (e perciò la disattivazione del fototransistore) nell'accoppiatore ottico; perciò anche T10 sarà interdetto. L'istante in cui N2 emette l'impulso viene determinato dal valore predisposto nel contatore. Poiché IC1 è sincronizzato dalla frequenza di rete, il numero degli impulsi di rete che si trovano tra due impulsi successivi di N2 è esattamente uguale al codice binario presente agli ingressi di predisposizione. Supponiamo, per esempio, che il codice binario sia 1001 (= 9). Di conseguenza, N2 emetterà un "impulso di informazione" dopo ciascuna serie di 9 impulsi di rete. Poiché il transistoro T10 ed il fototransistore di IC4 devono essere protetti contro gli impulsi di rete positivi, sono stati montati due diodi in più (D7 e D8).

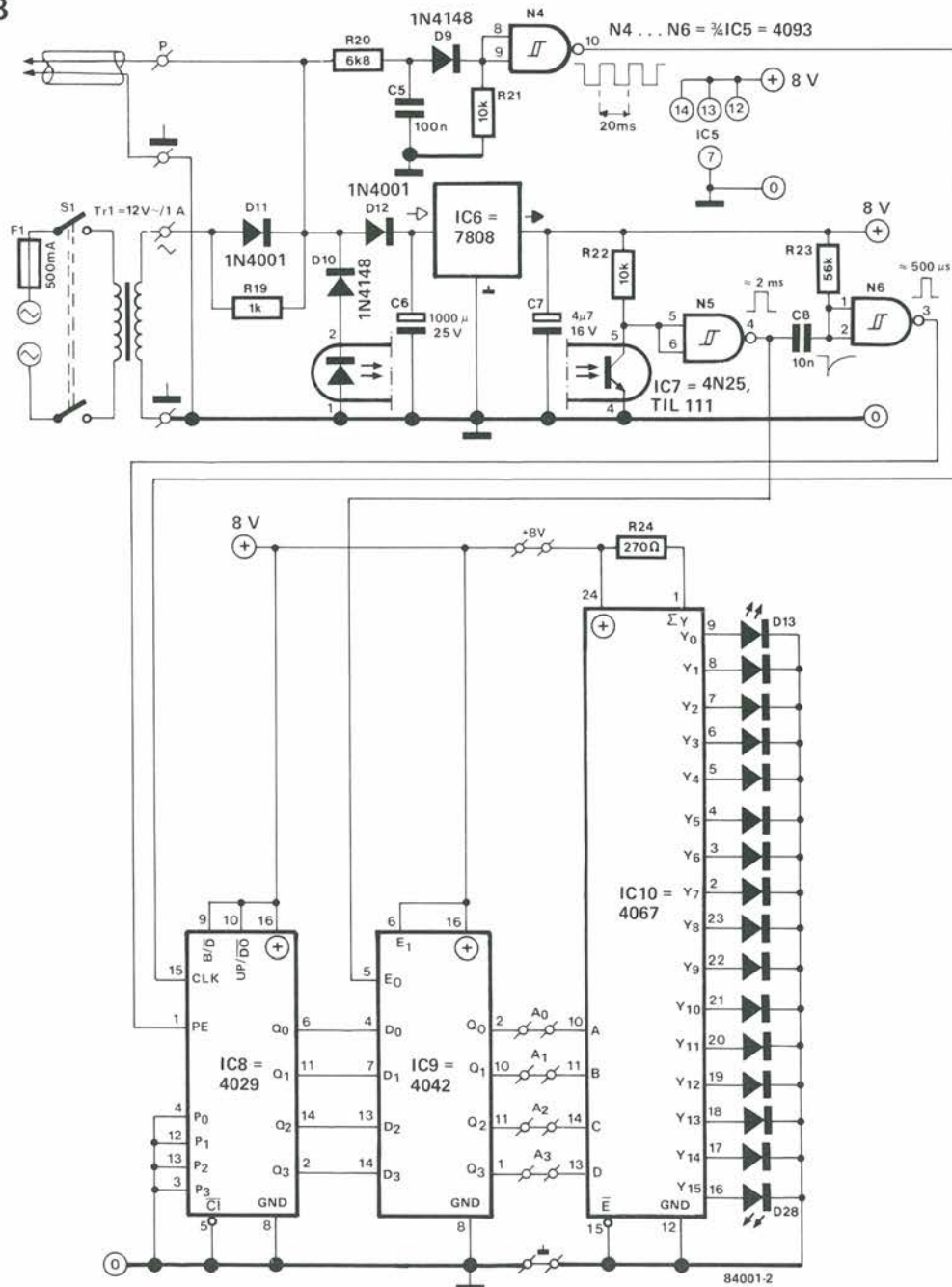
Lo schema della sezione di lettura è mostrato in Figura 3: possiamo vedere il trasformatore di rete con il diodo (D11) e la resistenza (R19), proprio come sono stati disegnati nello schema a blocchi. La sezione di alimentazione (D12, C6, C7 ed IC6) ed il circuito generatore degli impulsi di clock (R20, R21, C5, D9 ed N4) sono identici alle corrispondenti parti del circuito di rilevazione.

Quando viene ricevuto un impulso di informazione proveniente da N2, il LED dell'accoppiatore ottico IC7 si accende, mandando in conduzione il fototransistore, che

Figura 2. Schema elettrico della sezione di rilevamento, con il disco di codifica ed i sensori a sinistra. A seconda del codice ricevuto, IC1 definisce quando un impulso di informazione deve essere trasmesso alla sezione di lettura.

2





IC13	IC14	IC11	IC12	Direzione del vento
1	1	1	1	NO
1	1	1	0	NNO
1	0	1	0	N
1	0	1	1	NNE
1	0	0	1	NE
1	0	0	0	ENE
0	0	0	0	E
0	0	0	1	ESE
0	0	1	1	SE
0	0	1	0	SSE
0	1	1	0	S
0	1	1	1	SSO
0	1	0	1	SO
0	1	0	0	OSO
1	1	0	0	O
1	1	0	1	ONO

Figura 3. Circuito di lettura. L'informazione ricevuta viene riconvertita in un codice a quattro bit che definisce quale dei 16 LED che formano la "rosa dei venti" dovrà accendersi.

a sua volta cortocircuita a massa l'ingresso di N5. In questa sezione, viene usato il diodo D10 come protezione contro gli impulsi di tensione positiva sulla rete. L'informazione seriale viene riconvertita in un codice a quattro bit da IC8 ed IC9.

IC8 è un contatore a quattro bit che conta in avanti a partire da 0000, alla frequenza di clock. Ogni volta che il circuito riceve un impulso di informazione, il contatore viene azzerato tramite il multivibratore monostabile formato da N5 ed N6. Immediatamente prima che IC8 sia resettato, il valore di conteggio viene riversato nel latch IC9, grazie ad un impulso di trasferimento proveniente da N5. Il latch memorizza questo valore di conteggio fino all'arrivo di un nuovo impulso di informazione. Le uscite del latch danno perciò la stessa informazione a 4 bit che era stata fornita agli ingressi di predisposizione di IC1. Il codice passa poi ad IC10, che funziona come decodificatore da 4 a 16 linee. Le 16 uscite pilotano i LED che indicano la direzione del

vento.

La corrente che passa attraverso i LED viene limitata a circa 20 mA dalla resistenza R24. La tabella a lato dello schema mostra la corrispondenza tra i codici binari e le diverse direzioni del vento.

### Costruzione meccanica

Tutte le parti elettroniche appena descritte dovranno essere montate sui quattro circuiti stampati di Figura 4. Le due basette a forma circolare contengono la sezione di rilevamento, mentre alla sezione di lettura sono riservate le altre due schede. Queste quattro schede sono fornite, incise su un'unica piastra, tramite il servizio EPS e dovranno essere separate tra loro prima di montare i componenti. Le due basette che contengono il circuito di lettura potranno essere anche lasciate unite, a seconda dello spazio disponibile nel mobiletto. La costruzione meccanica della sezione rilevatrice (completa di banderuola segnamento) è piuttosto semplice. Ci sono

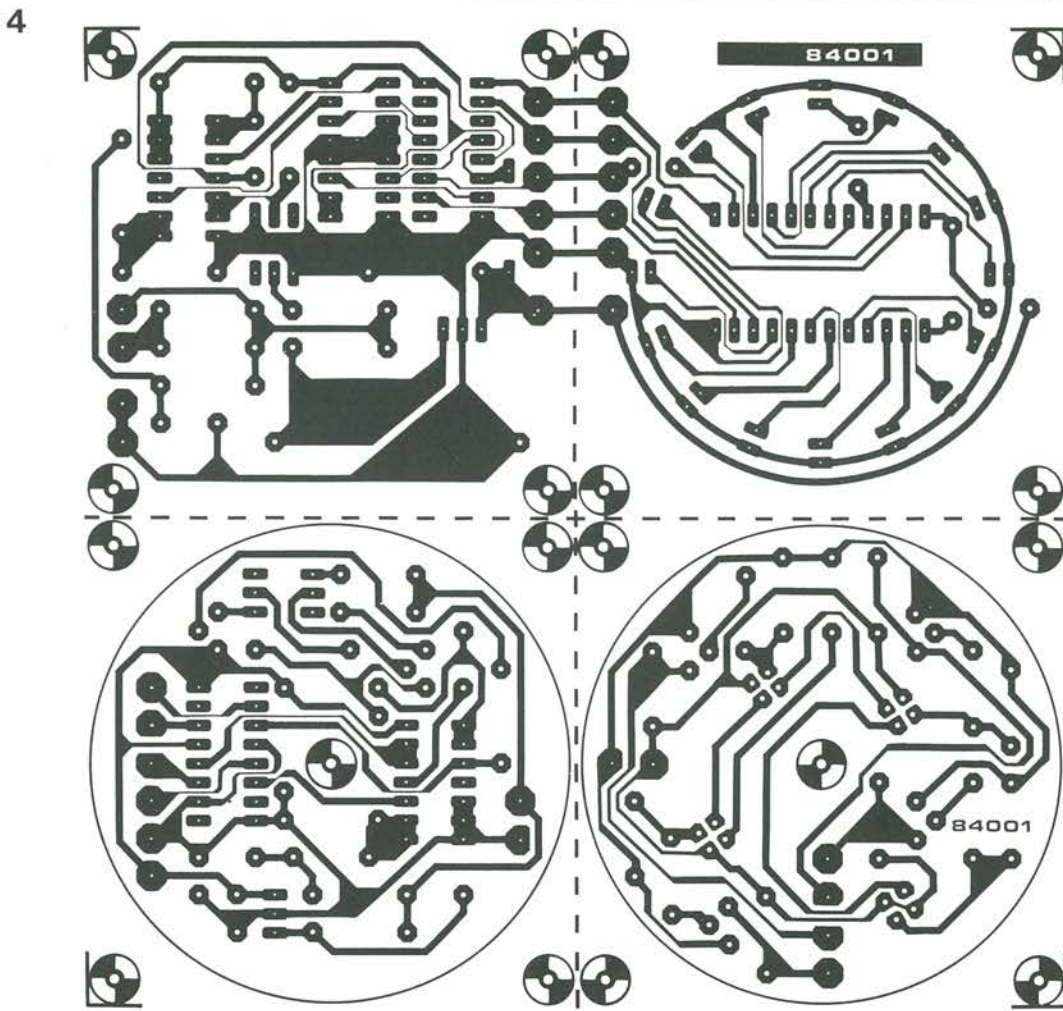


Figura 4. Piste di rame dei circuiti stampati per l'indicatore della direzione del vento; la basetta è composta da quattro sezioni che dovranno essere separate l'una dall'altra. Le due schede di visualizzazione potranno rimanere unite se c'è spazio sufficiente per accoglierle.

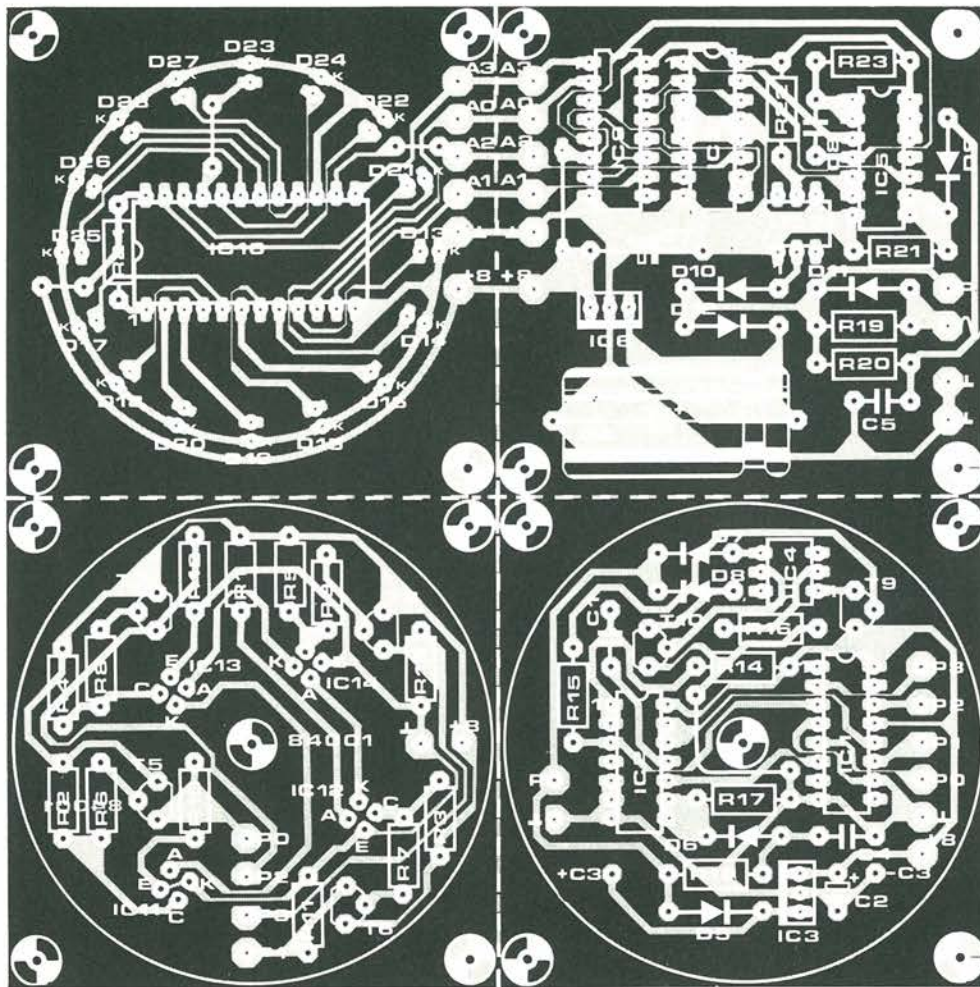
diversi particolari che tuttavia devono essere presi in considerazione. Sarà necessario decidere se usare sensori ottici a riflessione o coppie LED-fototransistore. I sensori a riflessione sono raccomandabili per il fatto che, con l'altro sistema, la schermatura contro le luci parassite potrebbe costituire un grosso problema. La configurazione del disco di codifica è mostrata in Figura 5, ed è ripetuta, in grandezza naturale, nelle pagine riservate ai circuiti stampati. Il disco potrà avere il profilo di Figura 5a od il profilo di Figura 5b. Usando sensori a riflessione dovrà essere usato il profilo 5a, mentre il 5b dovrà essere usato quando vengono montati i LED sopra il disco ed i fototransistori al di sotto, sul circuito stampato. Le due schede di rilevazione devono essere ritagliate in forma di disco prima di montare i componenti.

Il condensatore C3 dovrà essere saldato sul lato rame della scheda, disponendo possibilmente una separazione isolante tra esso e le piste. Sei punti delle due schede (P0, P1, P2, P3, +8 V e massa) dovranno essere collegati mediante trecciole isolate oppure con una piastrina multipolare. Le schede dovranno essere poi unite tra loro in forma di "sandwich" e tenute in posizione da un'astina del diametro di 5 mm fissata alla base dell'alloggiamento del "trasmettitore". Il disco di codifica è fissato in modo che possa ruotare liberamente sopra i sensori a riflessione, ad una distanza di circa 1 mm da essi.

Un altro disco di plastica, sul quale sono incollati, su posizioni diametralmente opposte, due forti magneti, viene fissato rigidamente sopra il disco di codifica, in modo che i due dischi ruotino insieme. L'intera costruzione

Figura 5. Profilo del disco di codifica (qui rappresentato in scala 1:2). Probabilmente, il modo più facile di costruire questo disco è di ricavarlo da una lastra per circuiti stampati mediante un seghetto da traforo. La Figura 5a è la dima da usare quando vengono usati i sensori a riflessione, mentre il disco di Figura 5b serve per i sensori a trasmissione, con i LED al di sopra del disco ed i fototransistori al di sotto. I dischi sono anche disegnati in grandezza naturale nella rubrica Service.





#### Elenco dei componenti

##### Resistenze:

R1 = 1k5 1/8 W (vedi testo)  
 R2 ... R9 = 100 k 1/8 W  
 R10 ... R13 = 10 k 1/8 W  
 R14, R23 = 56 k  
 R15 = 22 k  
 R16, R19 = 1 k  
 R17, R21, R22 = 10 k  
 R18, R20 = 6k8  
 R24 = 270 Ω

##### Condensatori:

C1, C4, C5 = 100 n  
 C2, C7 = 4μ7/16 V  
 C3, C6 = 1000 μ/25 V  
 C8 = 10 n

##### Semiconduttori:

D1 ... D4 = LED, vedi testo  
 D5, D11, D12 = 1N4001  
 D6 ... D10 = 1N4148  
 D13 ... D28 = LED, rosso  
 T1 ... T4 = fototransistore  
 a basso prezzo, vedi testo  
 T5 ... T10 = BC 557  
 IC1 = 4526  
 IC2, IC5 = 4093  
 IC3, IC6 = 7808  
 IC4, IC7 = 4N25, TIL 111  
 IC8 = 4029  
 IC9 = 4042  
 IC10 = 4067  
 IC11 ... IC14 = OPB 706,  
 OPB 710

##### Varie:

Tr1 = Trasformatore di rete  
 12 V/1 A  
 S1 = Interruttore di rete  
 bipolare  
 F1 = Fusibile da 500 mA  
 con portafusibile

dovrà essere alloggiata entro un vasetto di vetro (tipo marmellata) montato capovolto: il disco con i magneti potrà così ruotare liberamente. Il cavo di collegamento dovrà essere fatto passare attraverso un foro praticato nel coperchio del vasetto e saldato al circuito stampato inferiore. L'apertura dovrà essere poi ben sigillata. Le modalità di costruzione sono illustrate in Figura 6 ma, come al solito, le idee dei singoli costruttori daranno probabilmente origine a notevoli varianti costruttive.

Ora, tutta la parte elettronica è protetta in un contenitore ermetico ma, se non si vuole che i componenti fotosensibili vengano influenzati dalla luce ambiente, l'involucro dovrà essere anche reso opaco. Lo scopo può essere facilmente ottenuto dipingendo di nero l'esterno del barattolo.

Osservando la costruzione meccanica, risulta evidente il motivo per cui raccomandiamo di usare, se possibile, sensori a riflessione. Usando LED e fototransistori, i LED dovranno essere fissati, in qualche modo, al di sopra del disco di codifica e dovranno ricavare la corrente da un proprio alimentatore. La costruzione dell'involucro esterno dipende molto dal materiale disponibile. Potranno essere utilizzati, per esempio, tubi da grondaia in PVC. Su questo rivestimento esterno dovranno essere montati i cuscinetti per l'alberino della banderuola, e sarà necessario un coperchio che impedisca all'acqua piovana di raggiungere questi cuscinetti. Ricordarsi di praticare un foro sul fondo dell'alloggiamento, in modo da evitare la formazione di condensa. Un altro disco di plastica (o semplicemente una

striscia di plastica), con due forti magneti incollati alle estremità opposte, dovrà essere fissato all'estremo libero dell'alberino della banderuola. Fare attenzione a fissare i magneti con la giusta polarità, perché il loro scopo è di indurre i magneti montati all'interno a ruotare insieme ad essi.

Potrebbe rivelarsi necessario effettuare alcuni esperimenti per trovare il giusto valore della resistenza R1. I sensori a riflessione hanno spesso una sensibilità talmente buona da permettere una riduzione della corrente nei LED, allo scopo di eliminare la possibilità di eventuali riflessioni "false". Con i normali LED, la corrente dovrà forse essere leggermente aumentata. Il metodo per tentativi sarà probabilmente il migliore da usare in questo caso, fino a trovare un valore che permetta di visualizzare correttamente tutte le direzioni dei venti.

La costruzione del visualizzatore è semplicissima. A seconda del mobiletto usato, le due schede potranno essere lasciate unite o separate, ma in quest'ultimo caso dovranno essere collegati tra loro i punti A0...A3, +8 V e massa sulle due schede. Per contenere questa sezione entro dimensioni minime, queste due schede potranno essere montate a forma di "sandwich".

Il trasformatore è collegato alla sezione del visualizzatore ma potrà anche essere inserito in un punto qualsiasi del cavo di collegamento. In quest'ultimo caso, D11 ed R19 dovranno essere naturalmente montati sul trasformatore e non sul circuito stampato. Questa unità dovrà poi essere collegata al cavo come mostrato in Figura 7. Ora non rimane altro che tarare la

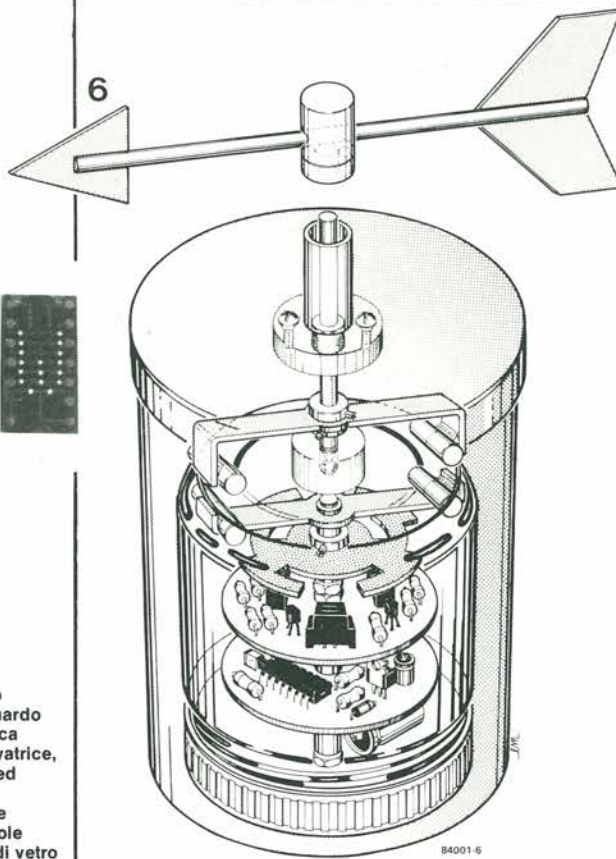


Figura 6. Questo disegno permette di dare uno sguardo alla costruzione meccanica interna della sezione rilevatrice, completa di banderuola ed "astuccio". Le parti elettroniche sono protette contro l'umidità sigillandole all'interno di un vasetto di vetro per marmellata. L'accoppiamento tra la banderuola ed il disco di codifica è di tipo magnetico.

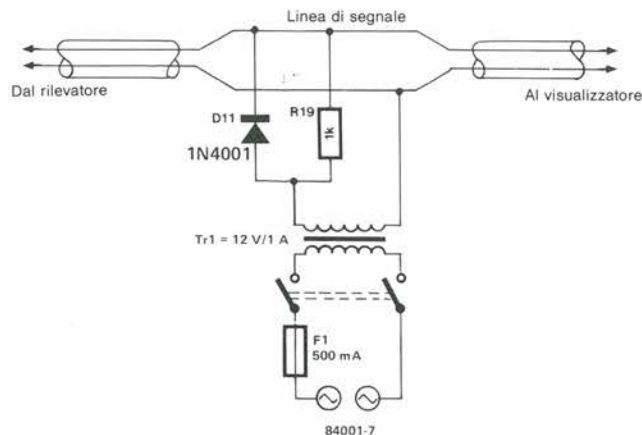
banderuola segnamento elettronica. Puntare dapprima la banderuola verso Nord, aiutandosi con una bussola. Ruotare poi l'intero alloggiamento fino a quando la lettura sarà "Nord". Se la sezione del rilevatore è già fissata in modo stabile sul tetto, la taratura potrà essere anche eseguita ruotando il disco che porta i magneti, che si trova all'estremità dell'albero della banderuola.

## N S E O

Il circuito può essere un poco modificato, allo scopo di permettere la visualizzazione delle 16

Figura 7. Il trasformatore non dovrà essere necessariamente collocato vicino al dispositivo di lettura, ma potrà essere inserito in un punto qualsiasi del cavo di connessione tra sezione esterna e sezione interna. Quando viene scelta questa soluzione, D11 ed R19 saranno uniti al trasformatore e non sul circuito stampato.

7

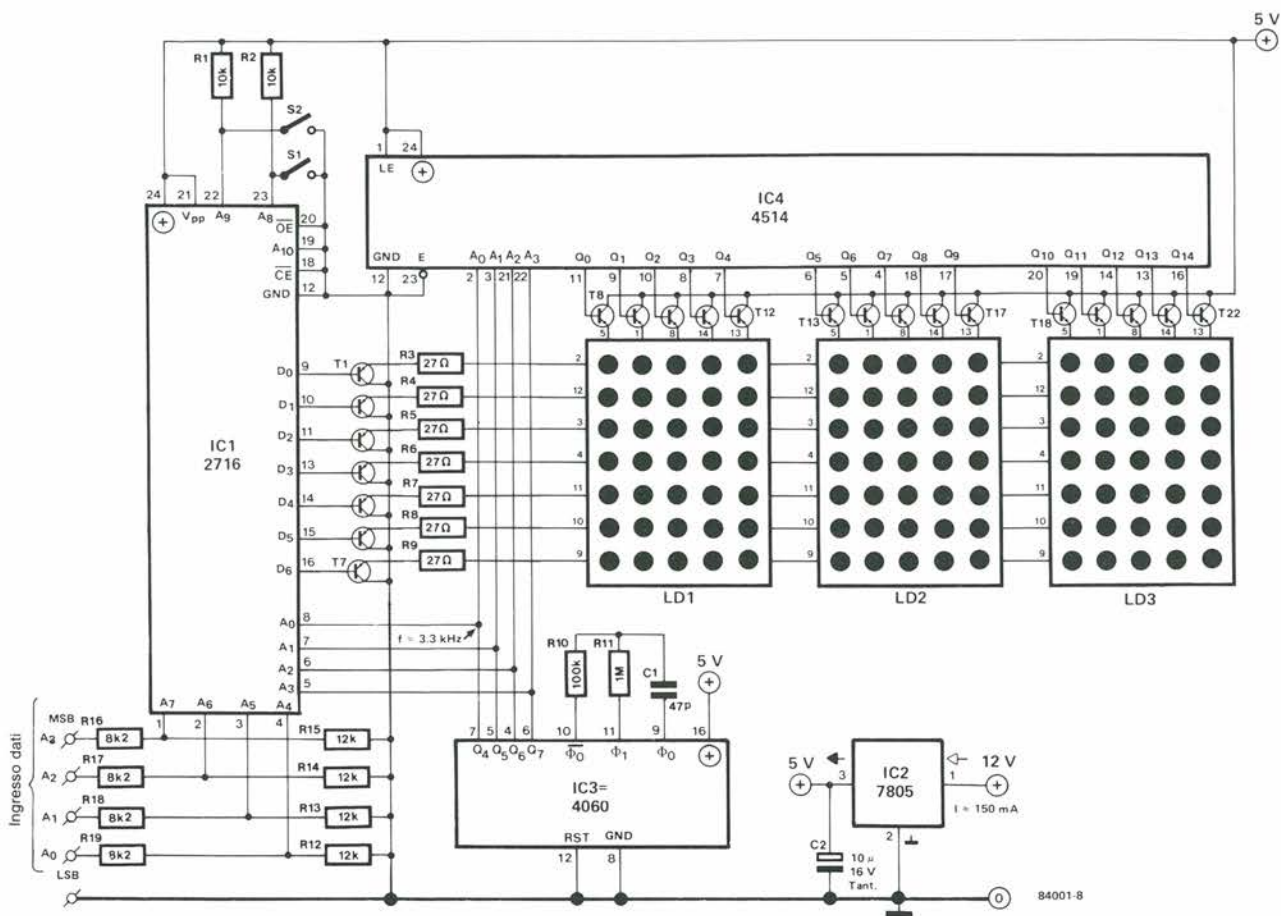


direzioni del vento su tre display a matrice di punti. Lo schema di questa "aggiunta" è disegnato in Figura 8. Il circuito deve essere collegato alle uscite dati A0...A3 della sezione di lettura (uscite di IC9). I "dati" per pilotare i display sono contenuti in una EPROM da 2 Kbyte (IC1). Il tabulato esadecimale del contenuto di questa EPROM è mostrato in Tabella 1. I display sono collegati in multiplex mediante il contatore/oscillatore IC3 ed il decodificatore da 4 a 16 linee IC4. Le uscite di IC4 pilotano le 15 colonne di LED del display, tramite i transistori T8...T22. La frequenza di multiplex è circa 3,5 kHz.

Le righe di LED dei display sono pilotate dalle uscite dati D0...D6 della EPROM. I segnali di uscita sono amplificati dai transistori T1...T7 e la corrente che attraversa i LED è determinata dai valori delle resistenze R3...R9. La corrente massima dei LED è di circa 75 mA. La corrente ha questo valore perché ciascun LED è pilotato soltanto per 1/16 del tempo totale.

Le quattro uscite di IC4 sono anche collegate agli ingressi di indirizzamento A0...A3 di IC1 cosicché, quando una certa colonna di LED è pilotata, appaiono all'uscita gli opportuni dati di "commutazione". Gli ingressi di indirizzamento A4...A7 ricevono i dati dal latch che si trova nella sezione di visualizzazione cosicché, a seconda della direzione del vento, verrà selezionato un certo indirizzo a 16 bit della EPROM: questo indirizzo contiene le informazioni necessarie a visualizzare il giusto valore. I partitori di tensione R12...R15 / R16...R19 servono a ridurre il livello dei segnali ad 8 V dei circuiti di lettura al livello di 5 V necessario per il display. Dovrà essere stabilito infine un collegamento tra i piedini 12 e 21 del 2716. Ciò è necessario per selezionare la giusta sezione della EPROM. L'alimentazione di questa parte del circuito viene attuata mediante uno stabilizzatore separato a 5 V (IC2). La corrente assorbita è di circa 150 mA.

■



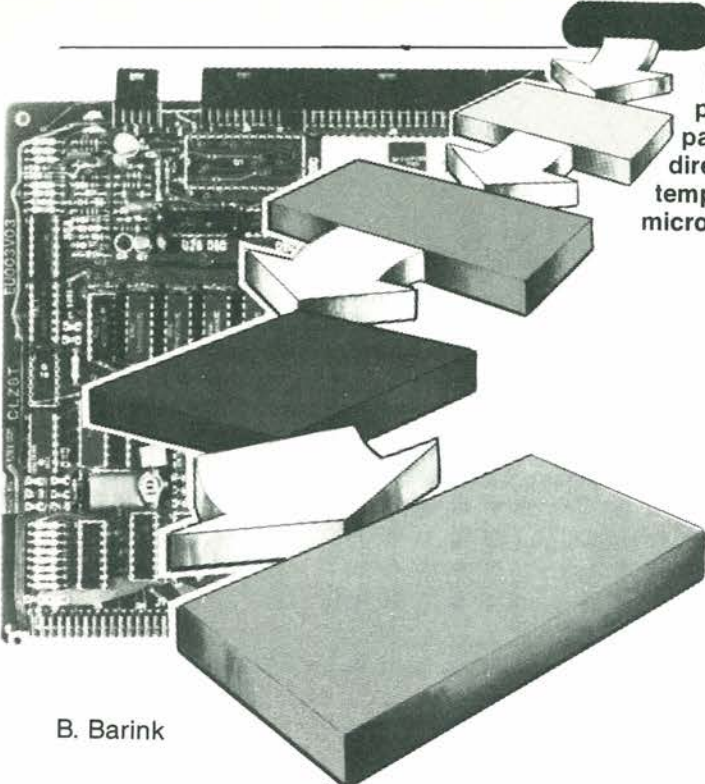
LD1 ... LD3 = 3xTIL 305 (MAN 2A)  
 T1 ... T7 = BC557B  
 T8 ... T22 = BC547B

Figura 8. Circuito addizionale, che permette di indicare la direzione del vento mediante tre display a matrice di punti.

	0	1	2	3	4	5	6	7	8	9	A	B	C	D	E	F
F000:	FF	FF	FF	FF	FF	C1	BE	BE	BE	C1	FF	FF	FF	FF	FF	FF
F010:	C1	BE	BE	BE	C1	9E	AE	E6	BA	BC	C1	BF	BF	BE	C1	FF
F020:	9E	AE	B6	BA	BC	9E	AE	B6	BA	BC	C1	BE	BE	BE	C1	FF
F030:	9E	AE	B6	BA	BC	C1	BE	BE	BE	C1	FF	FF	FF	FF	FF	FF
F040:	C0	BF	C7	BF	C0	9E	AE	B6	BA	BC	C0	BF	C7	BF	C0	FF
F050:	9E	AE	B6	BA	BC	C0	BF	C7	BF	C0	FF	FF	FF	FF	FF	FF
F060:	FF	FF	FF	FF	FF	9E	AE	B6	BA	BC	FF	FF	FF	FF	FF	FF
F070:	9E	AE	B6	BA	BC	9E	AE	B6	BA	BC	C0	BF	C7	BF	C0	FF
F080:	C1	BE	BE	BE	C1	8F	FF	F7	EF	8C	C1	BE	BE	BE	C1	FF
F090:	8C	FF	F7	EF	8C	C1	BE	BE	BE	C1	FF	FF	FF	FF	FF	FF
F0A0:	FF	FF	FF	FF	FF	8F	FF	F7	EF	8C	FF	FF	FF	FF	FF	FF
F0B0:	8F	FF	F7	EF	8C	FF	F7	EF	8C	C1	BE	BE	BE	C1	FF	FF
F0C0:	FF	FF	FF	FF	FF	C0	BF	C7	BF	C0	FF	FF	FF	FF	FF	FF
F0D0:	C0	BF	C7	BF	C0	8F	FF	F7	EF	8C	BF	C7	BF	C0	FF	FF
F0E0:	8F	FF	F7	EF	8C	BF	C7	BF	C0	BF	C7	BF	C0	FF	FF	FF
F0F0:	8F	FF	F7	EF	8C	BF	C7	BF	C0	FF						
F100:	FF	FF	FF	FF	FF	C1	BE	BE	BE	C1	FF	FF	FF	FF	FF	FF
F110:	C1	BE	BE	BE	C1	D9	B6	B6	B6	CD	C1	BE	BE	BE	C1	FF
F120:	D9	B6	B6	B6	CD	D9	B6	B6	B6	CD	C1	BE	BE	BE	C1	FF
F130:	D9	B6	B6	B6	CD	C1	BE	BE	BE	C1	FF	FF	FF	FF	FF	FF
F140:	C0	BF	C7	BF	C0	D9	B6	B6	B6	CD	C0	BF	C7	BF	C0	FF
F150:	D9	B6	B6	B6	CD	C0	BF	C7	BF	C0	FF	FF	FF	FF	FF	FF
F160:	FF	FF	FF	FF	FF	D9	B6	B6	B6	CD	FF	FF	FF	FF	FF	FF
F170:	D9	B6	B6	B6	CD	D9	B6	B6	B6	CD	C6	BF	C7	BF	C0	FF
F180:	C1	BE	BE	BE	C1	8C	FF	F7	EF	8C	C1	BE	BE	BE	C1	FF
F190:	8C	FF	F7	EF	8C	C1	BE	BE	BE	C1	FF	FF	FF	FF	FF	FF
F1A0:	FF	FF	FF	FF	FF	8C	FF	F7	EF	8C	FF	FF	FF	FF	FF	FF
F1B0:	8C	FF	F7	EF	8C	FF	F7	EF	8C	C1	BE	BE	BE	C1	FF	FF
F1C0:	FF	FF	FF	FF	FF	C0	BF	C7	BF	C0	FF	FF	FF	FF	FF	FF
F1D0:	C0	BF	C7	BF	C0	8C	FF	F7	EF	8C	C0	BF	C7	BF	C0	FF
F1E0:	8C	FF	F7	EF	8C	FF	F7	EF	8C	C0	BF	C7	BF	C0	FF	FF
F1F0:	8C	FF	F7	EF	8C	C0	BF	C7	BF	C0	FF	FF	FF	FF	FF	FF

	0	1	2	3	4	5	6	7	8	9	A	B	C	D	E	F
F200:	FF	FF	FF	FF	FF	8C	B6	B6	B6	BE	FF	FF	FF	FF	FF	FF
F210:	8C	B6	B6	B6	BE	L9	B6	B6	B6	CD	8C	B6	B6	B6	BE	FF
F220:	D9	B6	B6	B6	CD	D9	B6	B6	B6	CD	8C	B6	B6	B6	BE	FF
F230:	D9	B6	B6	B6	CD	8C	B6	B6	B6	BE	FF	FF	FF	FF	FF	FF
F240:	C0	BF	C7	BF	C0	D9	B6	B6	B6	CD	C0	BF	C7	BF	C0	FF
F250:	D9	B6	B6	B6	CD	C0	BF	C7	BF	C0	FF	FF	FF	FF	FF	FF
F260:	FF	FF	FF	FF	FF	D9	B6	B6	B6	CD	FF	FF	FF	FF	FF	FF
F270:	D9	B6	B6	B6	CD	D9	B6	B6	B6	CD	C0	BF	C7	BF	C0	FF
F280:	8C	B6	B6	B6	BE	8C	B6	B6	B6	BE	8C	B6	B6	B6	BE	FF
F290:	8C	B6	B6	B6	BE	8C	8C	B6	B6	B6	BE	FF	FF	FF	FF	FF
F2A0:	FF	FF	FF	FF	FF	8C	B6	B6	B6	BE	8C	8C	B6	B6	B6	BE
F2B0:	8C	B6	B6	B6	BE	8C	8C	B6	B6	B6	BE	8C	B6	B6	B6	BE
F2C0:	FF	FF	FF	FF	FF	C0	BF	C7	BF	C0	FF	FF	FF	FF	FF	FF
F2D0:	C0	BF	C7	BF	C0	8C	B6	B6	B6	F7	EF	8C	B6	B6	B6	BE
F2E0:	8C	B6	B6	B6	BE	8C	8C	B6	B6	B6	BE	8C	B6	B6	B6	BE
F2F0:	8C	B6	B6	B6	BE	8C	C6	BF	C7	BF	C0	FF	FF	FF	FF	FF
F300:	FF	FF	FF	FF	FF	8C	B6	B6	B6	BE	FF	FF	FF	FF	FF	FF
F310:	8C	B6	B6	B6	BE	D9	B6	B6	B6	CD	8C	B6	B6	B6	BE	FF
F320:	D9	B6	B6	B6	CD	D9	B6	B6	B6	CD	8C	B6	B6	B6	BE	FF
F330:	D9	B6	B6	B6	CD	8C	B6	B6	B6	BE	FF	FF	FF	FF	FF	FF
F340:	C1	BE	BE	BE	C1	D9	B6	B6	B6	CD	C1	BE	BE	BE	C1	FF
F350:	D9	B6	B6	B6	CD	C1	BE	BE	BE	C1	FF	FF	FF	FF	FF	FF
F360:	FF	FF	FF	FF	FF	D9	B6	B6	B6	CD	FF	FF	FF	FF	FF	FF
F370:	D9	B6	B6	B6	CD	D9	B6	B6	B6	CD	C1	BE	BE	BE	C1	FF
F380:	8C	B6	B6	B6	BE	8C	B6	B6	B6	BE	8C	B6	B6	B6	BE	FF
F390:	8C	B6	B6	B6	BE	8C	8C	B6	B6	B6	BE	8C	B6	B6	B6	BE
F3A0:	FF	FF	FF	FF	FF	8C	B6	B6	B6	BE	8C	8C	B6	B6	B6	BE
F3B0:	8C	B6	B6	B6	BE	8C	8C	B6	B6	B6	BE	8C	B6	B6	B6	BE
F3C0:	FF	FF	FF	FF	FF	C1	BE	BE	BE	C1	FF	FF	FF	FF	FF	FF
F3D0:	C1	BE	BE	BE	C1	8C	B6	B6	B6	BE	8C	B6	B6	B6	BE	C1
F3E0:	8C	B6	B6	B6	BE	8C	B6	B6	B6	BE	8C	C1	BE	BE	BE	C1
F3F0:	8C	B6	B6	B6	BE	8C	C1	BE	BE	BE	C1	FF	FF	FF	FF	FF

Tabella 1. Tabulato esadecimale dei dati che dovranno essere memorizzati nella EPROM IC1.



Un'opportuna gestione dell'ingresso  $\overline{\text{WAIT}}$  dello Z 80 permette a questo piccolo circuito di soddisfare alle particolari condizioni necessarie per programmare direttamente una EPROM, nonostante l'inusitata temporizzazione dei segnali di controllo di questo microprocessore.

# programmare le EPROM con lo Z 80

B. Barink

qualunque sistema Z 80 con RAM statica può essere usato per programmare le EPROM 2716

Per programmare una EPROM 2716, devono essere soddisfatte parecchie condizioni: il piedino  $\overline{\text{OE}}$ , cioè il piedino di attivazione dell'uscita, deve essere a livello "alto"; i livelli sulle linee di indirizzamento e dei dati devono rimanere stabili; il potenziale al piedino  $V_{pp}$  deve aumentare da 5 V fino alla tensione di programmazione di 25 V; infine, il piedino  $\overline{\text{CE}}$  (attivazione del chip) deve andare a livello "alto" per 50 ms. Nulla di veramente insolito, ma è necessaria una certa attenzione in quanto la velocità del processore dovrà essere ridotta e si dovrà tenere conto delle particolari caratteristiche della temporizzazione dei segnali di controllo. E' possibile osservare, in Figura 1, che il segnale  $\overline{\text{RD}}$  (lettura) appare contemporaneamente al segnale di convalida della memoria  $\overline{\text{MREQ}}$  (richiesta di memoria), mentre durante un'operazione di scrittura c'è un ritardo di un ciclo di clock tra il momento in cui appare il segnale  $\overline{\text{MREQ}}$  e la transizione a livello "basso" del segnale  $\overline{\text{WR}}$  (scrittura). Questo è importante per noi, in quanto la programmazione consiste nel prolungare l'operazione di scrittura. Tuttavia, per essere in grado di accedere alla EPROM, la sua locazione dovrà essere scelta in qualche punto

dell'area indirizzabile. E' necessaria una decodifica degli indirizzi (che qui non è illustrata) per fornire un segnale di convalida per la zona di memoria occupata dalla EPROM.

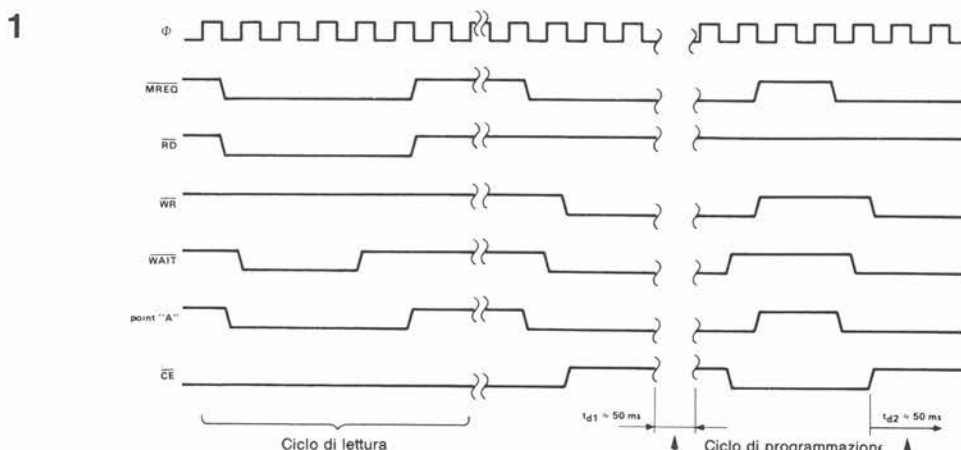
## Il circuito e la sua temporizzazione

Il segnale di decodifica degli indirizzi dovrà portare il punto "A" della Figura 2 a livello "basso". Se questo segnale è stato generato senza combinare le linee di indirizzamento con la linea  $\overline{\text{MREQ}}$ , i due segnali potranno ancora essere combinati usando la porta OR N7. Se questi segnali sono stati già combinati, il segnale di decodifica, chiamato ADDRESS negato, potrà essere direttamente applicato al punto "A". Torneremo più tardi sull'argomento del segnale  $\overline{\text{PE}}$  (attivazione programma) che potrebbe, in certe applicazioni, assumere la funzione di segnale di convalida.

### Ciclo di scrittura

Quando la EPROM è indirizzata, il livello logico applicato al punto "A" del programmatore di

Figura 1. Diagramma di temporizzazione per i segnali di controllo dello Z 80, durante i cicli di lettura e di scrittura. È possibile osservare che c'è un notevole ritardo tra la comparsa di  $\overline{\text{MREQ}}$  e quella di  $\overline{\text{WR}}$ , mentre  $\overline{\text{MREQ}}$  ed  $\overline{\text{RD}}$  appaiono simultaneamente. Un circuito di attesa è usato per portare la linea  $\overline{\text{WAIT}}$  a livello "basso", non appena viene indirizzata la EPROM, anche durante un ciclo di scrittura.



EPROM produce un fronte di commutazione discendente all'uscita di N3, che fa partire il monostabile MMV1. Un impulso calibrato di 50 ms apparirà di conseguenza al piedino 8 di questo circuito integrato e verrà usato come impulso di programmazione all'ingresso CE della EPROM. Questo stesso impulso porta l'ingresso WAIT dello Z 80 al livello "basso", tramite N1 ed N5, cosicché le parole sul bus di indirizzamento e sul bus dei dati rimarranno stabili. Poiché la linea RD è a livello "alto", l'ingresso OE della EPROM è anch'esso a livello "alto". Contemporaneamente viene interdetto T1, viene saturato T2 ed il potenziale al piedino Vpp della EPROM passa da 5 V a 25 V.

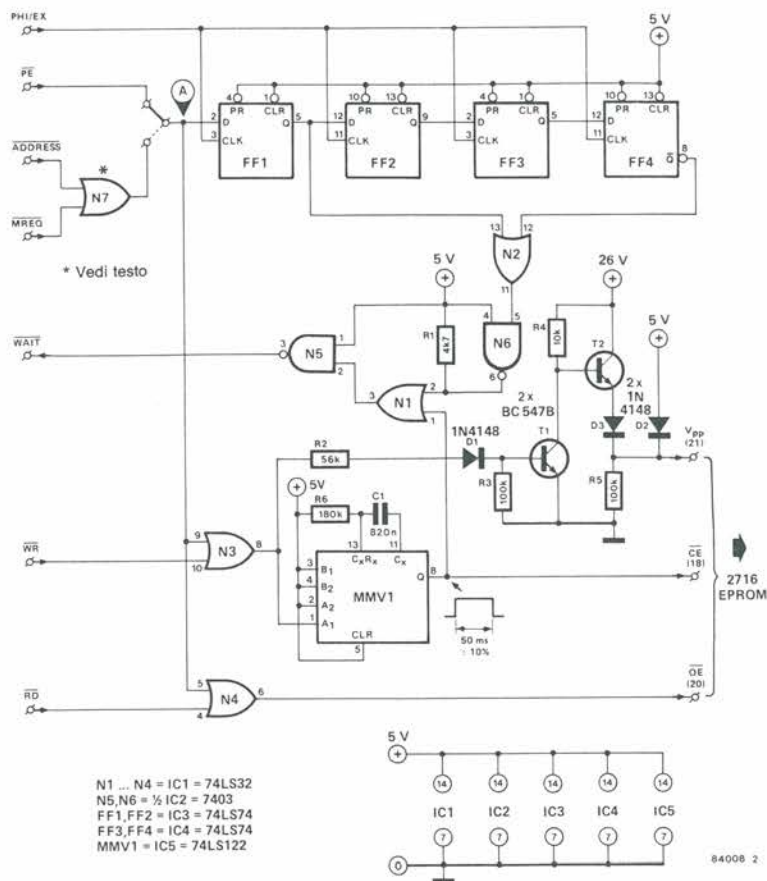
Niente di tutto ciò succede però se il segnale WR non viene ritardato, come abbiamo spiegato all'inizio di questo articolo. In realtà, l'uscita della porta OR N3 non può andare a livello "basso" se la linea WR non è anch'essa a livello "basso". Si deve tenere conto anche del ritardo introdotto dal monostabile MMV1. Per questo motivo è stato aggiunto un circuito per introdurre un "intervallo di attesa" di parecchi cicli. Questo circuito è formato da una serie di flip flop (FF1...FF4) che mantengono a livello "basso" il piedino WAIT dello Z 80 immediatamente dopo che il punto "A" è andato a livello "basso". Il massimo ritardo tra l'istante in cui l'ingresso WAIT va a livello "basso" (per rendere stabili le parole sui bus dei dati e degli indirizzi) e l'istante in cui il livello "basso" appare sulla linea WR, è di circa 150 ns. A questo ritardo devono essere aggiunte alcune dozzine di ns introdotte da MMV1. Con i quattro flip flop, possiamo ottenere un'attesa di tre cicli, cioè 750 ns con un clock di 4 MHz. Come mostra il diagramma di temporizzazione di Figura 1, l'ingresso WAIT va a livello basso subito dopo MREQ, anche se la linea WR è ancora a livello "alto". Non appena perviene l'impulso CE di 50 ms, i bus dei dati e degli indirizzi vengono bloccati e rimangono in questa condizione per tutta la durata della programmazione.

### Ciclo di lettura

Il circuito di attesa viene attivato dal segnale di decodifica degli indirizzi, e perciò esso funziona anche durante i cicli di lettura della EPROM. In questo modo, viene risolto il problema presentato dalle EPROM che hanno un tempo di accesso troppo lungo (450 ns). Il monostabile non viene però attivato, e perciò CE rimane a livello "basso", come mostra la prima parte del diagramma di temporizzazione. OE va invece a livello "basso" non appena lo fa RD. Di conseguenza, sono soddisfatte tutte le condizioni che permettono alla EPROM di trasferire i dati sul bus. Per mantenere la normale velocità di lettura, i cicli di attesa dovranno essere cancellati: questo scopo viene facilmente ottenuto collegando il piedino 6 di N4 (OE) al piedino 4 (PR) del flip flop FF1, che perciò non sarà più collegato a +5 V.

### Programmazione "in situ"

Questo non è un programmatore di EPROM del tutto autonomo. Si tratta infatti di un circuito ausiliario, nel quale lo zoccolo della EPROM ha terminali "wire wrap". Dovranno essere naturalmente stabiliti alcuni collegamenti cablati: PHI/EX (segnale di clock), WAIT, RD, WE, l'indirizzo del segnale di decodifica (ovvero PE) ed infine il potenziale di programmazione di 26 V (non 25 V, in quanto c'è una certa caduta di tensione in D3 ed in T2). E' necessario accertarsi che il segnale di



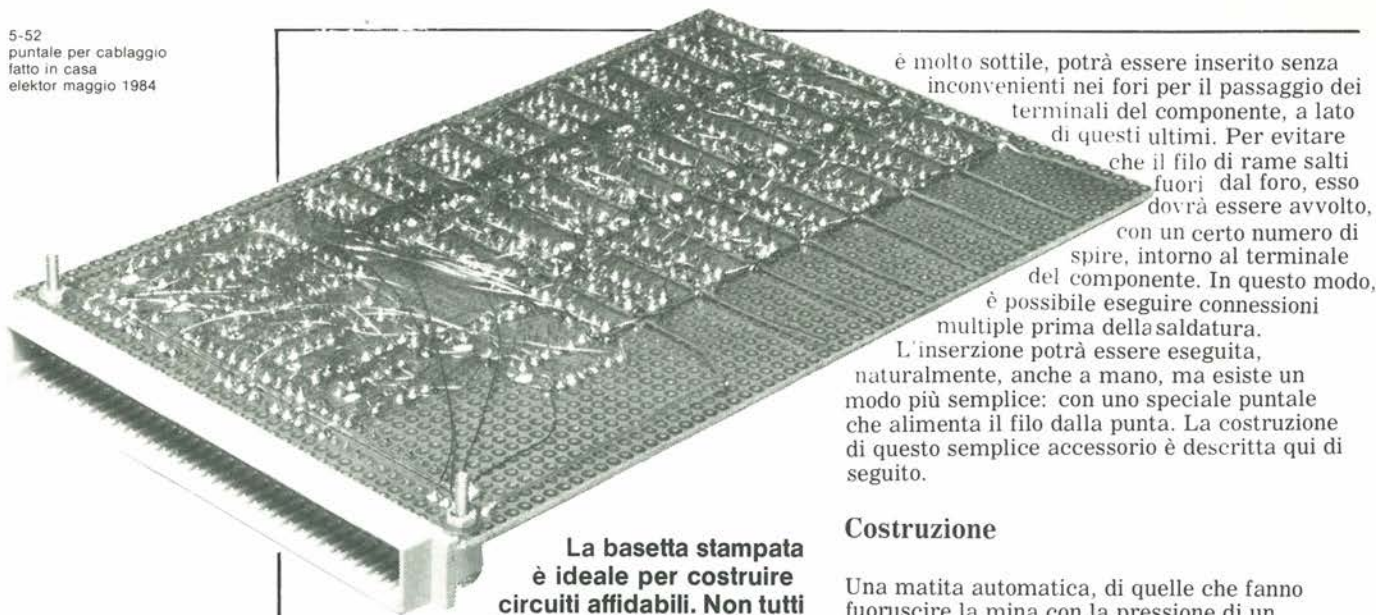
decodifica degli indirizzi (ADDRESS) non contenga il segnale RD, in quanto la sua presenza impedirebbe di scrivere alcunché, e di conseguenza non sarebbe possibile programmare.

L'unità di programmazione del sintetizzatore polifonico è un bell'esempio di programmazione "in situ", cioè nello stesso luogo dove il componente dovrà essere definitivamente montato. Se osservate lo schema elettrico di questo circuito ed il relativo articolo, potrete rendervi conto di ciò che intendiamo dire. In questo caso, non è nemmeno necessario montare uno speciale zoccolo per la EPROM, in quanto essa verrà inserita al posto della RAM IC9. Il 4071 (IC6) verrà estratto dal suo zoccolo ed i segnali necessari alla EPROM verranno applicati ai piedini come segue:

- piedino 10 (IC6): OE (piedino 20 della EPROM);
- piedino 11 (IC6): Vpp (piedino 21 della EPROM);
- piedino 4 (IC6): CE (piedino 18 della EPROM).

Il segnale di clock PHI/EX è disponibile al piedino 27a del bus del microprocessore, ed altrettanto accade per RD (in 31c) e WR (in 31a). Il segnale PE è disponibile all'uscita di N10. Il segnale WAIT è applicato al piedino 5c del connettore a 64 poli. Di conseguenza, ogni volta che sarà presente il potenziale di 26 V, ciascuna operazione per la scrittura nella memoria (memorizzazione attivata) permette di iniziare la programmazione della EPROM.

Figura 2. Schema elettrico del programmatore di EPROM 2716 che utilizza lo Z 80. Il circuito è formato da un multivibratore monostabile, che genera un impulso di programmazione calibrato della durata di 50 ms, e da un circuito di attesa che manda la linea WAIT a livello "basso" anche prima che arrivi il segnale WR. Montando questo circuito su una piastrina di veroboard, equipaggiata con 24 piedini "wire wrap", questo programmatore permetterà di inserire la EPROM da programmare su qualsiasi scheda di memoria provvista di decodifica degli indirizzi.



**La bassetta stampata è ideale per costruire circuiti affidabili. Non tutti però possiedono il materiale e le attrezzature necessari per produrre i circuiti stampati. A parte questo, a volte non vale la pena e la spesa di progettare, fotografare ed incidere le piste per una bassetta stampata. Tuttavia, esistono molte strade che portano a Roma.**

# puntale per cablaggio fatto in casa

dispositivo  
a basso costo,  
per risparmiare  
tempo durante  
il cablaggio  
dei circuiti  
su scheda

Da un contributo  
di H. Messmer

Ci sono due modi alternativi per costruire prototipi di circuito, che differiscono principalmente per il sistema con il quale vengono stabiliti i collegamenti. Il primo è quello che impiega le piste di rame continue: usando questo sistema, sarà necessario eseguire solo pochi collegamenti addizionali, purché sia stata ben progettata la disposizione dei componenti, in modo da minimizzare il numero delle connessioni cablate sul prodotto finale. I lettori che amano risolvere puzzle saranno accontentati da questi circuiti! Particolarmente nel caso dei circuiti digitali, queste schede potranno però presentare qualche problema: a seconda della posizione dei circuiti integrati, è spesso necessario interrompere le piste di rame che collegano i piedini. Anche disponendo di utensili adatti, questo lavoro potrà essere piuttosto noioso e lungo. La seconda alternativa è più adatta a questo tipo di circuiti: schede sulle quali sono incise soltanto le piazzole di saldatura. Poiché non esistono piste di rame di collegamento, non sarà più necessario interromperle ed i componenti potranno essere montati con maggiore libertà. Quando vengono usate schede di questo tipo, tutti i collegamenti dovranno essere stabiliti mediante un adatto filo conduttore, per maneggiare il quale è stata messa a punto una tecnica adatta. Il filo usato è di sottile rame smaltato; quando dovrà essere stabilito un collegamento, sarà necessario togliere lo smalto da una delle estremità del filo, mediante un saldatore caldo. Poiché il filo

è molto sottile, potrà essere inserito senza inconvenienti nei fori per il passaggio dei terminali del componente, a lato di questi ultimi. Per evitare che il filo di rame salti fuori dal foro, esso dovrà essere avvolto, con un certo numero di spire, intorno al terminale del componente. In questo modo, è possibile eseguire connessioni multiple prima della saldatura.

L'inserzione potrà essere eseguita, naturalmente, anche a mano, ma esiste un modo più semplice: con uno speciale puntale che alimenta il filo dalla punta. La costruzione di questo semplice accessorio è descritta qui di seguito.

## Costruzione

Una matita automatica, di quelle che fanno fuoruscire la mina con la pressione di un pulsante (mina da 0,5 mm di diametro), un rocchetto per filo da cucire ed una striscia di alluminio (circa 90 x 20 mm) sono tutto ciò che occorre per costruire questo attrezzo. Se non avete a disposizione una matita automatica del tipo descritto, prendere una normale penna a sfera ed un ago da iniezioni (sempre con il foro da 0,5 mm). Togliete il pulsante della matita automatica, in modo che il lato superiore risulti aperto. Con una penna a sfera, sarà necessario togliere il refill ed il pulsante che permette di far rientrare la punta. L'ago per iniezioni verrà poi inserito nella penna, in modo che la punta fuoriesca di circa 5 mm dall'estremità con la quale normalmente si scrive. Al centro della striscia di alluminio, praticare un foro di adatto diametro, nel quale dovrà essere inserita la parte superiore della matita o della penna a sfera.

Praticare poi due fori più piccoli ai lati del foro centrale, ed equidistanti da esso. La striscia di alluminio dovrà poi essere piegata in forma di U, in modo che il rocchetto possa inserirsi tra le due ali verticali della U, come mostrato in Figura 1. Per garantire la libera rotazione del rocchetto, usare come perno una vite 2 BA, con relativo dado. Ora non rimane che avvolgere sul rocchetto una certa lunghezza di filo smaltato da cablaggio.

## I circuiti fatti in casa non dovrebbero presentare problemi

### Materiale

Le schede per prototipi sono di solito vendute dai dettaglianti di materiale elettronico, tagliate nelle dimensioni cosiddette "Eurocard". Il materiale più adatto è la resina epossidica rinforzata con vetro, che è naturalmente più stabile rispetto alla carta bachelizzata. Il filo da usare è il comune filo smaltato con lacca termofusibile, con un diametro che può variare tra 0,25 e 0,35 mm. E' anche disponibile uno speciale tipo di filo apposto per questa applicazione, il quale, pur costando leggermente più caro, potrà essere stagnato e saldato con maggiore facilità. Il filo è inoltre fornito con smalto di diversi colori, molto utile per circuiti complicati. Qualunque sia il filo usato, esiste però una regola aurea: prima stagnare e poi saldare! I lettori che stiano pensando di usare il filo ricavato dall'avvolgimento di un trasformatore o di una bobina di reattanza, scopriranno ben presto che è molto difficile togliere lo smalto da questo tipo di filo. Un altro svantaggio è che,

invecchiando, lo smalto si è indurito ed è divenuto fragile; di conseguenza, esso si sgretolerà quando viene svolto dal trasformatore od avvolto sul rocchetto. Aumenterà così molto la probabilità di un cortocircuito! L'attrezzo più importante è il saldatore, la cui punta dovrà avere una temperatura di 350 — 400 gradi centigradi, altrimenti non sarà possibile fondere lo smalto del filo. La soluzione ideale sarà di usare un saldatore a temperatura regolabile, ma se questo non è disponibile, provate a togliere lo smalto con il vostro normale saldatore. Altri utensili non sono in pratica necessari, per quanto una piccola pinza risulterà molto utile.

### Preparazione e costruzione

È consigliabile usare sempre (e non solo con questo metodo costruttivo) zoccoli per i circuiti integrati, perché la saldatura diretta ai piedini spesso danneggia il componente. Sarà anche utile, specialmente ai principianti, dedicare un tempo sufficiente a considerare il luogo migliore dove montare i circuiti integrati. Uno

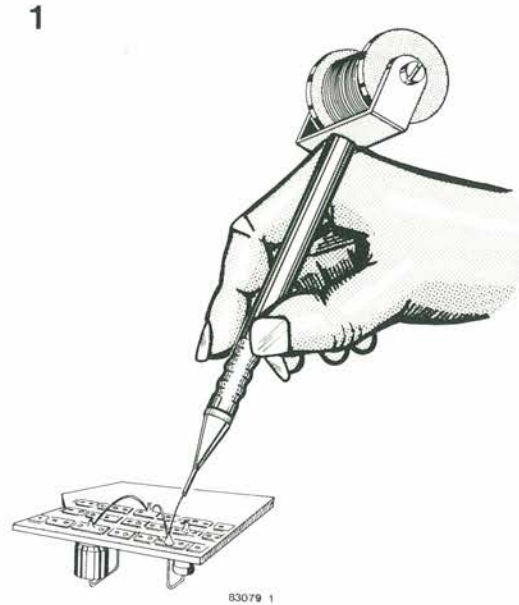


Figura 1. Il puntale per cablaggio completamente montato. È possibile vedere chiaramente come viene eseguito il cablaggio con questo attrezzo.

2

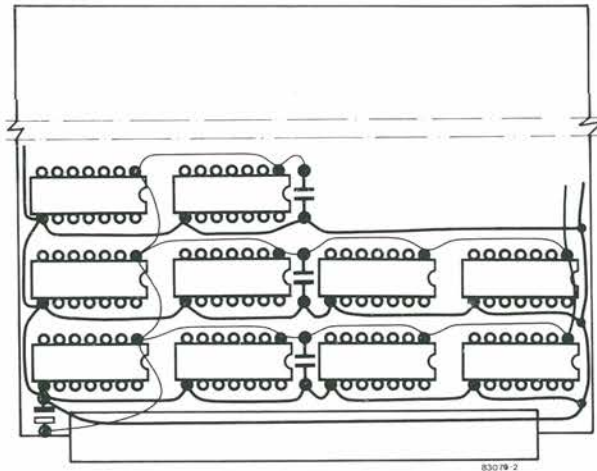
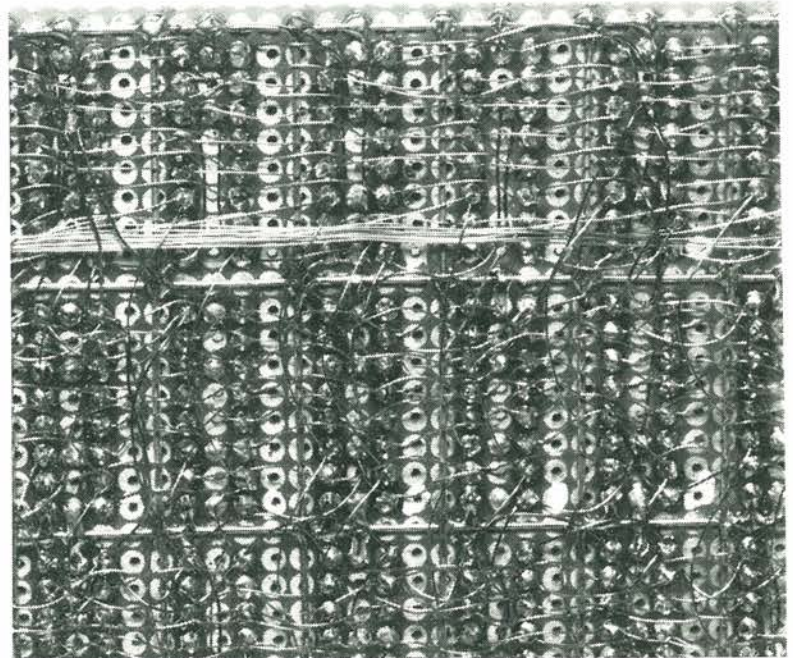


Figura 2. Le linee di alimentazione dovranno essere cablate per prime. Le linee più grosse sono i collegamenti a 0 V (massa), mentre quelle più sottili portano l'alimentazione positiva. I diversi condensatori in parallelo alle linee di alimentazione servono al disaccoppiamento.

schizzo ad immagine speculare delle connessioni dei circuiti integrati eviterà di dover capovolgere troppe volte la scheda. Montare per primi sulla scheda gli zoccoli, saldando alle piazzole i piedini diagonalmente opposti (per esempio il + ed il - dell'alimentazione). Successivamente, dopo che saranno stati montati sul circuito stampato tutti gli altri componenti, le viti, i terminali per collegamenti esterni, eccetera, potrà avere inizio il cablaggio. Dovranno essere cablate per prime le linee di alimentazione (vedi Figura 2). Sarà meglio eseguire la linea a 0 V (massa) con filo di rame nudo mentre la linea positiva dovrebbe avere un isolamento leggermente superiore rispetto a quello richiesto per gli altri collegamenti. Nella maggior parte dei circuiti digitali, sarà sufficiente che le linee di alimentazione abbiano un diametro di 0,4 mm. Un consiglio: marcate il piedino 1 di tutti i circuiti integrati su entrambe le facce della scheda; sarà così molto più facile raccapezzarvi nel groviglio dei collegamenti! Lavorando con attenzione, è possibile costruire persino schede RAM da 16 o 64 K, che dimostreranno come i circuiti per prototipi non siano necessariamente inferiori ai circuiti stampati propriamente detti!



**La memoria di un computer è una combinazione hardware di elementi logici del tutto indipendente dal software, del quale però deve sempre tenere conto. La struttura e l'organizzazione dell'area indirizzabile sono molto più di una semplice questione di estetica. La decodifica degli indirizzi è una delle strutture meno capite dei computer, pur giocando un ruolo essenziale nel funzionamento della macchina, nella stesura del software; è persino utilizzata per aggiungere ampliamenti di memoria o periferiche, come per esempio moduli di ingresso/uscita.**

# decodifica degli indirizzi

spiegazione  
motivata  
di come  
è organizzata  
un'area  
indirizzabile

La memoria di un computer potrebbe essere paragonata ad una grande biblioteca: le informazioni o, se preferite, i dati, sono i libri ed il loro contenuto. Descriveremo qui soltanto brevemente la memoria: quello che ci interessa di questa biblioteca è il sistema di schedatura, e specialmente il modo in cui sono disposti i volumi, secondo gruppi, categorie, sottogruppi, eccetera. In altre parole, siamo interessati al sistema di riferimento.

## Il valore dell'informazione

Immaginate un catalogo di parecchi miliardi di voci, che trattano degli argomenti più diversi e disparati. Naturalmente, la nostra biblioteca contiene libri di elettronica, ai quali è possibile accedere con il riferimento "E". I libri che riguardano l'elettronica digitale sono catalogati sotto il riferimento "ED", mentre quelli riguardanti i soggetti analogici sono classificati sotto "EA". In termini di dati, definiremo la lettera "E" come il bit più significativo dei riferimenti "ED" ed "EA", mentre "D" ed "A" sono i bit meno significativi. Questa distinzione può essere facilmente osservata, in quanto la lettera "E" comprende tutte le opere di argomento elettronico della nostra immaginaria biblioteca, mentre le lettere "D" ed "A" definiscono soltanto una parte di questi libri. Se continuiamo a fare riferimenti sempre più particolareggiati, il carattere successivo (ancora meno significativo dei primi due) potrebbe, per esempio, essere usato per distinguere tra le opere in lingua italiana e quelle in altre lingue. Di conseguenza, i libri catalogati con "EDI" saranno opere in lingua italiana, che trattano di elettronica digitale, mentre un libro catalogato con "EAF" è scritto in francese e tratta di elettronica analogica. L'ultimo carattere (italiano o no) è meno significativo di quello che lo precede (digitale od analogico): entro la categoria delle opere "elettroniche", la distinzione tra opere "digitali" ed "analogiche" è più importante di quella tra libri scritti in italiano ed altri scritti, per esempio, in francese.

Per concludere questo tentativo di chiarire il significato (o l'importanza) dell'informazione, ecco un piccolo esempio. Esso riguarda i cartellini dei prezzi della merce esposta sugli scaffali di un negozio. Per lo stesso prodotto, i

negozianti preferiscono chiedere 99.900 lire, piuttosto che 100.000 lire. Perché si fa così? L'informazione più significativa (il numero delle decine di migliaia di lire) sembra molto inferiore nel primo prezzo, rispetto al secondo, ma in realtà la differenza è insignificante, in quanto rappresenta una piccola variazione dei caratteri di informazione meno significativi.

## Suddivisione e doppio indirizzamento

Prendiamo ora in considerazione le memorie del computer. Esse appaiono come una pila di compartimenti (chiamati celle di memoria) ciascuno dei quali contiene 8 unità irriducibili di informazione, nei sistemi a noi più familiari, cioè nei microcomputer ad 8 bit. Queste unità individuali (i bit) non sono accessibili separatamente: essi formano una "parola" di 8 bit, chiamata "byte", ed i loro valori logici compongono i dati. Queste "parole" viaggiano verso l'interno del sistema sui bus dei dati, che sono composti da 8 linee numerate D7...D0, ciascuna delle quali corrisponde ad un bit di dati. Il processore può accedere alle parole contenute nella memoria tramite il bus degli indirizzi, che è composto da 16 linee numerate A15...A0 che determinano una serie di indirizzi in corrispondenza ai quali sono disposti i nostri compartimenti o cellette di memoria. Questa organizzazione potrebbe essere confrontata a quella della biblioteca descritta nell'esempio precedente. In Figura 1, abbiamo rappresentato i sei bit di indirizzo meno significativi (A5...A0) in forma di "corridoi" con diramazioni successive, proprio come avviene in una biblioteca. La decisione riguardante la svolta a destra oppure a sinistra in corrispondenza a queste diramazioni viene presa percorrendo questi corridoi, fino ad arrivare a poco a poco al punto che desideriamo raggiungere. La decisione di svoltare a "sinistra" od a "destra", in una linea di indirizzamento, è indicata dal suo livello logico "alto" oppure "basso" (questi livelli sono rispettivamente indicati da "1" oppure "0"), che sono i soli stati possibili per queste linee. Quanto più aumenta il "peso binario" (valore di posizione) di un bit di indirizzo, tanto più vasta è la zona da esso coperta. Poiché i bit 5 e 4 della Figura 1 sono entrambi a livello "0", uno "0" al bit 3 significa che è stata selezionata l'area che va da 00 a 07, mentre se il bit 3 è "1", è possibile accedere alla zona tra 08 e 0F. Se il bit 4 commuta ad "1", con il bit 5 ancora a livello "0", la decisione del bit 3 sceglie tra le zone 10...17 e 18...1F.

Supponiamo che, in una data applicazione, non sia definito il livello del bit 3, mentre i bit 4 e 5 sono entrambi a "0": il risultato è che le zone summenzionate non sono più differenziate. La zona 00...07 potrà essere confusa con la zona 08...0F. Questo è chiamato "doppio indirizzamento". A seconda del peso binario del bit non definito, l'estensione delle zone a doppio indirizzamento sarà più o meno grande.

## 2 alla sedicesima potenza = 65.536

Le sei linee di indirizzamento più significative sono mostrate in Figura 2, che indica anche il loro contributo alla suddivisione dell'area indirizzabile. Le quantità contraddistinte dal segno "K" sono sempre multipli di 1024 (non di 1000), che corrisponde al numero di celle di memoria alle quali si può accedere con le prime dieci linee di indirizzamento (A9...A0, 2 alla decima potenza = 1024). Di conseguenza, quando parliamo di memoria, il segno "K" designa una quantità di 1024 byte e non 1024 bit. A seconda che la linea di indirizzamento A15 sia

Tabella 1.

INDIRIZZI		543210	7654	3210
DEC.	ESAD.			
0	0000			0000
↓	↓	0000	0000	0000
15	000F			1111
↓	↓			
16	0010			0000
↓	↓	0000	0000	0001
31	001F			1111
↓	↓			
32	0020			0000
↓	↓	0000	0000	0010
63	003F			1111
↓	↓			
64	0040			0000
↓	↓	0000	0000	0100
127	007F			1111
↓	↓			
128	0080			0000
↓	↓	0000	0000	1000
255	00FF			1111
↓	↓			
256	0100			0000
↓	↓	0000	0001	0000
511	01FF			1111
↓	↓			
512	0200			0000
↓	↓	0000	0010	0000
1023	03FF			1111
↓	↓			
1024	0400			0000
↓	↓	0000	0100	0000
2047	07FF			1111
↓	↓			
2048	0800			0000
↓	↓	0000	0000	0000
4095	0FFF			1111
↓	↓			
4096	1000			0000
↓	↓	0001	0000	0000
8191	1FFF			1111
↓	↓			
8192	2000			0000
↓	↓	0010	0000	0000
16383	3FFF			1111
↓	↓			
16384	4000			0000
↓	↓	0100	0000	0000
32767	7FFF			1111
↓	↓			
32768	8000			0000
↓	↓	1000	0000	0000
65535	FFFF			1111

a livello logico alto oppure basso, verrà selezionata una delle due metà della memoria totale indirizzabile con 16 linee (2 alla 16esima potenza = 65.536 e ciascuna metà comprenderà 32.768 byte). Entro ciascuno di questi due blocchi, la linea A14 differenzia due blocchi di 16.384 parole... e così via, fino alla linea A10, che permette di selezionare tra due blocchi di 1024 parole entro un blocco di 2048 parole decodificato da A11. Come abbiamo ricordato in precedenza, se non è definito il livello logico di una delle linee di indirizzamento, potranno essere confusi due blocchi che normalmente risulterebbero distinti. Perciò, se non è specificato il livello logico di A15, l'indirizzo 0 e l'indirizzo 32.768 sono indistinguibili. Lo stesso vale per gli indirizzi 1 e 32.769, e così via. Non dimenticare questo fatto quando si effettua un indirizzamento: il conteggio inizia sempre da 0, non importa quale sia la base di numerazione (binaria, decimale od esadecimale). Questo ci conduce alla tabella 1, che mostra le sedici linee di indirizzamento, le loro 65.536 combinazioni possibili ed i corrispondenti indirizzi. Nonostante l'apparente linearità della progressione in questa tabella, il peso delle linee di indirizzamento aumenta da destra a sinistra e, concordemente con questo aumento, cresce l'importanza delle zone influenzate da una decisione riguardante il bit di indirizzamento. Questo è mostrato sulle colonne a sinistra della tabella, dove sono indicate le ampiezze delle zone decodificate.

**Come generare i segnali di abitazione**

Finora abbiamo considerato il problema dell'indirizzamento esclusivamente dal punto di vista "topografico". Osservando i circuiti integrati che dobbiamo utilizzare, possiamo vedere che i tipi più comuni non hanno 16 linee di indirizzamento, ma un numero inferiore,

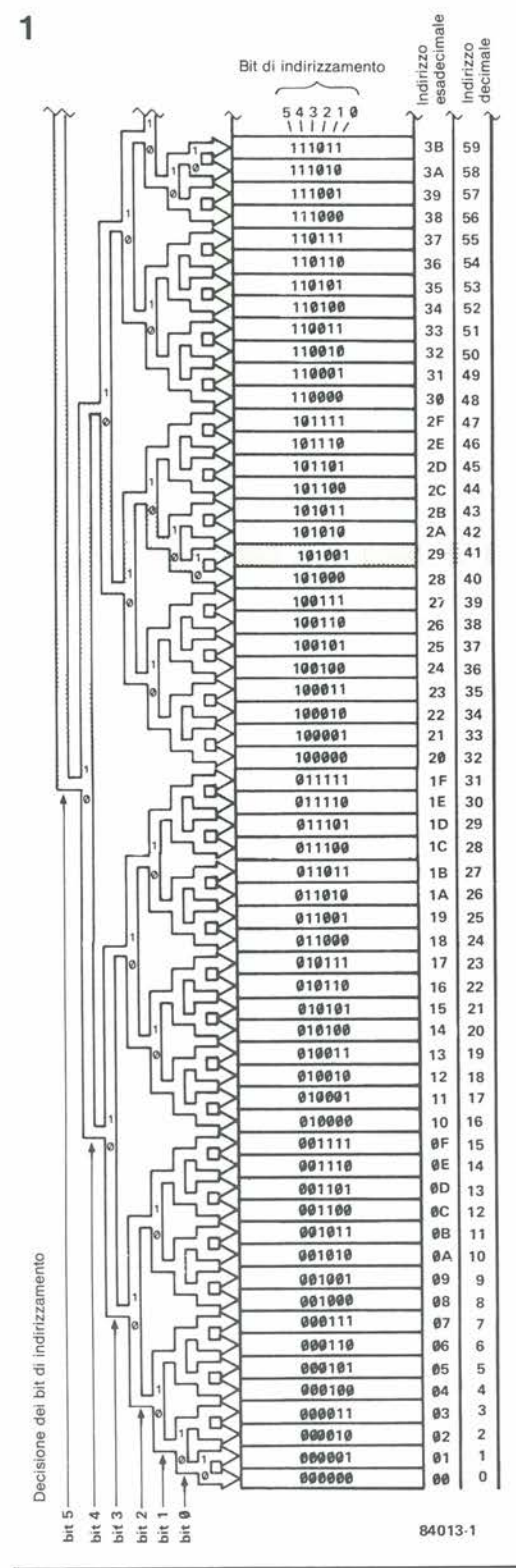
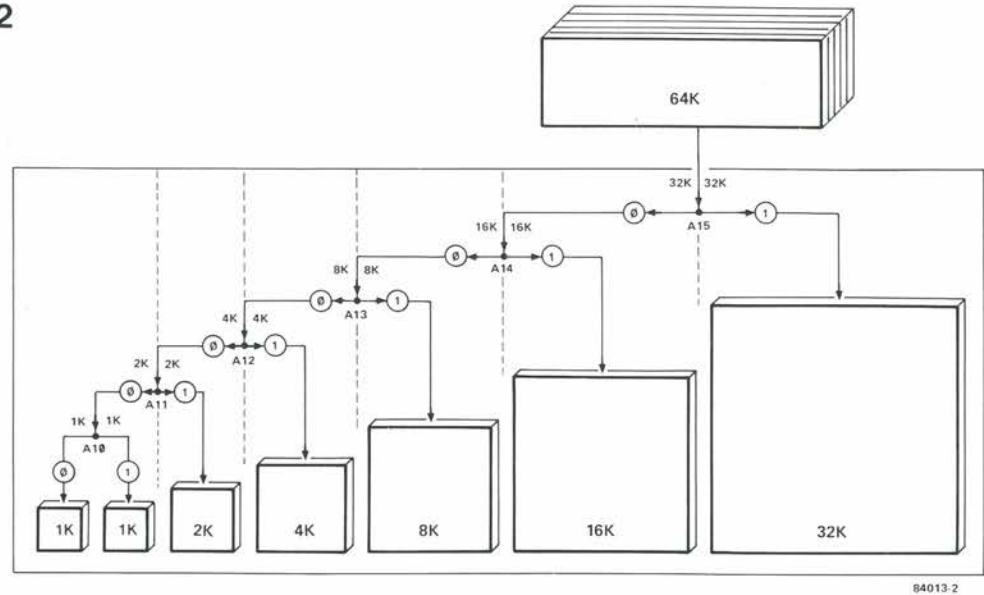


Tabella 1. Usando 16 linee di indirizzamento, potranno essere indirizzate 65.536 parole binarie. Questa tabella mostra come il valore dell'indirizzo da decodificare viene influenzato dalla decisione riguardante ciascun bit.

Figura 1. Questo "albero" binario dei sei bit meno significativi di un indirizzo mostra come la decisione riguardante un bit (livello logico "alto" o "basso") determini la decodifica di una zona la cui estensione dipende dal "peso" binario del bit.

proporzionale alla loro capacità. Come può essere dedotto dalla Figura 2, un chip contenente 4 K (come potrebbe essere una EPROM 2732) deve avere 12 linee di indirizzamento (A11...A0). L'indirizzamento di ciascuna delle 4096 parole è ottenuto mediante un decodificatore degli indirizzi interno, incorporato nel circuito integrato. Nello stesso modo, un circuito integrato contenente 2 K di memoria (per esempio la RAM 6116, ancora molto diffusa) avrà 11 linee di indirizzamento (A10...A0) che permetteranno al decodificatore interno di distinguere tra le 2048 celle di memoria. Ciò che viene chiamato "decodifica

2



84013.2

Figura 2. I livelli dei bit più significativi determinano la suddivisione dell'area indirizzabile in blocchi, che si inseriscono uno nell'altro. Di conseguenza, la linea A15 distingue due blocchi di 32 K, entro ciascuno dei quali A 14 può selezionare due blocchi da 16 K, e così via.

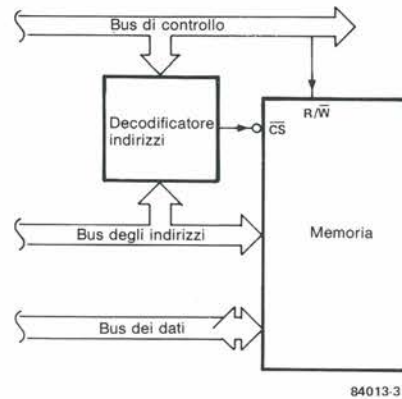
degli indirizzi" non corrisponde, strettamente parlando, a questa decodifica interna nei blocchi di memoria contenuti in un circuito integrato, ma piuttosto alla locazione di questi blocchi nell'area indirizzabile della CPU. Per i nostri esempi, concentreremo l'attenzione sul 6502 e sullo Z 80, che hanno entrambi 16 linee di

indirizzamento e possono perciò decodificare fino a 64 K di memoria.

Qualunque circuito integrato di memoria possiede, oltre alle linee di indirizzamento che abbiamo appena ricordato, uno o più ingressi di abilitazione, che dovranno essere portati ad un certo livello logico (generalmente "0", che è indicato dalla barra di negazione posta sopra il "nome" del corrispondente piedino) per attivare il chip. Ciò significa che l'indirizzamento interno avrà luogo soltanto quando è presente il segnale di abilitazione, ed i byte non verranno trasferiti sul bus dei dati fintanto che questa condizione non sarà soddisfatta. Questo segnale di abilitazione viene ottenuto usando le linee di indirizzamento più significative, combinate con certi segnali di controllo che sono essenziali per temporizzare il funzionamento (vedi Figura 3). Questi segnali di controllo sono differenti per ciascun sistema; per il 6502, essi sono:

- il segnale di clock  $\Phi 2$ , che permette soltanto le operazioni di lettura e di scrittura durante la seconda metà di ciascun ciclo di clock del processore;
- il segnale  $R/\bar{W}$ , che distingue tra l'operazione di lettura (read) e quella di scrittura (Write).

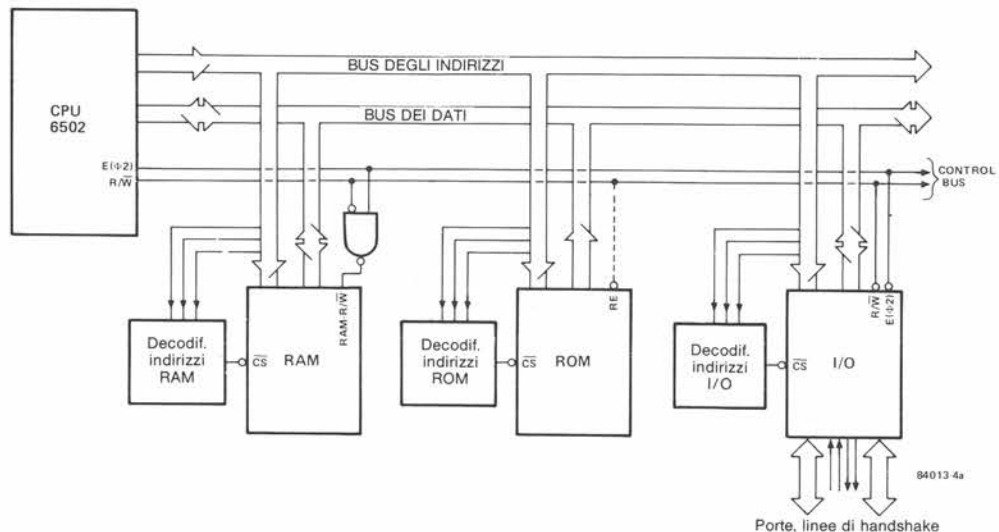
3



84013.3

Figura 3. I bus dei dati e degli indirizzi non sono tutto ciò che occorre per indirizzare la memoria; sono anche necessari alcuni segnali di controllo, per garantire la corretta sincronizzazione delle operazioni di lettura e scrittura.

4a



84013.4a

Figura 4a. Il 6502 non dispone di istruzioni o segnali specifici per distinguere la memoria dai moduli di ingresso/uscita. I segnali di controllo necessari per attivare il funzionamento sono: il clock  $\Phi 2$  ed il segnale di lettura/scrittura ( $R/\bar{W}$ ).

Porte, linee di handshake

I corrispondenti segnali nello Z 80 sono:

- **WE** ed **RE**, per distinguere tra scrittura (**Write Enable**) e la lettura (**Read Enable**);
- **MREQ** e **IOREQ**, per distinguere tra le operazioni eseguite con la memoria e quelle che riguardano il modulo di ingresso/uscita, per il quale lo Z 80 ha specifiche istruzioni.

Le differenze tra i due processori sono chiarite dalle Figure 4a e 4b. I segnali di convalida, ottenuti a partire dai segnali di indirizzamento più significativi e dai segnali di controllo, sono tutti definiti qui con **CS** (Chip Select = selezione del chip). Al solo scopo di rendere le cose più comprensibili, supporremo che essi siano sempre attivi al livello logico "basso". Tuttavia, a seconda del sistema e del fabbricante, è possibile trovare alcuni segnali, compreso quello di abilitazione, che sono attivi a livello "alto".

Prima di arrivare alle combinazioni logiche che ci permetteranno di generare i segnali di attivazione, non sarà male porre l'accento sull'importanza della base di numerazione esadecimale. Abbiamo 16 linee di indirizzamento raggruppate in quattro gruppi da 4. Esiste una cifra esadecimale (0...F; 0...15 in decimale) che corrisponde a ciascun gruppo di 4 linee. Per esempio, nell'indirizzo 4A2F, il "4" corrisponde alla parola binaria delle linee A15, A14, A13 ed A12 (0100); la "A" corrisponde alla parola binaria delle linee A11, A10, A9 ed A8 (1010); il "2" corrisponde alle parole sulle linee A7, A6, A5 ed A4 (0010); infine, la "F" corrisponde allo stato delle linee A3, A2, A1 ed A0 (1111). Questa semplice conversione permette di trovare facilmente la configurazione delle 16 linee di indirizzamento, che corrispondono ad un indirizzo dato in esadecimale.

### Combinazioni logiche fisse

Inizieremo ora a prendere in considerazione la vera e propria decodifica degli indirizzi, ottenuta mediante combinazioni logiche più o meno complesse. Immaginate un circuito di memoria che debba essere abilitato tra gli indirizzi 2000 e 2FFF. Le linee A11...A0 decodificano 4098 celle di memoria tra X000 ed XFFF. Combinando le linee A15...A12, come mostrato in Figura 5a, verrà emesso un segnale **CS**, attivo (a livello logico "0") soltanto quando la configurazione delle linee è "0010", che corrisponde al numero 2. L'esempio della Figura 5b mostra una decodifica di maggiore precisione. Il segnale di abilitazione **CS**, che è

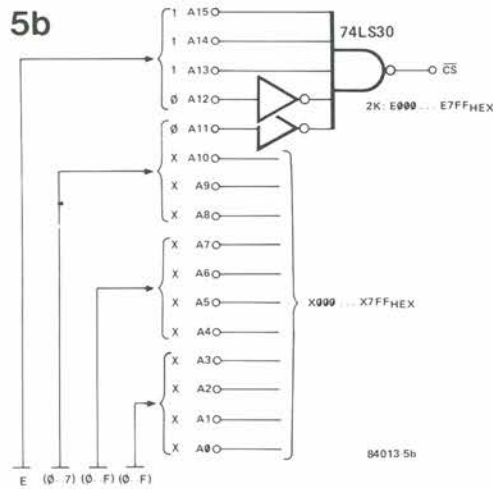
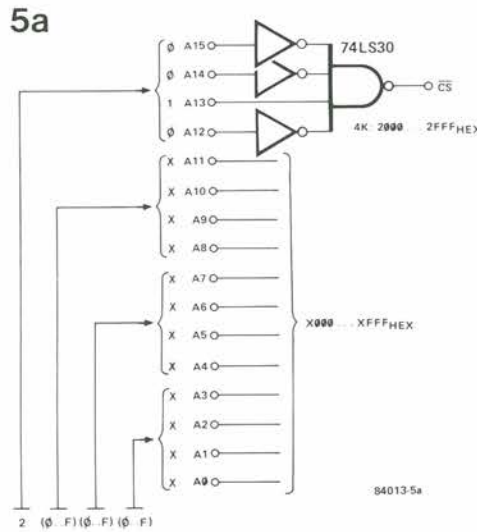


Figure 5a e 5b. Esempi di decodifica fissa degli indirizzi, di 4 e 2 Kbyte. Poiché la zona indirizzata diviene più piccola, il numero dei segnali di indirizzamento combinati diviene più grande.

ottenuto combinando logicamente le linee A15...A11, sarà attivo soltanto quando la configurazione di queste linee dà i valori E0...E7. Le altre linee di indirizzamento permettono di indirizzare ciascuno dei 2048 indirizzi tra E000 ed E7FF. La decodifica ottenuta con la combinazione mostrata in Figura 5c è anche più precisa: **CS** è a livello logico "0" soltanto quando A3...A15 danno il

### 4b

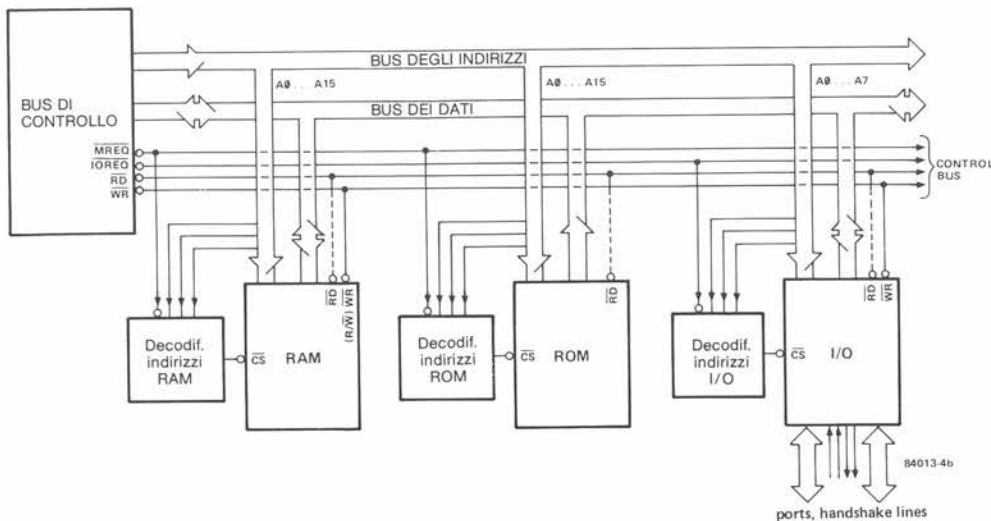


Figura 4b. La struttura interna di un sistema Z 80 è quasi del tutto analoga a quella di un 6502, tranne per il fatto che dispone di più segnali di controllo (ed anche più specifici). Andrebbe oltre gli obiettivi di questo articolo trattare i problemi relativi alla temporizzazione di questi segnali.

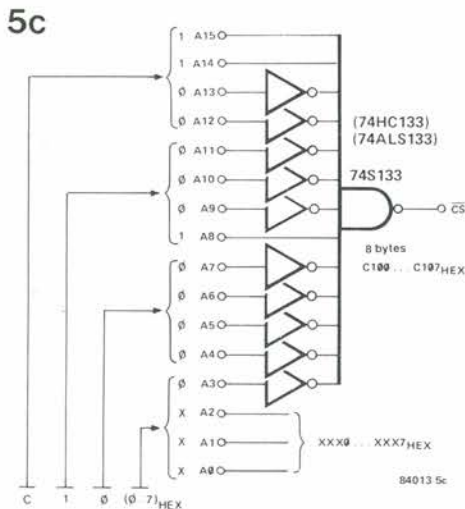


Figura 5c. Un altro esempio di decodifica fissa degli indirizzi: in questo caso, sono decodificati 8 byte.

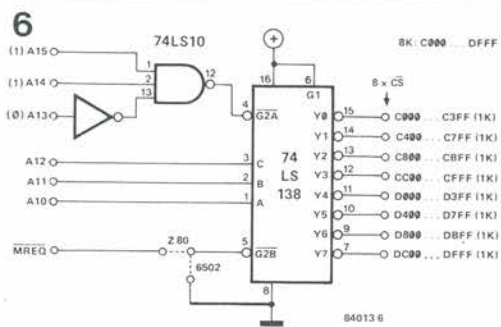


Figura 6. Il decodificatore 74LS138 permette di suddividere facilmente un blocco da 8 K (decodificato mediante A13...A15) in blocchi da 1 K, ciascuno dei quali ha il suo proprio segnale CS. Il secondo ingresso di attivazione viene elaborato diversamente, a seconda che il processore usato sia un 6502 oppure uno Z 80.

valore esadecimale C10, mentre le tre linee restanti sono usate per indirizzare gli otto byte tra C100 e C107.

Questi tre esempi dimostrano come la decodifica venga resa sempre più precisa usando un numero sempre crescente di linee di indirizzamento significative per generare il segnale di attivazione e come ciò riduca l'ampiezza delle zone indirizzate. Per semplificare, in questi esempi sono stati completamente ignorati i segnali di comando necessari per mettere in pratica tutto questo. Un circuito di decodifica multipla degli indirizzi è mostrato in Figura 6. Lo schema contiene un circuito integrato decodificatore molto usato, il 74LS138, che ha tre ingressi di dati binari e due ingressi di abilitazione (G2A e G2B). Il segnale G2A, che viene ottenuto combinando A13...A15, è attivo esclusivamente tra C000 e DFFF, che

delimitano un blocco di 8 K. L'ingresso G2B preleva il segnale MREQ da uno Z 80, oppure è collegato a massa (livello logico "0") quando viene usato un microprocessore 6502. La parola binaria di tre bit, creata combinando A10...A12, permette di decodificare otto blocchi successivi di 1 K. Gli otto segnali CS così prodotti possono essere applicati alla memoria, unitamente ai segnali di comando WE, RD, oppure R/W.

### Combinazioni logiche variabili

Gli esempi di decodifica esaminati finora hanno una cosa in comune, cioè che sono invariabili, ma è anche possibile una decodifica degli indirizzi variabile, come illustrato in Figura 7. Il componente principale di questo schema è il comparatore di grandezza a quattro bit, un 74LS85. Una parola binaria A0...A3 è fornita dalle linee di indirizzamento A12...A15. Questa parola binaria viene confrontata, dal 74LS85, con la parola binaria fornita da 4 interruttori collegati a massa e da quattro resistenze di polarizzazione collegate al livello logico alto. Quando la parola binaria A0...A3 è uguale alla parola binaria B0...B3, il piedino 3 (A = B) va a livello logico alto. Il livello di uscita di questo piedino viene poi invertito e diventa così il segnale CS per un blocco di memoria da 4 K (X000...XFFF, dove X è il valore esadecimale che corrisponde alla parola binaria B0...B3). Lo stesso tipo di decodifica programmabile degli indirizzi potrà essere ottenuto usando porte NOR esclusivo, come mostrato in Figura 7b. Le uscite a collettore aperto del 74LS266 sono tutte a livello logico alto soltanto quando i due ingressi di ciascuna porta sono entrambi al medesimo livello logico. Ciascuna porta confronta un bit della parola di indirizzamento formata da A12...A15 con il corrispondente bit della parola binaria programmata usando gli interruttori e le resistenze di polarizzazione. Questa procedura presenta il vantaggio di aggiungere flessibilità alla decodifica degli indirizzi. Inoltre, come suggeriscono le linee tratteggiate della Figura 7b, è piuttosto facile restringere la decodifica programmabile aumentando il numero delle linee di indirizzamento significative usate, e di conseguenza riducendo l'estensione dei blocchi abilitati dal segnale CS.

Poniamo così termine a questo articolo sulla decodifica degli indirizzi e, mentre siamo consapevoli che è rimasto ancora molto da dire su questo argomento, speriamo che almeno un raggio di luce sia stato proiettato sul bus degli indirizzi e sul modo in cui funziona.

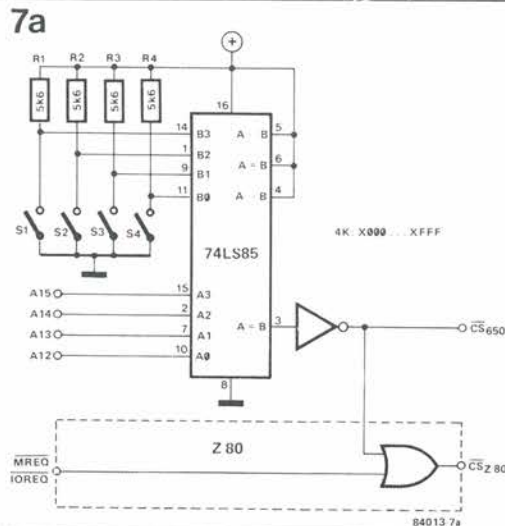
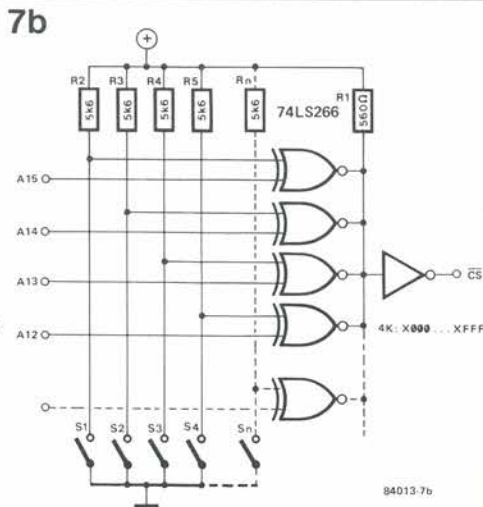


Figura 7. In certe applicazioni, è opportuno avere indirizzamenti programmabili o per lo meno variabili. Ciò viene ottenuto usando un comparatore di grandezza che determina quando la parola binaria formata dalle linee A12...A15 è uguale a quella formata dall'utente mediante i 4 commutatori. Un'alternativa è di usare porte logiche NOR esclusivo, come mostrato in Figura 7b. Le uscite del 74LS266 sono tutte a livello alto soltanto quando i due ingressi di ciascuna porta sono entrambi al medesimo livello logico.



## Oscillatore a quarzo programmabile

Gli oscillatori programmabili a quarzo (PXO) non sono una novità. Essi sono di norma composti da un oscillatore stabilizzato a componenti discreti, da un cristallo di quarzo e da uno o più divisori controllati mediante livelli logici. La novità dei PXO recentemente presentati dalla Statek Corporation (uno dei più grandi produttori di oscillatori degli USA) è che l'oscillatore, i divisori ed i circuiti selettori sono costruiti in forma di circuito integrato CMOS alloggiato, insieme al quarzo, in un contenitore DIL standard a 16 piedini.

La Statek ha già messo in vendita otto di queste unità: la sola differenza tra di esse è la frequenza fondamentale del quarzo. Questa frequenza viene indicata dal numero che definisce il codice del tipo di unità: per esempio, in un PXO-600, questa frequenza è di 600 kHz. Al momento, le frequenze standard del quarzo sono: 192 kHz, 327,68 kHz, 600 kHz, 768 kHz, 983 kHz, 1 MHz, 1,3 MHz, 1,6 MHz ed 1,97 MHz. La Statek è in grado di adeguarsi alle esigenze di singoli consumatori per frequenze non normalizzate. La costruzione interna ed i collegamenti ai piedini sono mostrati in Figura 1. L'uscita diretta dell'oscillatore interno (OSC) viene amplificata e poi emessa dal piedino 11 (Fout). L'oscillatore è anche collegato alla logica di selezione (SEL), che è controllata dal piedino 13 (CSEL). Quando questo piedino è a livello logico alto (livello TTL), il selettore collega al primo divisore un clock esterno (EXC - piedino 12), invece dell'oscillatore interno.

I rapporti di divisione dei due divisori sono determinati ciascuno da tre ingressi (rispettivamente, PROG 1...3 e PROG 4...6): la Tabella 1 mette in relazione i livelli agli ingressi ed i rapporti. Alcuni calcoli aritmetici dimostreranno che con un unico quarzo sono disponibili 57 diverse frequenze. Il segnale d'uscita del secondo divisore è amplificato e poi emesso dal piedino 9 (OUT).

Un livello logico "0" all'ingresso RESET (piedino 14) porta i divisori ad 1/1 e l'uscita OUT (piedino 9) al livello logico basso.

Al piedino 10 è stata data una denominazione in certo qual modo infelice: TEST. Quando questo piedino è a livello logico alto, la frequenza d'uscita viene moltiplicata per 1000, purché il rapporto di divisione totale non sia inferiore ad 1/1000. Le resistenze di pull down interne dei divisori e le resistenze di pull up del circuito di reset garantiscono un livello logico non ambiguo, anche se il relativo piedino non è collegato.

I piedini 1 e 15 non sono usati.

Altri importanti parametri tecnici sono:

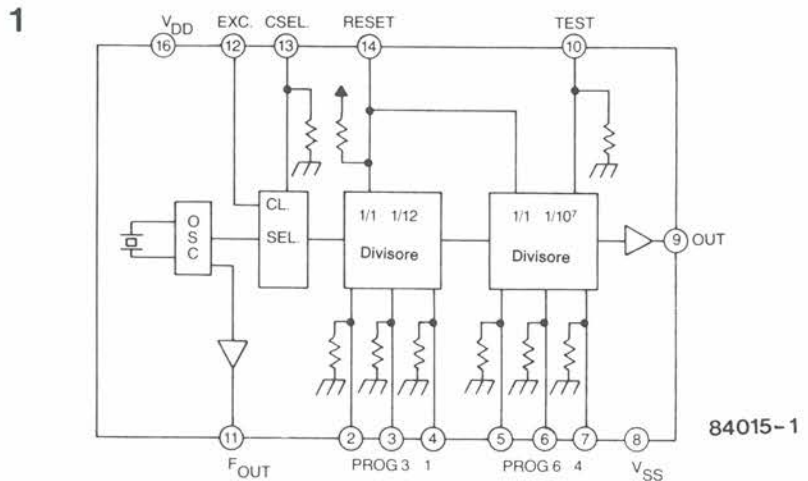
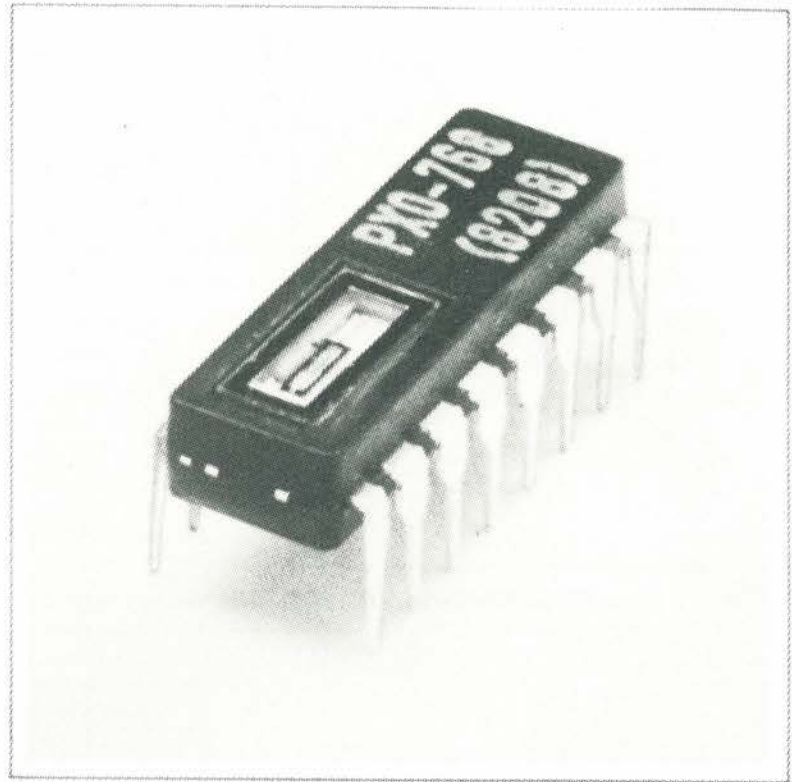


Figura 1. Schema a blocchi e collegamenti ai piedini dell'oscillatore a quarzo programmabile (i piedini 1 e 15 non sono usati).

Tabella 1

Prog 1	Prog 2	Prog 3	Rapporto di divisione	Prog 4	Prog 5	Prog 6	Rapporto di divisione
0	0	0	1/1	0	0	0	1/1
0	0	1	1/10	0	0	1	1/10
0	1	0	1/2	0	1	0	1/10 <sup>2</sup>
0	1	1	1/3	0	1	1	1/10 <sup>3</sup>
1	0	0	1/4	1	0	0	1/10 <sup>4</sup>
1	0	1	1/5	1	0	1	1/10 <sup>5</sup>
1	1	0	1/6	1	1	0	1/10 <sup>6</sup>
1	1	1	1/12	1	1	1	1/10 <sup>7</sup>

Tabella 1. I rapporti di divisione dei due divisori possono essere predisposti indipendentemente l'uno dall'altro: osservare che i numeri di programma "non" coincidono con i numeri dei piedini!

Tabella 2

Livelli ai piedini di progr.		P4	0	0	0	0	1	1	1	1
		P5	0	0	1	1	0	0	1	1
		P6	0	1	0	1	0	1	0	1
P1	P2	P3								
0	0	0	768k	76.8k	7.68k	768	76.8	7.68	0.768	0.0768
0	0	1	76.8k	7.68k	768	76.8	7.68	0.687	0.0768	0.00768
0	1	0	384k	38.4k	3.84k	384	38.4	3.84	0.384	0.0384
0	1	1	256k	25.6k	2.56k	256	25.6	2.56	0.256	0.0256
1	0	0	192k	19.2k	1.92k	192	19.2	1.92	0.192	0.0192
1	0	1	153.6k	15.36k	1.536k	153.6	15.36	1.536	0.1536	0.01536
1	1	0	128k	12.8k	1.28k	128	12.8	1.28	0.128	0.0128
1	1	1	64k	6.4k	640	64	6.4	0.64	0.064	0.0064

\* Rapporto impulso/pausa 33%    \*\* Rapporto impulso/pausa 40%

Tabella 2. Frequenze d'uscita del modello PXO-768 per diversi livelli logici applicati ai piedini di programmazione PROG (unità: Hz).

## 2

- elevata tolleranza di calibrazione: normalmente  $\pm 100$  ppm;
- modesto invecchiamento: massimo 10 ppm nei primi 12 mesi;
- elevata stabilità di frequenza: deriva massima  $\pm 0,015\%$  nella banda di variazione della temperatura da  $-10$  a  $+75$  °C (non comprese le tolleranze di calibrazione);
- bassa corrente assorbita (CMOS), anche se totalmente compatibile con i livelli TTL;
- tempi di salita e di discesa molto brevi (per esempio, nel PXO-600, questi tempi sono, rispettivamente, di 70 e 30 ns).

Una tipica applicazione è illustrata in Figura 2, dove un PXO-768 è collegato come generatore di velocità baud. La Tabella 2 mostra le velocità tipiche disponibili con questa unità. La velocità baud viene ottenuta dividendo per 16 la frequenza di uscita: le velocità baud estreme, di 0,0004 e di 48.000 baud/sec, vengono usate raramente. Non è sfortunatamente possibile ottenere tutte le velocità baud che possono essere incontrate in pratica con una sola unità PXO: per esempio, una velocità di 75 non può essere ricavata da un PXO-768, ma può essere ottenuta mediante un PXO-600.

I PXO possono anche essere usati per moltissime altre applicazioni, come un generatore ad onda quadra, un generatore di onde rettangolari con rapporto impulso-pausa regolabile, oppure un multivibratore monostabile.

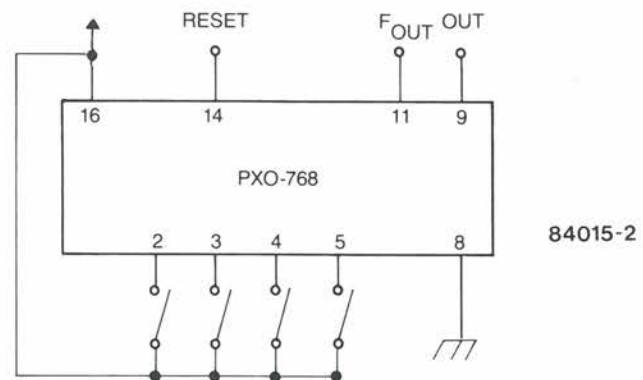


Figura 2. E' evidente da questo schema quanto sia facile costruire un generatore di velocità baud con uno dei PXO ed un interruttore DIL a quattro vie.

Tabella 3

Freq. uscita kHz	19.2	38.4	76.8	153.6	768
Veloc. baud	1200	2400	4800	9600	48000
Pin 2	0	0	1	1	0
Pin 3	0	1	0	0	0
Pin 4	1	0	0	1	0
Pin 5	1	1	0	0	0

Tabella 3. Alcune velocità baud (baud/secondo) disponibili dal generatore di Figura 2.



Altre informazioni da: I. Q. D. Limited, 29 Market street, Crewkerne, Somerset. TA 18 7JU  
Telefono: (0460) 74433

## Le pagine dei circuiti stampati

Le pagine seguenti contengono le immagini speculari della serigrafia delle piste di rame dei circuiti stampati (eccettuati quelli a doppia faccia incisa, in quanto autocostruirli è un'impresa piuttosto complicata); questi circuiti stampati sono quelli dei progetti presentati in questo numero della nostra Rivista e vi permetteranno di incidere le vostre basette.

- Per fare ciò, saranno necessari: una bomboletta di un liquido atto a rendere la carta semitrasparente ("ISODraft" o simili, che potrete acquistare presso un negozio di articoli da disegno), una lampada a raggi ultravioletti, soluzione di soda caustica per sviluppo, percloruro di ferro, lastre ramate fotosensibilizzate positive per circuiti stampati; basette positive fotosensibili potranno essere acquistate od autocostruite applicando un sottile strato di fotoresist ad una normale lastra ramata, mediante una bomboletta spray (lacca Kontakt Chemie mod. Positiv 20).
- Inumidire l'intera superficie fotosensibilizzata del circuito stampato (lato rame) con lo spray trasparente.
- Ritagliare la serigrafia che interessa da una di queste pagine ed appoggiare la parte sulla quale appare il disegno sul lato inumidito del circuito stampato. Eliminare tutte le bolle d'aria premendo con cura sulla superficie un tampone di carta morbida per pulizie domestiche.
- Il tutto potrà ora essere esposto alla luce ultravioletta. Usare una lastra di vetro per tenere a posto gli elementi solo in caso siano necessari lunghi tempi di esposizione perché, nella maggior parte dei casi, lo spray garantisce da solo l'adesione della carta alla scheda. Ricordare che le normali lastre di vetro (ma non il cristallo od il plexiglas)

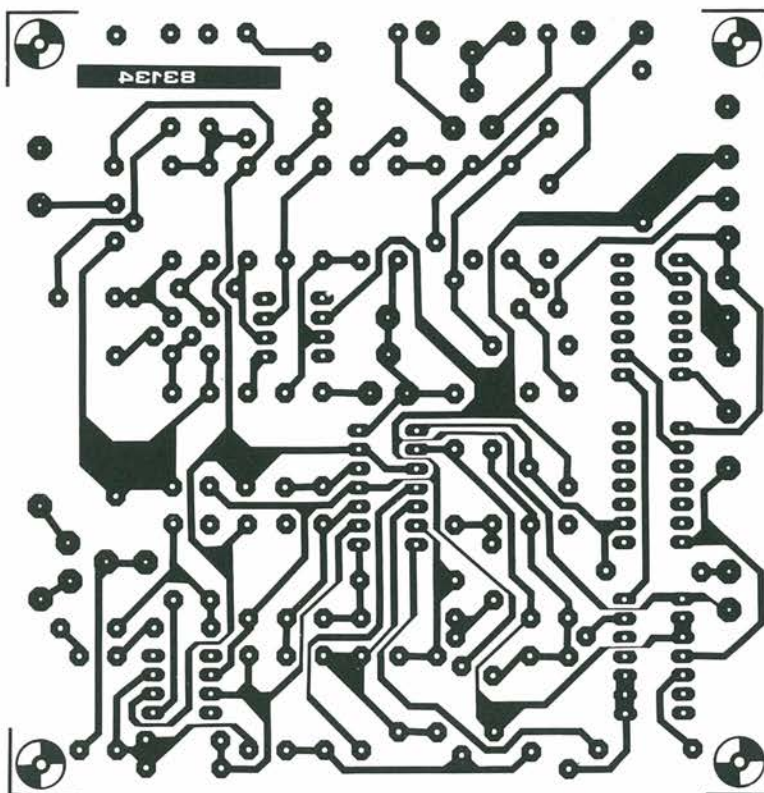
assorbono una parte della luce ultravioletta, cosicché il tempo di esposizione dovrà essere leggermente aumentato.

- Il tempo di esposizione dipende dal tipo di lampada ultravioletta usato, dalla distanza della lampada dalla superficie del circuito stampato e dalla natura dello strato fotosensibile. Se usate una lampada U.V. da 300 W ad una distanza di circa 40 cm dalla scheda ed una lastra protettiva di plexiglas, sarà di norma sufficiente un tempo di esposizione di 4...8 minuti.
- Dopo l'esposizione, staccare la maschera con il disegno delle piste

(che potrà essere nuovamente utilizzata) e lavare a fondo la scheda sotto acqua corrente.

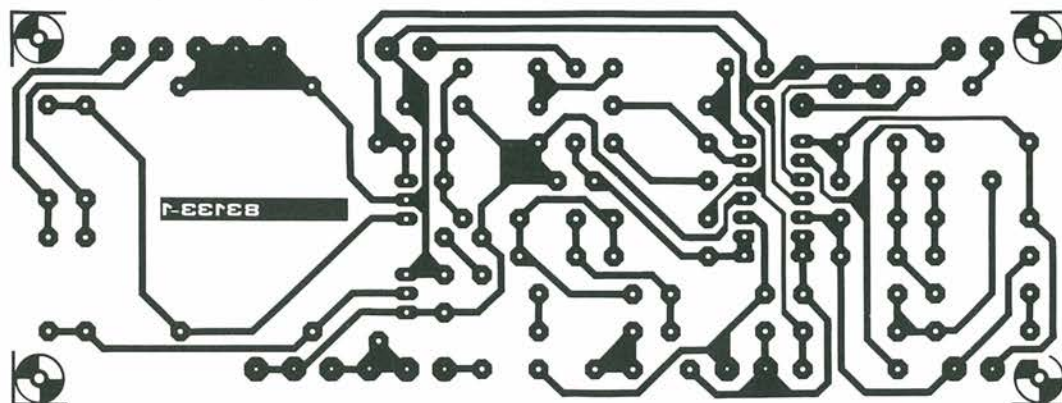
- Dopo aver sviluppato lo strato fotosensibile immergendolo nella soluzione di soda (circa 9 grammi di soda caustica per ogni litro d'acqua), la scheda potrà essere incisa in una soluzione di percloruro ferrico (500 grammi di  $FeCl_3$  in un litro d'acqua). Lavare infine a fondo il circuito stampato (e le mani!) in acqua corrente.
- Eliminare la pellicola fotosensibile dalle piste di rame, mediante paglietta d'acciaio e praticare i necessari fori.

Registratore a cassette digitale



Cosmetico per segnali audio: preamplificatore, filtri ad arresto di banda ed alimentatore.

Nota: Per mancanza di spazio, non possiamo pubblicare le serigrafie dell'indicatore della direzione del vento e la parte inversa del registratore a cassette digitale.



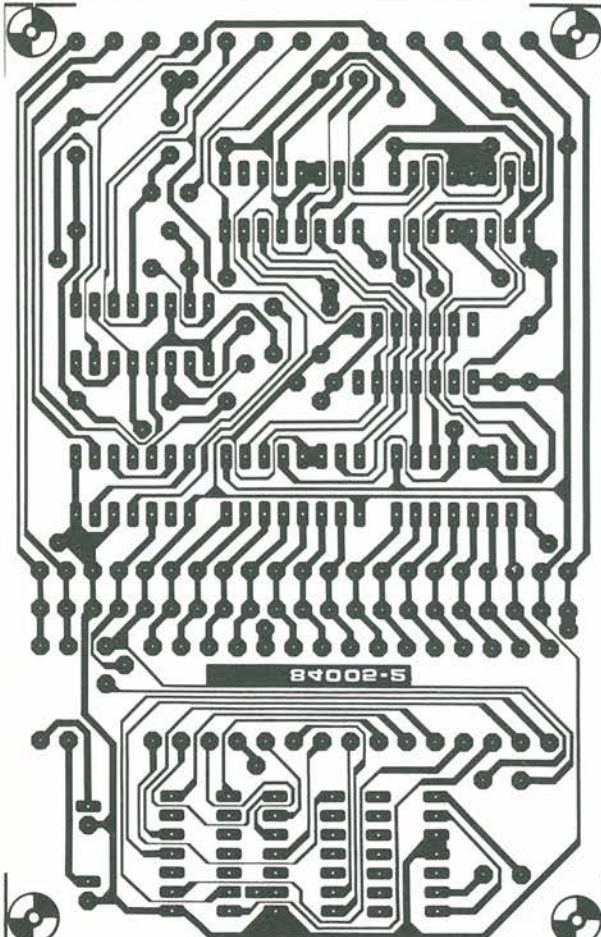
# service

Le pagine dei circuiti stampati

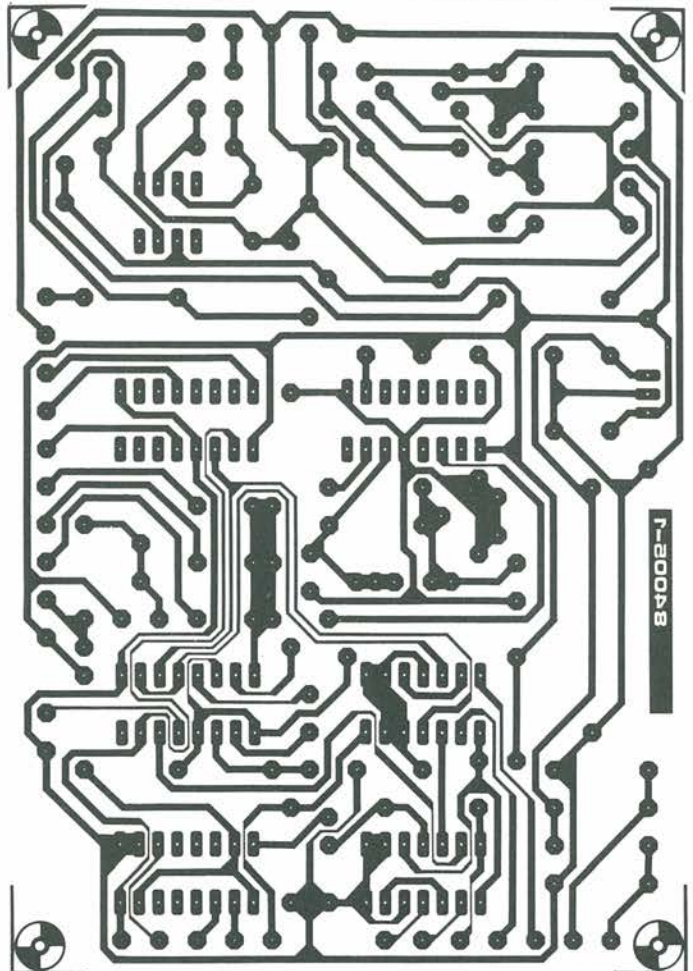
# service

Le pagine  
dei circuiti stampati

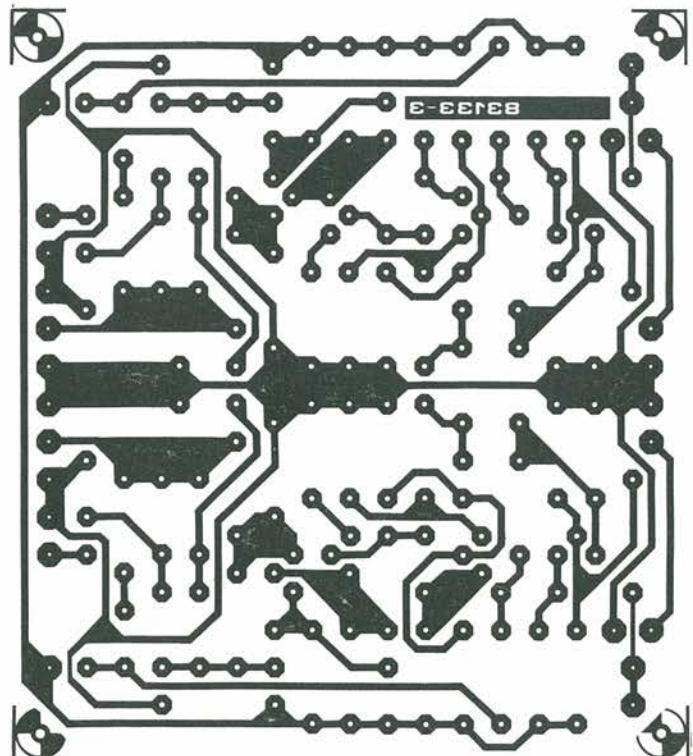
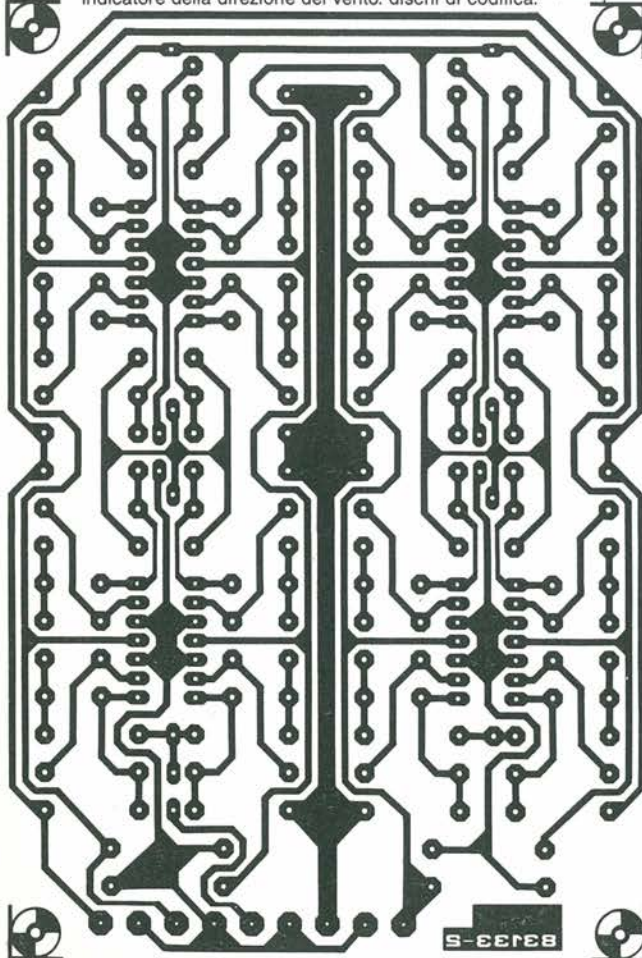
Quant'è preciso il vostro orologio



Indicatore della direzione del vento: dischi di codifica.



Cosmetico per segnali audio: limitatore dinamico del rumore



← Cosmetico per segnali audio: filtro passa-banda a 16 stadi.

# SERVICE

Le pagine dei circuiti stampati

# mercato

## Display intelligente ad 8 caratteri

Il display, realizzato dalla Siemens, consente di visualizzare per ognuno degli 8 caratteri, ben 63 diversi simboli (lettere maiuscole, cifre e caratteri speciali), compreso il punto decimale. I caratteri a 17 segmenti vengono pilotati da un integrato MOS, fornito di memoria, di un generatore di caratteri e di ingressi compatibili TTL. I segnali di comando sono in codice ASCII.

Questi display intelligenti possono essere collegati in serie e formare righe di qualsiasi lunghezza, poiché i singoli caratteri sono indirizzabili separatamente l'uno dall'altro. Il carattere visualizzato non si spegne finché non viene sostituito da quello successivo. La tensione di alimentazione è di 5 V.



Il nuovo display DL 1814, rispetto al DL 1414 (4 LED), consuma circa il 30% in meno per ogni carattere.

Dati tecnici del DL 1814: altezza 2,8 mm, caratteri ingranditi, ampio angolo visivo di  $\pm 33^\circ$ , custodia di plastica rigida, tempo di accesso di 500 ns, consumo di corrente di 10 mA per ogni carattere.

### SIEMENS ELETTRA

Via F. Filzi, 25/A  
Milano

## Amplificatore operazionale di potenza

La Silicon General ha introdotto l'SG 1173, un amplificatore operazionale che consente di guadagnare spazio e di risparmiare nei costi.

Con una capacità di sink e source di 3,5 A da una tensione di alimentazione fino a  $\pm 24$  V, l'SG 1173 consente di risparmiare spazio rimpiazzando configurazioni a discreti e ibridi, che normalmente richiedono un amplificatore operazionale standard con driver di potenza esterni.

L'SG 1173 ha inoltre un circuito per la limitazione della corrente interna e per shutdown termico, per semplificare ulteriormente il suo impiego in applicazioni come controllo o servo loop e pilota di

piccoli motori.

L'SG 1173 è disponibile sia in package metallico TO-66 a 5 terminali che in TO 220 plastico, sempre a 5 terminali.

È anche disponibile nella versione a norme MIL 883B.

### EXHIBO

Via F. Frisi, 22  
Monza (MI)

## Regolatori di tensione positiva

La serie di regolatori positivi a 3 terminali L78M00 della SGS è disponibile nei package TO-220 e SOT-82 e con parecchie tensioni di uscita fisse.

Questi regolatori possono fornire una regolazione on-card, eliminando i problemi di distribuzione relativi alla regolazione single point.

Ciascun tipo impiega un limitatore di corrente incorporato, il shut-down termico e la protezione dell'area di sicurezza, rendendo il regolatore praticamente indistruttibile.

Se viene dotato di un adeguato dispersore di calore, il regolatore può fornire una corrente di uscita di 0,5 A.

Le tensioni di uscita fisse sono 5, 6, 8, 12, 15, 18, 20 e 24 V; però mediante pochi componenti esterni si possono ottenere valori di tensioni e correnti regolabili.

### SGS-ATES COMPONENTI ELETTRONICI

Via C. Olivetti, 2  
Agrate Br. (MI)

## Generatore di frequenze standard

Il modello 4401 della Global Specialties Corporation è un generatore di frequenze standard a basso costo che è usato laddove si richieda una frequenza di precisione.

Lo strumento è provvisto di 2 uscite BNC, la prima genera una frequenza fissa di 10 MHz, la seconda frequenza da 0,1 Hz a 10 MHz in 8 decadi.

Per mezzo di un switch è anche possibile moltiplicare la frequenza selezionata x 1, x 2 o x 5.

Entrambe le uscite generano onde quadre, sono compatibili con TTL e sono protette contro eventuali cortocircuiti.

### FARNELL ITALIA

Via Mameli, 31  
Milano

## Sensori di corrente lineari e digitali

La Micro Switch ha introdotto i sensori di corrente allo stato solido della serie CS, che forniscono un'uscita digitale o analogica sia per la corrente continua che alternata.

I sensori rivelano il flusso di corrente e ad un livello predeterminato la logica del sistema di controllo entra in funzione. Il

modello digitale CSD (uscita ON/OFF) può, per esempio, attivare un segnale acustico od eccitare una elettrovalvola. Il modello lineare CSL definisce invece il grado di variazione della corrente e può essere usato per implementare un sistema a retroazione.

Per tutti i modelli, il sensore è costituito da un conduttore che al passaggio della corrente crea un campo magnetico che viene misurato.

Il range di corrente misurabile è molto ampio e può arrivare, per certi modelli, a 300 A. Il campo di temperatura di funzionamento va da  $-20$  a  $85^\circ\text{C}$  o da  $-40$  a  $85^\circ\text{C}$ .

### HONEYWELL

Via G.M. Vida, 11  
Milano

## Oscilloscopio a 500 MHz

La Enertec Schlumberger ha ampliato verso l'alto la sua gamma di oscilloscopi con il modello 5229.

Si tratta di un oscilloscopio bicanale, a 4 tracce, compatto e portatile, avente una banda passante di 500 MHz in tempo reale, con ampio schermo di 8 x 10 divisioni di 1 cm/div.

I canali di ingresso hanno la sensibilità regolabile da 10 mV a 5 V per divisione e la possibilità di selezionare l'impedenza su 50  $\Omega$  oppure 1 M $\Omega$ ; si possono collegare in cascata i canali, ottenendo una sensibilità massima di 2 mV/div con banda di 100 MHz.



Il 5229 è dotato di 2 basi tempi, con possibilità di funzionamento mixed, regolabili da 1 ns/div a 0,5 s/div (B1); il jitter della B2 ha un valore di 1/40.000.

Il trigger, interno ed esterno, è accoppiabile in c.c., c.a., p.a., p.b., sincronizza segnali sino a 600 MHz ed è visualizzabile sullo schermo.

### dB ELECTRONIC INSTRUMENTS

Via Teano, 2  
Milano

# mercato

# mercato

## DMM autoranging a 4 1/2 cifre

La selezione automatica/manuale del fondo scala, la funzione di sample/hold per la memorizzazione dell'ultima lettura, l'indicazione di overload/low battery, l'indicazione della funzione/portata sul display a cristalli liquidi a 4 1/2 cifre sono le caratteristiche peculiari del DMM 136 della Keythley.



Le altre caratteristiche tecniche comprendono 22 gamme (5 funzioni) di misura con una precisione dello 0,04%, la portata Icc/ca fino a 10 A e la possibilità di provare i diodi, il beeper per test di continuità e la regolazione dello zero per compensare la resistenza dei cavi usati nella misura.

Alimentato a rete e a batteria (con 100 ore di funzionamento continuo), questo DMM tascabile viene fornito con un set completo di puntali.

Lo strumento è utilizzabile anche in condizioni ambientali severe, con umidità relativa all'80% fino a 28 °C e maggiore di 70% da 28 a 40 °C.

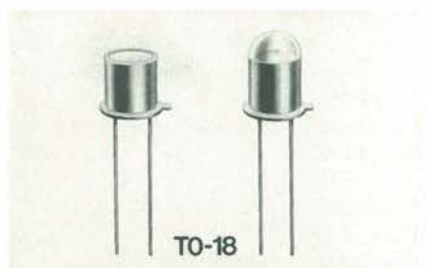
### ELETRONUCLEONICA

P.za De Angeli, 7  
Milano

## Fotodiodi al germanio per fibre ottiche

La Germanium Power Devices ha annunciato un fotodiodo in contenitore TO-18, il tipo GM/5, basato sulla tecnologia al germanio, in grado di offrire una buona risposta spettrale da 0,5 a 1,8  $\mu\text{m}$ , con un picco a 1,5  $\mu\text{m}$ . Questo è il range di lunghezza d'onda ideale per i sistemi a fibra ottica, dal momento che i diodi al silicio forniscono una risposta bassa oltre 0,8  $\mu\text{m}$ .

Il diametro attivo di ricezione della luce è di 1 mm, con scelta di finestra o lenti. Le altre caratteristiche comprendono: un'alta sensibilità a 0,7 A/W, un tempo di salita di 10 ns e una corrente di buio di soli 5  $\mu\text{A}$ . Il GM/5 può essere usato nei modi foto-



voltaico o fotoconduttivo e le applicazioni tipiche comprendono le comunicazioni ottiche, le misure di potenza ottiche, le misure di attenuazione delle fibre e il monitoraggio laser.

### SYSCOM ELETTRONICA

Via Gran Sasso, 35  
Cinisello B. (MI)

## Oscilloscopio a 40 MHz

L'oscilloscopio CS1040 della Trio Kenwood presenta caratteristiche tecniche simili a quelle di oscilloscopi con bande passanti superiori. Ha 3 canali di ingresso, la doppia base dei tempi (indipendenti) con possibilità, inserendo la linea di ritardo, di visualizzare una porzione amplificata della forma d'onda in esame, ottenendo così sul CRT fino a 6 tracce separate (3 segnali di ingresso + le 3 porzioni amplificate).

La regolazione del posizionamento del punto da amplificare (della forma d'onda in esame) è ottenuto tramite potenziometro multigiri graduato.

Il CS1040 ha una sensibilità di 1 mV/div  $\div$  5 V/div e una base dei tempi regolabile da 100 ns/div a 0,5 s/div.

Una vasta possibilità di scelta di modi e di accoppiamenti (video, linea, ecc.) di trigger rende facile la visualizzazione di forme d'onda comunque complesse. È inoltre dotato di holdoff regolabile per consentire una facile osservazione di segnali complessi (treni di impulsi, ecc.).

### VIANELLO

Via Tommaso da Cazzaniga, 9/6  
Milano

## Amplificatore operazionale a bassa corrente di polarizzazione

Combinando la tecnologia JFET/bipolare e l'isolamento dielettrico, gli amplificatori operazionali monolitici 1346 e 1347 della Teledyne sono caratterizzati da una

larghezza di banda con guadagno unitario di 2 MHz, da uno slew rate di 7 V/ $\mu\text{s}$ , da una corrente di polarizzazione di  $\pm 250$  fA, da una tensione massima di offset di  $\pm 0,5$  mV, da un settling time di 2  $\mu\text{s}$  per arrivare a  $\pm 0,1\%$  e da un consumo massimo di 300 mW.

Disponibile in package TO-99, i dispositivi sono disponibili nelle versioni per il range di temperatura da 0 a 75 °C e da -55 a 125 °C.

### ELEDRA 3S

V.le Elvezia, 18  
Milano

## Controllo di energia

Si chiama Thermoguard il dispositivo di controllo di energia creato dalla Lap Fung Trading Company, in grado di individuare gli improvvisi sbalzi di temperatura causati dalle correnti d'aria provenienti dai punti scarsamente isolati della casa.

Il dispositivo è composto da un termistore collegato a un potenziometro, da una batteria a 9 V e da un amperometro.

Spostando il Thermoguard nei vari punti di una stanza, si possono velocemente e facilmente individuare le perdite di aria fredda o calda.

### HONG KONG TRADE DEVELOPMENT COUNCIL

Piazzetta Pattari, 2  
Milano

# mercato

## Surge Network da 10 kA

La KeyTek Instrument ha realizzato una Surge Network, la P7, studiata per simulare gli effetti degli impulsi ad alta energia sui componenti elettronici.

L'unità, che soddisfa le specifiche IEEE Std. 587 (ANSI C62.41), ANSI C62.2 ed ANSI C62.31, quando viene usata con un KeyTek 711 Maniframe fornisce un impulso di corrente di cortocircuito di 8 x 20  $\mu\text{s}$  da 10 kA su un circuito in prova a bassa impedenza. Questo generatore Bi-Wave fornisce un impulso di tensione di 1,2 x 50  $\mu\text{s}$  quando l'impedenza del carico è alta, e automaticamente cambia a un impulso di corrente di 8 x 20  $\mu\text{s}$  quando il carico in prova varia rapidamente o interviene una protezione dai picchi. La massima tensione di picco a circuito aperto è di 6 kV.

### ELIND

Via Torino, 30  
Cernusco S/N (MI)

# mercato

# CORRI IN EDICOLA C'È UNA NUOVA RIVISTA JACKSON DEDICATA AL TUO COMPUTER IN CASA.

UNA PUBBLICAZIONE DEL GRUPPO EDITORIALE JACKSON



# hce

## HOME COMPUTER

LA RIVISTA DEL COMPUTER IN CASA • PROGRAMMI • GIOCHI • NOVITÀ



Spedizione in Abb. Postale Gruppo 01/70

**I segreti dei Vincitori di Computer Play.  
Tutto sul nuovo Sinclair.  
16 Programmi in prova: Atari, Apple, CBM64, VIC 20,  
Spectrum, ZX 81, TI 99, Sharp MZ 700.**

**I migliori oscilloscopi affrontano  
contrattaccando la battaglia dei prezzi**



**VP5231 • 30 MHz • doppia traccia • 1 mV •  
MTFB = 15.000 ore**

Ora completo anche di "TRIGGER  
HOLD-OFF"

**L. 1.222.000 + IVA**

valuta Marzo 84

**VP5220 • 20 MHz • doppia traccia • 1 mV •  
MTBF = 15.000 ore**

**L. 976.000 + IVA**

valuta Marzo 84

**ATTENZIONE!!**

Gli oscilloscopi sono completi di 2 sonde  
professionali NATIONAL 10 : 1.

Per i modelli:

VP5512 — 100 MHz doppia base tempi  
VP5256 — 60 MHz doppia base tempi  
VP5234 — 40 MHz doppia base tempi

RICHIEDETE LE ATTUALI QUOTAZIONI AI NOSTRI DI-  
STRIBUTORI AUTORIZZATI

**PRINCIPALI DISTRIBUTORI AUTORIZZATI**

**BERGAMO:** FRABERT S.P.A. — Via Cenisio 8 - 24100 BERGAMO  
(035/248.362)

**BOLOGNA:** RADIO RICAMBI - Via E. Zago 12 - 40100 BOLOGNA  
(051/370.137)

**BRESCIA:** ELETTRONICA COMPONENTI snc - V.le Piave 215 -  
25100 BRESCIA (030/361.606)

**CAGLIARI:** F.LLI FUSARO srl - Via dei Visconti 21 - 09100 CAGLIARI  
(070/44272)

**FIRENZE:** FGM ELETTRONICA - Via S. Pellico 9-11 - 50121 FI-  
RENZE (055/245.371)

**MILANO:** ELETTRONICA AMBROSIANA - Via Cuzzi 4 - 20100  
MILANO (02/361.232)  
: MARCUCCI - Via F.lli Bronzetti 37 - 20100 MILANO  
(02/738.60.51)

: FAE srl - Via Tertulliano 41 - 20137 MILANO (02/546.40.85)

**PALERMO:** SPATAFORA MICHELE - Via G. Cantore 17 - 90100 PA-  
LIERMO (091/293321)

**ROMA:** GR ELETTRONICA - Via Grazioli Lante 22 - 00100 ROMA  
(06/359.81.12)

: GB ELETTRONICA - Via Aversa - 00100 ROMA  
(06/27.52.590)

**TORINO:** C.A.R.T.E.R. - Via Savonarola 6 - 10128 TORINO  
(011/59.25.12)

**VARESE:** GENERAL MARKET - Via Torino 43 - 21052 BUSTO  
ARSIZIO (VA) (0331/63.33.33)

**VERONA:** CEM-DUE sas - Via Locatelli 19 - 37100 VERONA  
(045/594.878)

**Barletta  
Apparecchi Scientifici**